

183  
2/9/85



# UNIVERSIDAD NACIONAL AUTONOMA DE MEXICO

Facultad de Ingeniería

Programa para la Solución, en el  
Plano de Armaduras y Marcos con-  
siderando en estos últimos Flexión  
y Fuerza Axial.

**TESIS PROFESIONAL**

Que para obtener el Título de :

**INGENIERO CIVIL**

**P r e s e n t a :**

**JOSE RAUL SALINAS CORIA**



México, D. F.

1985



## **UNAM – Dirección General de Bibliotecas Tesis Digitales Restricciones de uso**

### **DERECHOS RESERVADOS © PROHIBIDA SU REPRODUCCIÓN TOTAL O PARCIAL**

Todo el material contenido en esta tesis está protegido por la Ley Federal del Derecho de Autor (LFDA) de los Estados Unidos Mexicanos (México).

El uso de imágenes, fragmentos de videos, y demás material que sea objeto de protección de los derechos de autor, será exclusivamente para fines educativos e informativos y deberá citar la fuente donde la obtuvo mencionando el autor o autores. Cualquier uso distinto como el lucro, reproducción, edición o modificación, será perseguido y sancionado por el respectivo titular de los Derechos de Autor.

# I N D I C E

	Pag.
INTRODUCCION. ....	1
I. PROGRAMA PARA ARMADURAS .....	4
1. <u>Indeterminación Cinemática</u> .....	5
2. <u>Conceptos Básicos</u> . ....	7
2.1 Matriz de continuidad. ....	7
2.2 Principio de continuidad .....	9
2.3 Ley de Hooke. ....	15
2.4 Equilibrio. ....	21
2.5 Solución. ....	25
3. <u>Manual de Uso del Programa</u> . ....	28
4. <u>Programa para la Solución en el Plano de Armaduras</u> .....	36
4.1 Ejemplo 1 .....	43
4.2 Ejemplo A .....	45
4.3 Ejemplo B .....	55
II. PROGRAMA PARA MARCOS. ....	63
1. <u>Método de las Rigideces para la Solución de Marcos</u> . ....	64
2. <u>Matriz de Rigidez del Elemento (Matriz Acoplada)</u> .	66
3. <u>Ensamble de la Matriz de Rigidez</u> . ....	71
4. <u>Transforación de las Acciones y Desplazamientos de los extremos</u> . ....	75
5. <u>Cargas Equivalentes Aplicadas en los Nudos</u> .....	81
6. <u>Metodología</u> .....	85
7. <u>Manual de Uso</u> . ....	103
8. <u>Programa para la Solución en el Plano de Marcos -- Considerando en éstos Flexión y Fuerza Axial</u> . ....	106

8.1 Ejemplo A. ....	123
8.2 Ejemplo B. ....	126
A P E N D I C E: (FORMULAS Y DIAGRAMAS PARA VIGAS).....	139
B I B L I O G R A F I A. ....	159

## I N T R O D U C C I O N

### METODO DE LAS RIGIDECES.

Este método de analizar estructuras se utiliza más extensamente para estructuras grandes y complejas, tales estructuras requieren el empleo de computadoras digitales para efectuar los extensos cálculos numéricos, y este método es el más apropiado para la programación de computadoras. La razón es que el método de las rigideces, puede ponerse en la forma de un procedimiento estandarizado, que no requiere ninguna decisión de ingeniería durante el proceso de cálculo debido a condiciones de hiperestaticidad de la estructura.

En este método se considera a los desplazamientos como las incógnitas de la formulación.

Heinrich Manderla fue el primero en utilizar los desplazamientos de los nudos como incógnitas en el análisis de estructuras indeterminadas estáticamente, en 1880 analizó una armadura con nudos rígidos tomando en consideración las deformaciones producidas en los elementos de la estructura, por la acción de los momentos de flexión y fuerzas axiales, esta técnica no resultó apropiada para la época por la complejidad del sistema resultante de ecuaciones, expresado en términos

de la traslación y rotación desconocidas de los nudos y pretende describir el efecto de la flexión y fuerza axial sobre cada elemento. - Posteriormente en 1892 Otto Mhor quien habfa contribuido al desarrollo del método de flexibilidad para el análisis de estructuras indeterminadas estáticamente, propuso un método aproximado para el cálculo de los esfuerzos producidos por la flexión en una armadura de nudos rígidos. La técnica de Mhor requería la solución de un sistema de ecuaciones expresado únicamente en términos de la rotación de los nudos, su traslación se determinaba suponiendo que las conexiones correspondían a articulaciones.

En 1914 Alex Bendixen propuso el método pendiente-deflexión para el análisis de estructuras que requiere la solución de un sistema de ecuaciones expresado en término del desplazamiento de los nudos. En 1915 el Profr. G.A. Maney de la Universidad de Minnesota dió a conocer el desarrollo de este método; el método pendiente-deflexión, propuesto por Bendixen y Maney, es semejante al método propuesto anteriormente por Mhor para el cálculo de los esfuerzos secundarios en armaduras con nudos rígidos. En 1930, el Profr. Hardy Cross en ese entonces -- en la Universidad de Illinois difundió el método de distribución de los momentos, que aproxima progresivamente el valor de los momentos no equilibrados en los nudos permitiendo en esta forma analizar las -

estructuras. Esta técnica tuvo gran aceptación en la práctica por cuanto eliminó la necesidad de resolver el sistema numeroso de ecuaciones simultáneas requerido por el método pendiente-deflexión. Casi contemporáneamente con la presentación por parte del profr. Cross del método de distribución de los momentos, el Profr. R.C. Southwell de la Universidad de Oxford propuso el método de relajación de aproximaciones sucesivas su trabajo fue presentado en 1935.

El método pendiente deflexión para el análisis de estructuras indeterminadas estáticamente es el predecesor del método mas generalizado de análisis que se utiliza actualmente. El advenimiento del computador digital para realizar operaciones matemáticas eliminó la solución de ecuaciones simultáneas como una restricción para el análisis estructural, esto ha permitido la utilización de un método muy general, para el análisis de estructuras, las incognitas de su formulación son los desplazamientos de los nudos. Este método de análisis se denomina método de las rigideces.

Cuando se analiza una estructura por el método de las rigideces se emplea el concepto de indeterminación cinemática, el cual explicaremos a continuación.

**CAPITULO I**

**PROGRAMA PARA ARMADURAS**



## 1. INDETERMINACIÓN CINEMÁTICA.

Si pretende analizar una estructura utilizando el método de las rigideces, es necesario definir el grado de indeterminación cinemática del sistema estructural. Este a su vez define el número existente de componentes no restringidas del desplazamiento de los nudos de la estructura, las que deben calcularse durante el análisis.

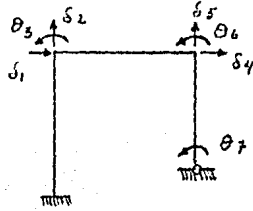
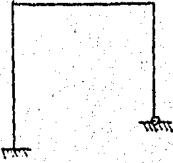
En una estructura plana, la traslación de un nudo no restringido se describe en término de dos componentes ortogonales. Además, un nudo rígido puede girar. El grado de indeterminación cinemática de un sistema es igual al número total de componentes independientes del desplazamiento de los nudos no restringidos de la estructura. Se dice que una estructura es determinada cinemáticamente cuando se restringe completamente el desplazamiento de sus nudos. Para el caso de una armadura, no se considera la rotación de los nudos, por cuanto se supone que estas son articulaciones. Por tanto, al definir el grado de indeterminación cinemática de una armadura se considera únicamente la traslación de los nudos. Ejemplos: a), b) y c).

ESTRUCTURA

COMPONENTES INDEPENDIENTES DEL DESPLAZAMIENTO DE LOS NUDOS.

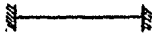
GRADO DE INDETERMINACION CINEMATICA.

a)



7

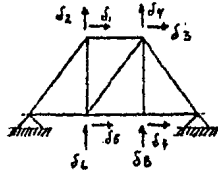
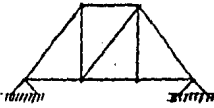
b)



Todas las componentes del desplazamiento de los nudos estan restringidos - por lo tanto es una estructura determinada cinematicamente.

0

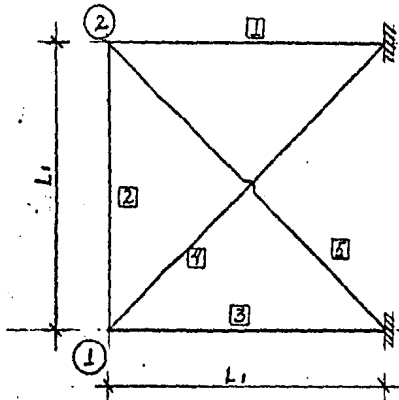
c)



8

## 2. CONCEPTOS BÁSICOS

### 2.1. PRINCIPIO DE CONTINUIDAD.



Ejemplo 1

Basándonos en el ejemplo 1, se obtendrá la matriz de continuidad, empezaremos por definir algunos términos.

$\{F\}$  = Vector de fuerzas

$$\{F\} = \begin{Bmatrix} F_{1X} \\ F_{1Y} \\ F_{2X} \\ F_{2Y} \\ \vdots \\ \cdot \end{Bmatrix}$$

$(2 \times n_N + 1)$

{d} = Vector de desplazamiento de los nudos

$$\{d\} = \begin{Bmatrix} d_{1X} \\ d_{1Y} \\ d_{2X} \\ d_{2Y} \\ \vdots \\ \vdots \end{Bmatrix}$$

(2 x n<sub>N</sub>, 1)

{e} = Vector de alargamiento de las barras

$$\{e\} = \begin{Bmatrix} e_1 \\ e_2 \\ e_3 \\ e_4 \\ \vdots \\ \vdots \end{Bmatrix}$$

(n<sub>B</sub>, 1)

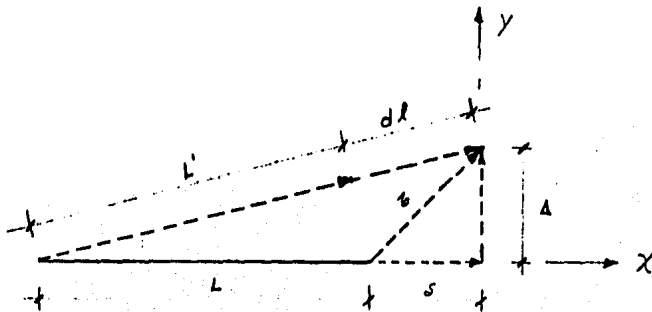
## 2.2 PRINCIPIO DE CONTINUIDAD.

Los desplazamientos que experimentan los nudos de una armadura al ser solicitada por fuerzas exteriores deben ser compatibles con las deformaciones que experimentan las barras de esta, esto es:

$$\{ e \} = [ a ] \{ d \} \quad \text{(Esta ecuación se cumple sólo para desplazamientos pequeños).}$$

Debido a que sólo se cumple para desplazamientos pequeños, no es aplicable para materiales muy deformables.

Por otro lado tomamos un elemento barra y provocamos una deformación  $e = dl$  esta deformación se puede proyectar en dos deformaciones ortogonales,  $\delta$  en la dirección "X", y  $\Delta$  en la dirección "Y", demostraremos que el desplazamiento transv.  $\Delta$  se desprecia.



$$e = \sqrt{(L + \delta)^2 + \Delta^2} - L$$

$$e = \sqrt{L^2 + \delta^2 + 2L\delta + \Delta^2} - L$$

$$e = \sqrt{L^2 (1 + (\delta/L)^2 + 2\delta/L + (\Delta/L)^2)} - L$$

$$e = L [1 + 1/2 (\delta/L)^2 + (\delta/L) + 1/2 (\Delta/L)^2] - L$$

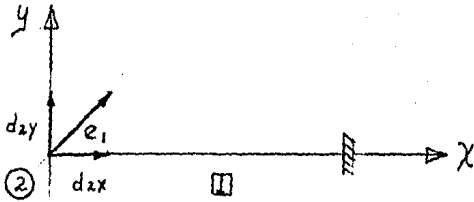
$$e = 1/2 \delta \overset{\circ}{\nearrow} (\delta/L) + 1/2 \Delta \overset{\circ}{\nearrow} (\Delta/L) + \delta \quad \Delta/L \ll 1 \text{ y } \delta/L \ll 1$$

Linealidad Geométrica.

$e = \delta$  desplazamiento longitud.; por lo tanto se desprecia el desplazamiento transv. por ser muy pequeño.

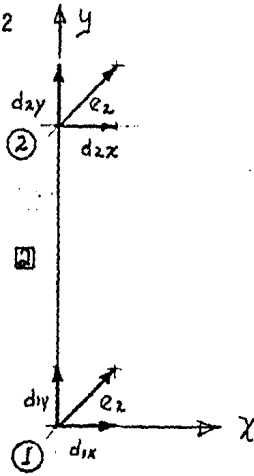
Una vez demostrado ésto obtendremos la relación entre las deformaciones de las barras y los desplazamientos de los nudos.

Para la barra 1.



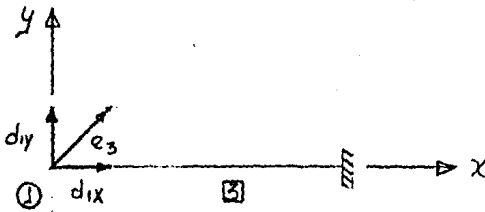
$$e_1 = -d_{2x}$$

Para la barra 2



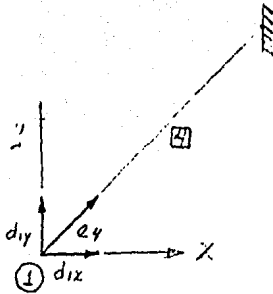
$$e_2 = d_{2y} - d_{1y}$$

Para la barra 3



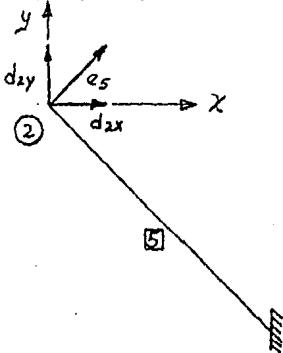
$$e_3 = -d_{1x}$$

Para la barra 4



$$e_4 = -0.7071 d_{1x} - 0.7071 d_{1y}$$

Para la barra 5



$$e_5 = -0.7071 d_{2x} + 0.7071 d_{2y}$$

Resumiendo:

BARRA / NUDO	①		②	
	x	y	x	y
1	$e_1 = -$	$-$	$-d_{2x}$	$-$
2	$e_2 = -$	$-d_{1y}$	$-$	$d_{2y}$
3	$e_3 = -d_{1x}$	$-$	$-$	$-$
4	$e_4 = -0.7071 d_{1x}$	$-0.7071 d_{1y}$	$-$	$-$
5	$e_5 = -$	$-$	$-0.7071 d_{2x}$	$0.7071 d_{2y}$



En forma matricial

$$\begin{Bmatrix} e_1 \\ e_2 \\ e_3 \\ e_4 \\ e_5 \end{Bmatrix} = \begin{bmatrix} 0 & 0 & -1 & 0 \\ 0 & -1 & 0 & 1 \\ -1 & 0 & 0 & 0 \\ -0.7071 & -0.7071 & 0 & 0 \\ 0 & 0 & -0.7071 & 0.7071 \end{bmatrix} \begin{Bmatrix} d_{1x} \\ d_{1y} \\ d_{2x} \\ d_{2y} \end{Bmatrix} \quad 6$$

$\{ e \} = [ a ] \{ d \}$       donde  $[ a ]$  matriz de continuidad

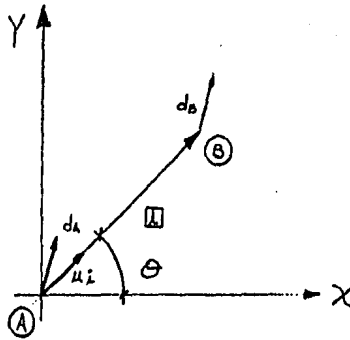
$(N \text{ barras} \times 1) = (N \text{ barras} \times (N \text{ nud} \times 2)) ((N \text{ nud} \times 2) \times 1)$  orden de cada matriz

Algoritmo para obtener la matriz  $[a]$  por renglones:

Para obtener el renglón "i" por ejemplo:

$$[ a ]$$

$$\begin{matrix} 1 \\ 2 \\ \vdots \\ i \\ \vdots \end{matrix} \begin{matrix} a_{i1} & a_{i2} & \dots & a_{ij} \end{matrix}$$



Dada una barra "i" como se muestra en el esquema. Le asignaremos un sentido arbitrario a la barra y un vector con el mismo sentido la - misma dirección pero de magnitud unitaria, cuyo vector de sus proyec- ciones respecto a un eje coordenado es el siguiente:

$$\{u_i\} = \begin{Bmatrix} \cos \theta \\ \text{sen } \theta \end{Bmatrix} = \begin{Bmatrix} u_{ix} \\ u_{iy} \end{Bmatrix}$$

Si al punto de inicio de la barra le asignamos A y al punto de ter- minación B, y a los desplazamientos que sufren estos puntos debidas a sollicitaciones externas les asignamos  $d_A$  y  $d_B$  respectivamente, - como se muestra en la figura, obtendremos la siguiente ecuación, para el desplazamiento total de la barra i:

$$e_i = d_B \cdot u_i - d_A \cdot u_i \quad \delta$$

$$e_i = d_{Bx} \times u_{ix} + d_{By} \times u_{iy} - (d_{Ax} \times u_{ix} + d_{Ay} \times u_{iy})$$

En términos de  $u_i$

$$e_i = \{u_i\}^T \{d_B\} - \{u_i\}^T \{d_A\}$$

Aplicando esta ecuación tenemos:

$$[a] = \begin{matrix} & & \text{Nudo A} & & \text{Nudo B} & & \\ & & x & y & x & y & \\ \begin{matrix} 1 \\ 2 \\ \cdot \\ \cdot \\ \cdot \\ 1 \end{matrix} & \left[ \begin{matrix} a_{1xA} & a_{1yA} & a_{1xB} & a_{1yB} \\ a_{2xA} & a_{2yA} & a_{2xB} & a_{2yB} \\ & & & \\ & & & \\ & & & \\ -u_{1xA} & -u_{1yA} & u_{1xB} & u_{1yB} \end{matrix} \right] \end{matrix}$$

Si el nudo tiene todos sus desplazamientos restringidos

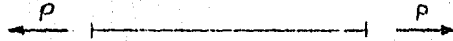
$$a_{ixj} = 0; \quad a_{iyj} = 0$$

### 2.3 LEY DE HOOKE

Si definimos el vector de fuerzas axiales en cada elemento de la estructura como:

$$\{P\} = \left\{ \begin{matrix} P_1 \\ P_2 \\ P_3 \\ P_4 \\ \cdot \\ \cdot \\ \cdot \\ P_{NB} \end{matrix} \right\} \quad \text{Fuerzas axiales en las barras}$$

La convención de signos será la siguiente:



Tensión (+)

Compresión (-)

Esfuerzo-Deformación:

Una barra prismática de sección recta en toda su longitud, de eje recto, y cargada axialmente, experimentará un alargamiento ó acortamiento por tracción (tensión) o por compresión respectivamente. Esta fuerza generará esfuerzos que no son otra cosa que una distribución continua de la fuerza en el área de la sección recta, la intensidad de esta fuerza por unidad de área es la que se designa como esfuerzo y generalmente se designa con la letra  $\sigma$ , y que algebraicamente se designa como:

$$\sigma = \frac{P}{A}$$

Tal ecuación muestra que el esfuerzo se mide en unidades de fuerza por unidad de área.

Una condición necesaria para que sea válida la ecuación es que el esfuerzo  $\sigma$  tiene que ser uniforme en la sección recta de la barra tal condición se cumple si la fuerza axial "P" pasa por el centroide de la sección

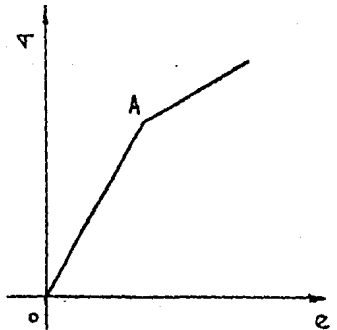
recta. Si la carga "P" no actúa en el centroide, resultará flexión de la barra, y será necesario entonces un análisis más complicado, por otro lado se desprecia el peso propio de la barra.

El alargamiento total de la barra, que soporta una fuerza axial, se representa por "e", y el alargamiento por unidad de longitud; llamado deformación unitaria o simplemente deformación, se determina entonces por la ecuación:

$$\epsilon = \frac{e}{L}$$

Donde L es la longitud total de la barra, obsérvese que  $\epsilon$  es adimensional, solo es válida si la deformación es uniforme en toda la longitud de la barra.

La mayor parte de los materiales estructurales tienen una región inicial en la gráfica deformación -esfuerzo en la que el material se comporta tanto elástica como linealmente. La región desde 0 hasta A en el diagrama esfuerzo -deformación; cuando un material se comporta elásticamente y además presenta una relación lineal entre esfuerzo y deformación, se dice que es linealmente elástico.



La relación lineal entre esfuerzo y deformación para una barra en tensión o compresión puede expresarse por la simple ecuación.

$$\sigma = E\epsilon$$

En la que "E" es una constante de proporcionalidad conocida por módulo de elasticidad del material, se ve que este módulo es la pendiente de la gráfica deformación-esfuerzo en la región linealmente elástica, para la mayor parte de los materiales el módulo de elasticidad a la compresión es el mismo que a la tensión la ecuación anterior se llama generalmente Ley de Hooke.

Como vemos cuando una barra se carga el esfuerzo axial es  $\sigma = P/A$  y la deformación axial es  $\epsilon = e/L$  combinado estas dos ecuaciones con la Ley de Hooke se obtiene la siguiente ecuación para el alargamiento total de la barra.

$$\frac{P}{A} = E \frac{e}{L} \quad \text{despejando } e$$

$$e = \frac{PL}{EA} \quad \text{ó} \quad P = \frac{EA}{L} e$$

Esta ecuación muestra que el alargamiento total de la barra linealmente elástica es directamente proporcional a su carga y a su longitud, e inversamente proporcional al modulo de elasticidad y a su área transversal, el producto  $EA$  se conoce como rigidez axial de la barra.

La flexibilidad de la barra se define por la deformación total por unidad de carga de manera que la ecuación es  $L/EA$ . De manera análoga, la rigidez de la barra se define por la fuerza requerida para producir una deformación total unitaria así pues la rigidez es igual a  $EA/L$  el recíproco de la flexibilidad.

Si asignamos  $k$  a  $EA/L$  la ecuación anterior nos queda:

$$P = \left( \frac{EA}{L} \right) e = p = k_e$$

Para cada barra nos queda:

$$P_i = k_i e_i \quad \text{donde } i = 1, 2, 3, \dots, n_B$$

Además

$$k_i = \frac{E_i A_i}{L_i}$$

Para un sistema de barras

$$P_1 = k_1 e_1$$

$$P_2 = k_2 e_2$$

$$P_3 = k_3 e_3$$

.

.

.

$$P_{nB} = k_{nB} e_{nB}$$



Matricialmente

$$\{P\} = [k]\{e\} \quad \delta$$

$$\begin{Bmatrix} P_1 \\ P_2 \\ P_3 \\ \cdot \\ \cdot \\ \cdot \\ P_n \end{Bmatrix} = \begin{bmatrix} k_1 & 0 & 0 & \cdot & \cdot & \cdot & 0 \\ 0 & k_2 & 0 & \cdot & \cdot & \cdot & 0 \\ 0 & 0 & k_3 & \cdot & \cdot & \cdot & 0 \\ \cdot & \cdot & \cdot & & & & \cdot \\ \cdot & \cdot & \cdot & & & & \cdot \\ \cdot & \cdot & \cdot & & & & \cdot \\ 0 & 0 & 0 & \cdot & \cdot & \cdot & k_{nB} \end{bmatrix} \begin{Bmatrix} e_1 \\ e_2 \\ e_3 \\ \cdot \\ \cdot \\ \cdot \\ e_{nB} \end{Bmatrix}$$

## 2.4 EQUILIBRIO

Ecuaciones de la Estática.

Cuando se somete un cuerpo rígido en reposo a la acción de un sistema fuerzas y momentos, las acciones deben estar en equilibrio estático, si el cuerpo ha de permanecer en reposo; si no es así, el cuerpo se pondrá en movimiento, la mayor parte de las estructuras están restringidas en tal forma que no pueden desplazarse libremente en el espacio; por tanto la acción restrictiva de los apoyos de la estructura producen el equilibrio de cualquier sistema de cargas que actúe sobre ella.

Las condiciones que aseguran el equilibrio de un sistema de acciones coplanares son: (1) la suma algebraica de todas las componentes de fuerza en cualquier dirección debe ser nula y (2) la suma algebraica de los momentos de todas las fuerzas respecto a un punto específico perteneciente al plano determinado por ellas debe ser nula.

El requisito de anularse la suma de fuerzas en cualquier dirección - se satisface si las sumas algebraicas de las componentes de fuerza - en dos direcciones perpendiculares, es decir, independientes, se anulan. Luego, las condiciones que definen el estado de equilibrio estático se expresan mediante el siguiente sistema de ecuaciones.

$$\Sigma F_x = 0$$

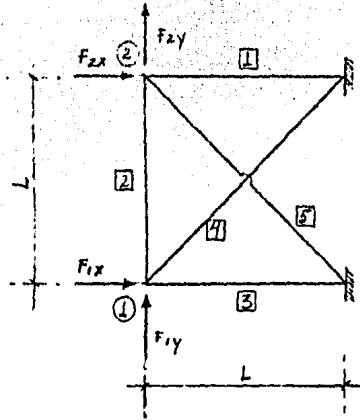
$$\Sigma F_y = 0$$

$$\Sigma M_j = 0$$

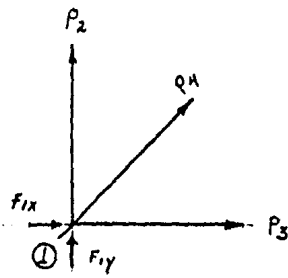
Estas tres ecuaciones de la estática deben ser satisfechas por cualquier sistema coplanar de acciones que actúen sobre un cuerpo libre.

Aplicando lo anterior al ejemplo 1 obtenemos el siguiente sistema de ecuaciones:

Tomando nudo por nudo y aplicando las ecuaciones de equilibrio:

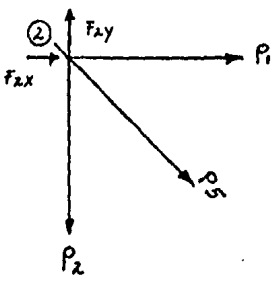


Nudo 1



$$\begin{aligned} \Sigma F_x &= 0 \\ F_{1x} &= -P_3 - 0.7071 P_4 \\ \Sigma F_y &= 0 \\ F_{1y} &= -P_2 - 0.7071 P_4 \\ \Sigma M_1 &= 0 \\ &0 \end{aligned}$$

Nudo 2



$$\begin{aligned} \Sigma F_x &= 0 \\ F_{2x} &= -P_1 - 0.7071 P_5 \\ \Sigma F_y &= 0 \\ F_{2y} &= P_2 + 0.7071 P_5 \\ \Sigma M_i &= 0 \\ &0 \end{aligned}$$

EN FORMA MATRICIAL

$$\{ F \} = [a]^T \{ p \}$$

$$\begin{Bmatrix} F_{1x} \\ F_{1y} \\ F_{2x} \\ F_{2y} \end{Bmatrix} = \begin{bmatrix} P_1 & P_2 & P_3 & P_4 & P_5 \\ 0 & 0 & -1 & -0.7071 & 0 \\ 0 & -1 & 0 & -0.7071 & 0 \\ -1 & 0 & 0 & 0 & -0.7071 \\ 0 & 1 & 0 & 0 & 0.7071 \end{bmatrix} \begin{Bmatrix} P_1 \\ P_2 \\ P_3 \\ P_4 \\ P_5 \end{Bmatrix}$$

Donde:

$$[a]^T = \text{Matriz de equilibrio.}$$

Si comparamos la matriz de equilibrio con la matriz de continuidad, nos damos cuenta de que es su traspuesta por lo tanto:

$$\text{Matriz de equilibrio} = [a]^T \quad \text{(matriz de continuidad) traspuesta}$$

Resumiendo:

Ecuación de compatibilidad

$$\{ e \} = [a] \{ d \} \dots \dots \dots (1)$$

Ley de Hooke

$$\{P\} = [k] \{e\} \dots \dots \dots (2)$$

Ecuaciones de equilibrio

$$\{F\} = [a]^T \{P\} \dots \dots \dots (3)$$

## 2.5 SOLUCIÓN

Sustituyendo (2) en (3)

$$\{F\} = [a]^T [k] \{e\} \dots \dots \dots (4)$$

Sustituyendo (1) en (4)

$$\{F\} = [a]^T [k] [a] \{d\}$$

Asignando

$$[K] = [a]^T [k] [a]$$

Obtenemos

$$\{F\} = [K] \{d\}$$

$[K]$  = Matriz de rigidez de la estructura.

Pasos que se deben seguir para llegar a la solución:

- Obtener la matriz  $[a]$ ; matriz de continuidad
- Obtener su traspuesta  $[a]^T$ ; matriz de equilibrio.
- Obtener la matriz de Rigidez para todas y cada una de las barras  $[k]$
- Obtener la matriz de Rigidez de la estructura  $[K] = [a]^T [k] [a]$
- Obtener el vector de fuerzas  $\{F\}$
- Obtener la solución del sistema de ecuaciones  $\{F\} = [K] \{d\}$
- Obtener el vector de deformación de las barras  $\{e\} = [a] \{d\}$
- Obtener el vector de fuerzas internas  $\{P\} = [k] \{e\}$
- Comprobar la solución  $\{F\} = [a]^T \{P\}$

El orden de las matrices y vectores es el siguiente:

$$[a] = (n_B, 2 \times n_N)$$

$$\{d\} = (2 \times n_N, 1)$$

$$\{e\} = (n_B, 1)$$

$$\{F\} = (2 \times n_N, 1)$$

$$[k] = (2 \times n_N, 2 \times n_N)$$

$$\{P\} = (n_B, 1)$$

Donde:

$n_B$  = número de barras

$n_N$  = número de nudos

### 3. MANUAL DE USO DEL PROGRAMA

El programa funciona para armaduras bidimensionales, las cuales pueden ser isostáticas o hiperestáticas tanto interior como exteriormente o - ambos casos. Además este programa tiene las siguientes restricciones:

- 1<sup>a</sup> Las cargas deben actuar en el mismo plano que la estructura.
- 2<sup>a</sup> Todas las cargas deben ser puntuales y aplicadas en los nudos de la estructura.
- 3<sup>a</sup> Todas y cada una de las barras deberán ser de sección constante a lo largo de su longitud, pudiendo variar entre barra y barra.

El procedimiento para la utilización de este programa consta de los siguientes pasos:

- 1<sup>a</sup> Referenciar la estructura a un sistema de ejes cartesianos, de preferencia haciendo coincidir un nudo de la armadura con el - origen del sistema de ejes coordenados, para facilitar en lo - posible la obtención de las coordenadas de cada nudo.



- 2° Numerar todas y cada una de las barras de la armadura de preferencia encerrando el número en un cuadro □ para evitar confusiones.
- 3° Numerar todos y cada uno de los nudos de la armadura de preferencia en un círculo O.
- 4° Dar un sentido a todas y cada una de las barras asignando de preferencia:
  - (A) Al inicio de la flecha, y
  - (B) A la terminación.
- 5° Obtener las coordenadas de todos y cada uno de los nudos de la armadura, de acuerdo al sistema de ejes coordenados que se haya elegido.
- 6° Encontrar la rigidez de todas y cada una de las barras (EA/L)
- 7° Definir el vector de fuerzas externas o actuantes. Todas las fuerzas deberán estar proyectadas en dos direcciones perpendiculares - de acuerdo al sistema de ejes coordenados elegido en un principio.

8º Por último codificar los datos para alimentar el programa de acuerdo al formato que se indica a continuación:

1er. renglón: 4 espacios para poner el número de barras de la estructura:

4 espacios para poner el número de nudos de la estructura.

2º. renglón: 4 espacios para poner el número de barra: del 0000 hasta al 9999.

$N_B$  Renglones  
( $N_B$  = número de barras) 4 espacios para poner el valor del nudo "A"; del 0000 al 9999

4 espacios para poner el valor del nudo "B", del 0000 al 9999.

8 espacios para poner el valor de la coordenada "x" del nudo "A" debiendo poner siempre dos decimales. I I I I I . d d

8 espacios para poner el valor de la coordenada "y" del nudo "A" debiendo poner siempre dos decimales. I I I I I . d d

8 espacios para poner el valor de la coordenada "x" del nudo "B" debiendo poner siempre dos decimales. I IIII.dd

8 espacios para poner el valor de la coordenada "y" del nudo "B" debiendo poner siempre dos decimales. I IIII.dd

Después de que se hayan medido todas las coordenadas de los nudos de cada una de las barras, el siguiente renglón es:

Siguiente renglón:

5 espacios de 16 campos cada uno por cada renglón para darle el valor de la rigidez de cada barra, y deberá ser en forma exponencial esto es:

IIIIIIII.ddd E <sup>+</sup> n<sub>n</sub>

8 campos para el número entero (I)

Un campo para el punto decimal (.)

3 campos para los decimales (d)

Un campo para la letra E

Un campo para el signo del exponente (+ ó -)

Dos campos para el exponente (n)

Ejemplo:

$$6666.666 \times 10^6 = 00006666.666E+06$$

$$100 \times 10^3 \quad 00000100.000E 03$$

Después de que se hayan medido los valores de la rigidez de todas y cada una de las barras (5 por renglón) el siguiente renglón será:

Siguiente renglón:

10 espacios de 8 campos cada uno por renglón, para darle el valor de las cargas en cada nudo, primero la fuerza en la dirección "x" y luego en la dirección "y", el valor debe llevar dos decimales.

IIIIII.dd

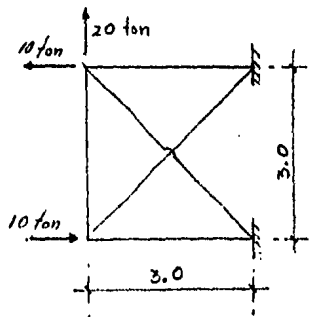
5 campos para los enteros (I)

1 campo para el punto decimal (.)

2 campos para decimales (d)

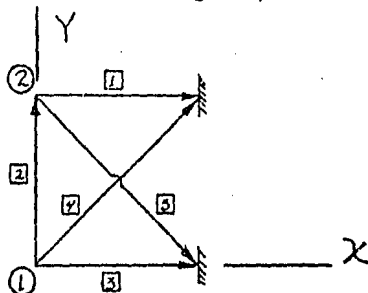
Para su mejor comprensión damos el siguiente ejemplo:

DATOS  
 $E = 2.1 \times 10^6 \text{ Kg./cm.}^2$   
 $A_s = 25 \text{ cm.}^2$



Dada la armadura anterior encontraremos las fuerzas axiales en todas y cada una de las barras, así como los desplazamientos de todos y cada uno de los nudos,

En primer lugar se enumeran todos y cada uno de los nudos de ésta encerrando el número en un círculo, se enumeran también todas y cada una de las barras encerrando el número en un cuadro, y se elige el origen del sistema coordenado en un nudo de la armadura de modo que se puedan encontrar las coordenadas de todos y cada uno de los nudos de una manera fácil y rápida, y por último se le asigna un sentido a todas y cada una de las barras como se muestra en la figura que a continuación se esquematiza:



Como se puede observar, tenemos un total de cinco barras y dos nudos - que no tienen restringido su desplazamiento, se observa además que se eligió como origen del sistema coordenado al nudo número 1.

El siguiente punto es encontrar las coordenadas de todos y cada uno de los nudos de la armadura, para nuestro caso tenemos:

BARRA	NUDO A	NUDO B	NUDO A		NUDO B	
			CORXA	CORYA	CORXB	CORYB
1	2	0	0	3	3	3
2	1	2	0	0	0	3
3	1	0	0	0	3	0
4	1	0	0	0	3	3
5	2	0	0	3	3	0

El siguiente punto es obtener la rigidez de todas y cada una de las barras (EA/L) para el ejemplo tenemos:

$$\text{RIGIDEZ ( 1 )} = 21 \times 10^6 (25 \times 10^{-4}) / 3 = 17,500 \text{ Ton/m}$$

$$\text{RIGIDEZ ( 2 )} = 21 \times 10^6 (25 \times 10^{-4}) / 3 = 17,500 \text{ Ton/m}$$

$$\text{RIGIDEZ ( 3 )} = 21 \times 10^6 (25 \times 10^{-4}) / 3 = 17,500 \text{ Ton/m}$$

$$\text{RIGIDEZ ( 4 )} = 21 \times 10^6 (25 \times 10^{-4}) / 18 = 12,374 \text{ Ton/m}$$

$$\text{RIGIDEZ ( 5 )} = 21 \times 10^6 (25 \times 10^{-4}) / 18 = 12,374 \text{ Ton/m}$$

El siguiente paso es encontrar el vector de fuerzas externas que actúa sobre la armadura, para nuestro ejemplo tenemos:

$$F_{1X} = 10 \text{ TON.}$$

$$F_{1Y} = 0 \text{ TON}$$

$$F_{2X} = -10 \text{ TON}$$

$$F_{2Y} = 20 \text{ TON}$$

De modo que la codificación de los datos es la siguiente:



4. PROGRAMA PARA LA SOLUCIÓN EN EL PLANO  
DE ARMADURAS.



VAX/VMS	RSC200	ARMADURAS	10-JAN-1985	19109	LPAU1	10-JAN-1985	19109	DISKSECTAR	11:10:00Z	001	10:00	10:00	00:00	00:00	VAX/VMS
VAX/VMS	RSC200	ARMADURAS	10-JAN-1985	19109	LPAU1	10-JAN-1985	19109	DISKSECTAR	11:10:00Z	001	10:00	10:00	00:00	00:00	VAX/VMS
VAX/VMS	RSC200	ARMADURAS	10-JAN-1985	19109	LPAU1	10-JAN-1985	19109	DISKSECTAR	11:10:00Z	001	10:00	10:00	00:00	00:00	VAX/VMS

```

RRRH SSSS CCCC 222 000 000
R R S C 2 2 0 0 0 0
R R S C 2 2 0 0 0 0
RRRH SSS C C 2 2 0 0 0 0
R R S C 2 2 0 0 0 0
R R SSS CCCC 2222 000 000

```

```

AAAAA HRRRHHH MM MM AAAAAA DDDDDDD I- UL KKKKKKK AAAA SSSSSSS
AAAAA HRRRHHH MM MM AAAAAA DDDDDDD I- UU KKKKKKK AAAA SSSSSSS
AA AA KK KK MMM MMM AA AA UU DU I- UU KK KK AA AA S
AA AA KK KK MMM MMM AA AA UU DU I- UU KK KK AA AA S
AA AA KK KK RR MM MM AA AA UU DU I- UU KK KK AA AA S
AA AA KKKKKKK RR MM MM AA AA UU DU I- UU KKKKKKK AA AA SSSSS
AA AA HRRRHHH MM MM AA AA UU DU I- UU KKKKKKK AA AA SSSSS
AAAAAAAAA KK KK MM MM AAAAAAAAAA UU DU I- UU KK KK AAAAAAAAAA S
AA AA KK KK MM MM AA AA UU DU I- UU KK KK AA AA S
AA AA KK KK MM MM AA AA UU DU I- UU KK KK AA AA S
AA AA KK RR MM MM AA AA UU DDDDDU I- UU UU UU KK KK SSSSSSS
AA AA KK RR MM MM AA AA UU DDDDDU I- UU UU UU KK KK SSSSSSS

```

```

LL 11111 SSSSSSS 1111 11
LL 11111 SSSSSSS 1111 11
LL 11 SS 1111 1111
LL 11 SS 1111 1111
LL 11 SS 1111 1111
LL 11 SSSSS 1111 11
LL 11 SSSSS 1111 11
LL 11 SS 1111 11
LL 11 SS 1111 11
LL 11 SS 1111 11
LL 11 SS 1111 11
LLLLLLLLL 11111 SSSSSSS 11 11111
LLLLLLLLL 11111 SSSSSSS 11 11111

```

```

RRRH SSSS CCCC 222 000 000
R R S C 2 2 0 0 0 0
R R S C 2 2 0 0 0 0
RRRH SSS C C 2 2 0 0 0 0
R R S C 2 2 0 0 0 0
R R SSS CCCC 2222 000 000

```

VAX/VMS	RSC200	ARMADURAS	10-JAN-1985	19109	LPAU1	10-JAN-1985	19109	DISKSECTAR	11:10:00Z	001	10:00	10:00	00:00	00:00	VAX/VMS
VAX/VMS	RSC200	ARMADURAS	10-JAN-1985	19109	LPAU1	10-JAN-1985	19109	DISKSECTAR	11:10:00Z	001	10:00	10:00	00:00	00:00	VAX/VMS
VAX/VMS	RSC200	ARMADURAS	10-JAN-1985	19109	LPAU1	10-JAN-1985	19109	DISKSECTAR	11:10:00Z	001	10:00	10:00	00:00	00:00	VAX/VMS



```

0056 DU 120, I=1, N=2
0057 10 WRITE (D, 20111), NIG(1)
0058 2012 FORMAT (NA, 14, 5X, E15.4)
0059 1002 FORMAT (5E10.4)
0060 DU 45, L=1, N
0061 DU 45, J=1, N
0062 DU 45, I=1, N=LL
0063 45 K(I, J)=N(I, I)+PIG(I)*A(I, J)+K(L, J)
0064 COMPUCLON DEL SISITEMA DE EQUACIONES F=AD
0065 WRITE (D, 2013)
0066 2013 FORMAT (7A, 'RUDDU', 10X, 'PZA. X', 10X, 'PZA. 1')
0067 READ (5, 1003)(FUERK(I), I=1, N)
0068 J=0
0069 DU 120, I=1, N, 2
0070 J=J+1
0071 125 WRITE (D, 2014)J, FUERK(I), FUERK(I+1)
0072 2014 FORMAT (NA, 14, 7X, F8.2, 7X, F8.2, 7X, F8.2)
0073 1003 FORMAT (10F8.2)
0074 DU 50, I=1, N
0075 DU 50, J=1, N
0076 IF (1.67, J) GO TO 55
0077 SUM=0.0
0078 IF (1.67, J) GO TO 60
0079 DU 65, L=1, I-1
0080 65 SUM=SUM+S(L, J)*S(L, J)
0081 A1=K(I, J)-SUM
0082 IF (A1.67, 0) GO TO 55
0083 S(I, J)=A1/S(I, I)
0084 GO TO 50
0085 60 DU 70, L=1, I-1
0086 70 SUM=SUM+S(L, J)**2
0087 A2=K(I, I)-SUM
0088 S(I, I)=SQRT(A2)
0089 GO TO 50
0090 55 S(I, J)=0.0
0091 50 K(I, I)=FUERK(I)/S(I, I)
0092 DU 71, I=2, N
0093 SUM=0.0
0094 DU 72, L=1, I-1
0095 72 SUM=SUM+S(L, I)*K1(L)
0096 A1=FUERK(I)-SUM
0097 IF (S(I, I).EQ.0) GO TO 73
0098 K(I, I)=A1/S(I, I)
0099 GO TO 71
0100 73 K1(I)=0.0
0101 71 U(N)=K1(I)/S(N, N)
0102 I1=I-1
0103 85 SUM=0.0
0104 DU 75, L=1+I1, N
0105 75 SUM=SUM+S(I1, L)*U(L)
0106 IF (S(I1, I1).EQ.0) GO TO 400
0107 U(I1)=(K1(I1)-SUM)/S(I1, I1)
0108 GO TO 401
0109 400 D(I1)=0.0
0110 401 I1=I-1

```

0111 IF(11,00,0100 10 80  
0112 GR 10 45  
0113 80 WH1K (0,2004)  
0114 2004 FORMAI (10X,'DRESPLAZAARINUS')  
0115 WH1K (0,2008)  
0116 2008 FORMAI (1A,'NODU',15A,'DIRKCI',21A,'DIRC.1')  
0117 J=1  
0118 J=1  
0119 80 WH1K (0,2009)1,0(J),0(0+11  
0120 2009 FORMAI (10X,12,0A,F20,8,8A,F20,0)  
0121 J=1+1  
0122 J=J+2  
0123 IF(J,0T,4)00 10 90  
0124 00 10 80  
0125 90 DU 95,J=1,NEBE  
0126 F(1)00,0  
0127 DU 95,J=1,4  
0128 95 F(1)=E(1)+A(1,0)\*0(J)  
0129 DU 100,J=1,NEBE  
0130 F(1)=E(1)+A(1)  
0131 WH1K (0,2010)  
0132 2010 FORMAI (10X,'DARMA',12X,'FUENZA')  
0133 DU 105,J=1,NEBE  
0134 105 WH1K (0,2005)1,P(1)  
0135 2005 FORMAI (12A,12,0A,F20,8)  
0136 WH1K (0,2006)  
0137 2006 FORMAI (1,10X,'FUENZAS EXTERIORES')  
0138 DU 110,J=1,4  
0139 F=0,0  
0140 DU 115,J=1,NEBE  
0141 F=F+0(J)\*0(J)  
0142 WH1K (0,2007)  
0143 2007 FORMAI (12A,F20,8)  
0144 110 CONTINUE  
0145 CALL EXIT  
0146 END

1  
2  
3  
4  
5  
6  
7  
8  
9  
10  
11  
12  
13  
14  
15  
16  
17  
18  
19  
20  
21  
22  
23  
24  
25  
26  
27  
28  
29  
30  
31  
32  
33  
34  
35  
36  
37  
38  
39  
40  
41  
42  
43  
44  
45  
46  
47  
48  
49  
50  
51  
52  
53  
54  
55  
56  
57  
58  
59  
60  
61  
62  
63

AKRACORASSMAIN

20-JAN-1965 14:02:02 PAGE 11 10000000 00000000 00000000  
 15-00-1965 14:14:55 00000000 00000000 00000000

PROGRAM SECTIONS

NAME	BYTES	ATTRIBUTES
0 CORDA	2379	PIC COM REL DCJ SBR LAB CD 00001 0000
1 SERIAL	430	PIC COM REL DCJ SBR LAB CD 00001 0000
2 SLOCAL	122612	PIC COM REL DCJ 00000 00000 CD 00001 0000

TOTAL SPACE ALLOCATED 125427

ENTRY POINTS

ADDRESS	TYPE	NAME
0-00000000		AKRACORASSMAIN

VARIABLES

ADDRESS	TYPE	NAME	ADDRESS	TYPE	NAME	ADDRESS	TYPE	NAME	ADDRESS	TYPE	NAME
2-0001DE70	R#4	A1	2-0001DE74	R#4	A2	2-0001DE50	R#4	CORDA	2-0001DE50	R#4	CORDA
2-0001DE54	R#4	CORDA	2-0001DE5C	R#4	CORDA	2-0001DE54	R#4	A1	2-0001DE54	R#4	A1
2-0001DE3C	R#4	I	2-0001DE78	R#4	I1	2-0001DE40	R#4	I	2-0001DE3C	R#4	I
2-0001DE24	R#4	CGA	2-0001DE28	R#4	DCU	2-0001DE20	R#4	CORDA	2-0001DE20	R#4	CORDA
2-0001DE44	R#4	ASAD	2-0001DE2C	R#4	STUE	2-0001DE30	R#4	ASAD	2-0001DE44	R#4	ASAD
2-0001DE4C	R#4	STOUB	2-0001DE6C	R#4	SUB	2-0001DE00	R#4	I1	2-0001DE00	R#4	I1

ARRAYS

ADDRESS	TYPE	NAME	BYTES	DIMENSIONS
2-00000000	R#4	A	40000	(100, 100)
2-0001D970	R#4	D	400	(100)
2-0001D900	R#4	E	400	(100)
2-0001D810	R#4	FUER	400	(100)
2-00004000	R#4	K	40000	(100, 100)
2-0001D7E0	R#4	A1	100	(100)
2-0001D0C0	R#4	P	400	(100)
2-0001D040	R#4	HIG	400	(100)
2-0001D0A0	R#4	S	40000	(100, 100)

LABELS

ADDRESS	LABEL	ADDRESS	LABEL	ADDRESS	LABEL	ADDRESS	LABEL	ADDRESS	LABEL	ADDRESS	LABEL
0-00000094	1	0-000001C0	5	0-00000100	10	0-00000100	15	0-00000100	20	0-00000223	25
0-00000260	30	0-00000272	35	0-000000E2	40	0-00000040	45	0-000005C0	50	0-00000000	55
0-00000510	60	0-00000140	65	0-00000000	70	0-00000000	75	0-00000000	80	0-00000000	85
0-00000000	75	0-00000074	80	0-00000000	85	0-00000077	90	0-00000000	95	0-00000000	100
0-00000000	100	0-00000070	105	0-00000000	110	0-00000071	115	0-00000000	120	0-00000000	125
0-0000072F	400	0-00000730	401	1-0000000A	1000	1-00000000	1001	1-0000000A	1002	1-00000000	1003

ARMADURAS.MAI..

FORTRAN 77 1974-1975 1974-1975  
1974-1975 1974-1975  
PAGE 3

1-0000000	2000*	1-00000041	2001*	1-00000050	2002*	1-000000C	2003*	1-0000010	2004*	1-0000010	2005*
1-0000010	2006*	1-000001A	2007*	1-0000010	2008*	1-0000010	2009*	1-0000010	2010*	1-0000010	2011*
1-000000F0	2012*	1-00000100	2013*	1-00000110	2014*						

FUNCTIONS AND SUBROUTINES REFERENCED

TYPE	NAME	TYPE	NAME	TYPE	NAME
	FUNSPALL		FUNSUPPA		RTI STRUCTURE

COMMAND QUALIFIERS

FORTRAN /NOOPTIMIZE/15 ARMADURAS

/CHECK=(NOBOUNDS,OVERFLOW,NOUNDERFLOW)  
 /DEBUG=(YES,NOBOLD,TRACEBACK)  
 /STANLAK=(NO,SYNTAX,NO,STRUCT,FUN\*)  
 /SOURCE=(CPRE,PROCESSOR,NO,ICCODE,FAP)  
 /F77 /NODEBUGGING /14 /NOOPTIMIZE /WARNINGS /NODEBUG /NOUNDERFLOW /NOOPTIMIZE /NOOPTIMIZE /NOOPTIMIZE

COMPILATION STATISTICS

RUN TIME: 5.99 SECONDS  
 ELAPSED TIME: 10.03 SECONDS  
 PAGE FAULTS: 022  
 DYNAMIC MEMORY: 295 PAGES

NUMERO DE BARBAS= 5  
 NUMERO DE NODOS= 2

BARBA	NODO A		NODO B		NODO A		NODO B	
	NODO A	NODO B	COORDENADA X	COORDENADA Y	COORDENADA X	COORDENADA Y	COORDENADA X	COORDENADA Y
1	2	0	0.00	3.00	3.00	3.00		
2	1	2	0.00	0.00	0.00	3.00		
3	1	0	0.00	0.00	3.00	0.00		
4	1	0	0.00	0.00	3.00	3.00		
5	2	0	0.00	3.00	3.00	0.00		

BARBA

RIGIDEZ  
 1 0.1750E+05  
 2 0.1750E+05  
 3 0.1750E+05  
 4 0.1237E+05  
 5 0.1237E+05

NODO

FZA. X FZA. Y  
 1 10.00 0.00  
 2 -10.00 20.00

NODO

DESPLAZAMIENTOS

DIRC. I

0.00136353  
 0.00160895

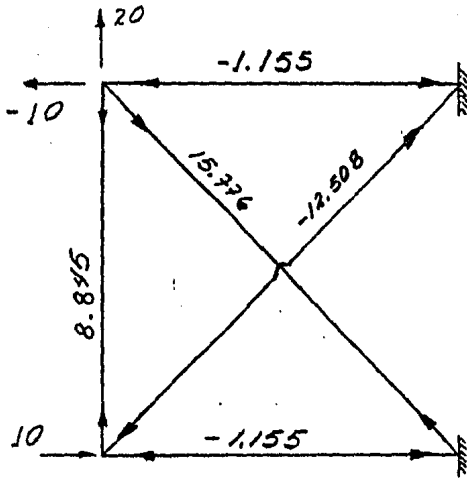
BARBA

FUERZA  
 1 -1.15515077  
 2 8.84484673  
 3 -1.15515704  
 4 -12.50849724  
 5 15.77570733

FUERZAS EXTERIORES

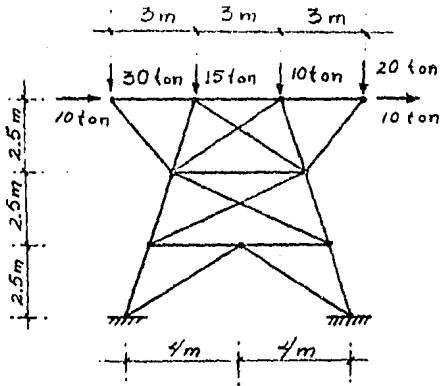
10.00000000  
 -0.00000200  
 -10.00000200  
 20.00000000

RESULTADOS:

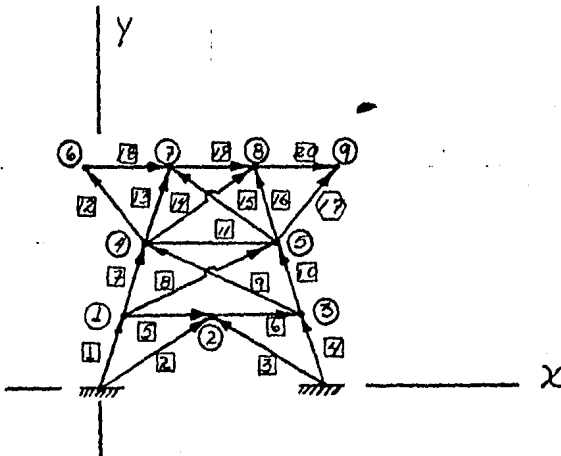




### 4.2 EJEMPLO A.



Dada la armadura que se muestra en la figura anterior, encontrar el desplazamiento que sufren los nudos de ésta, al ser solicitada por las fuerzas exteriores que se muestran, así como encontrar el valor de las fuerzas internas en todas y cada una de las barras.



Los nudos y las coordenadas de los extremos de la barra son las siguientes

BARRA	NUDO A	NUDO B	NUDO A		NUDO B	
			CORXA	CORYA	CORXB	CORYB
1	0	1	0.00	0.00	0.83	2.50
2	0	2	0.00	0.00	4.00	2.50
3	0	2	8.00	0.00	4.00	2.50
4	0	3	8.00	0.00	7.16	2.50
5	1	2	0.83	2.50	4.00	2.50
6	2	3	4.00	2.50	7.16	2.50
7	1	4	0.83	2.50	1.66	5.00
8	1	5	0.83	2.50	6.33	5.00
9	3	4	7.16	2.50	1.66	5.00
10	3	5	7.16	2.50	6.33	5.00
11	4	5	1.66	5.00	6.53	5.00
12	4	6	1.66	5.00	-0.50	7.50
13	4	7	1.66	5.00	2.50	7.50
14	4	8	1.66	5.00	5.50	7.50
15	5	7	6.33	5.00	2.50	7.50
16	5	8	6.33	5.00	5.50	7.50
17	5	9	6.33	5.00	8.50	7.50
18	6	7	-0.50	7.50	2.50	7.50
19	7	8	2.50	7.50	5.50	7.50
20	8	9	5.50	7.50	8.50	7.50

La rigidez de todas y cada una de las barras es la siguiente:

$$21 \times 10^6 (25 \times 10^{-4}) / 2.6352 = 19,922 \text{ Ton/m}$$

$$21 \times 10^6 (25 \times 10^{-4}) / 4.7169 = 11,130 \quad "$$

$$21 \times 10^6 (25 \times 10^{-4}) / 3.2667 = 16,570 \quad "$$

$$21 \times 10^6 (25 \times 10^{-4}) / 6.0415 = 8,690 \quad "$$

$$\begin{aligned} 21 \times 10^6 (25 \times 10^{-4}) / 4,6666 &= 11,250 \text{ Ton/m,} \\ 21 \times 10^6 (25 \times 10^{-4}) / 3,3082 &= 15,870 \text{ " } \\ 21 \times 10^6 (25 \times 10^{-4}) / 4,5765 &= 11,472 \text{ " } \\ 21 \times 10^6 (25 \times 10^{-4}) / 3,0000 &= 17,500 \text{ " } \end{aligned}$$

RIGIDEZ ( 1 )	= 19,922	Ton/m
RIGIDEZ ( 2 )	= 11,130	"
RIGIDEZ ( 3 )	= 11,130	"
RIGIDEZ ( 4 )	= 19,922	"
RIGIDEZ ( 5 )	= 16,539	"
RIGIDEZ ( 6 )	= 16,579	"
RIGIDEZ ( 7 )	= 19,922	"
RIGIDEZ ( 8 )	= 8,690	"
RIGIDEZ ( 9 )	= 8,690	"
RIGIDEZ ( 10 )	= 19,922	"
RIGIDEZ ( 11 )	= 11,250	"
RIGIDEZ ( 12 )	= 15,870	"
RIGIDEZ ( 13 )	= 19,922	"
RIGIDEZ ( 14 )	= 11,472	"
RIGIDEZ ( 15 )	= 11,472	"
RIGIDEZ ( 16 )	= 19,922	"
RIGIDEZ ( 17 )	= 15,870	"
RIGIDEZ ( 18 )	= 17,500	"
RIGIDEZ ( 19 )	= 17,500	"
RIGIDEZ ( 20 )	= 17,500	"

El vector de fuerzas es el siguiente:

$$F_{1X} = 0 \text{ TON.}$$

$$F_{1Y} = 0 \text{ "}$$

$$F_{2X} = 0 \text{ "}$$

$$F_{2Y} = 0 \text{ "}$$

$$F_{3X} = 0 \text{ "}$$

$$F_{3Y} = 0 \text{ "}$$

$$F_{4X} = 0 \text{ "}$$

$$F_{4Y} = 0 \text{ "}$$

$$F_{5X} = 0 \text{ "}$$

$$F_{5Y} = 0 \text{ "}$$

$$F_{6X} = 10 \text{ "}$$

$$F_{6Y} = -30 \text{ "}$$

$$F_{7X} = 0 \text{ "}$$

$$F_{7Y} = -15 \text{ "}$$

$$F_{8X} = 0 \text{ "}$$

$$F_{8Y} = -10 \text{ "}$$

$$F_{9X} = 10 \text{ "}$$

$$F_{9Y} = -20 \text{ "}$$

De modo que la codificación de datos es la siguiente:





№	Вариант	Код	Год	Средняя оценка	Средняя оценка	Средняя оценка	Средняя оценка
1	0	1	0,00	1,00	0,00	2,50	
2	0	2	0,00	0,00	0,00	2,50	
3	0	2	0,00	0,00	1,00	2,50	
4	0	3	0,00	0,00	1,00	2,50	
5	1	2	0,00	2,50	0,00	2,50	
6	2	3	0,00	2,50	1,00	2,50	
7	1	4	0,00	2,50	1,00	5,00	
8	1	5	0,00	2,50	0,00	5,00	
9	1	4	7,00	2,50	1,00	5,00	
10	3	5	7,00	2,50	0,00	5,00	
11	4	5	1,00	5,00	0,00	5,00	
12	4	6	1,00	5,00	0,00	1,50	
13	4	7	1,00	5,00	2,50	7,50	
14	4	8	1,00	5,00	5,00	1,50	
15	5	7	1,00	5,00	2,50	1,50	
16	5	8	0,00	5,00	5,00	1,50	
17	5	9	1,00	1,00	5,00	1,00	

1	10	0	7	0.50	7.50	2.50	7.50
2	19	7	0	2.50	7.50	5.50	7.50
3	20	0	0	5.50	7.50	6.50	7.50
4	0.011	0.11117					
5	1	0.19921+05					
6	2	0.11116+05					
7	3	0.11116+05					
8	4	0.19921+05					
9	5	0.16580+05					
10	6	0.16801+05					
11	7	0.19921+05					
12	8	0.06901+04					
13	9	0.06901+04					
14	10	0.19921+05					
15	11	0.12580+05					
16	12	0.15871+05					
17	13	0.19921+05					
18	14	0.11117+05					
19	15	0.11117+05					
20	16	0.19921+05					
21	17	0.15871+05					
22	18	0.15871+05					
23	19	0.17580+05					
24	20	0.17580+05					
25	0.010	0.00000	0.00000				
26	1	0.00	0.00				
27	2	0.00	0.00				
28	3	0.00	0.00				
29	4	0.00	0.00				
30	5	0.00	0.00				
31	6	10.00	-10.00				
32	7	0.00	-15.00				
33	8	0.00	-10.00				
34	9	10.00	-20.00				
35	0.000	0.00000247180106					
36	1	0.00009154					
37	2	0.00002433					
38	3	0.00104949					
39	4	0.00325010					
40	5	0.00172150					
41	6	0.00135725					
42	7	0.00220990					
43	8	0.00302787					
44	9	0.00491131					
45	0.011	0.01101					
46	1	-31.50150603					
47	2	7.72511959					
48	3	-0.77511959					
49	4	-47.94000702					
50	5	0.54573520					
51	6	11.34307337					
52	7	-31.23000000					
53	8	-0.76500119					
54	9	-20.00022000					
55	10	-31.72507744					
56							
57							
58							
59							
60							
61							
62							
63							

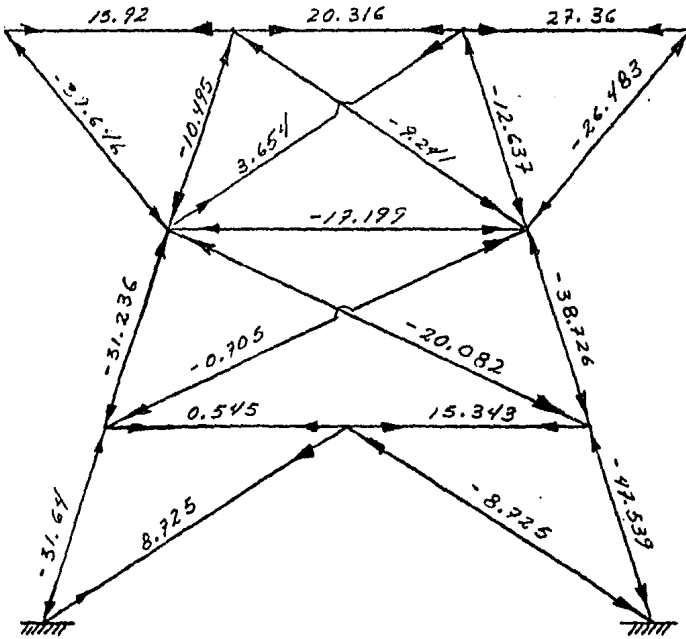


11	-11.19921675
12	-10.19081671
13	-11.49010996
14	-10.1177977
15	-11.2119629
16	-17.003727279
17	-15.7131177
18	-15.1200771
19	-15.3191276
20	-16.30000237

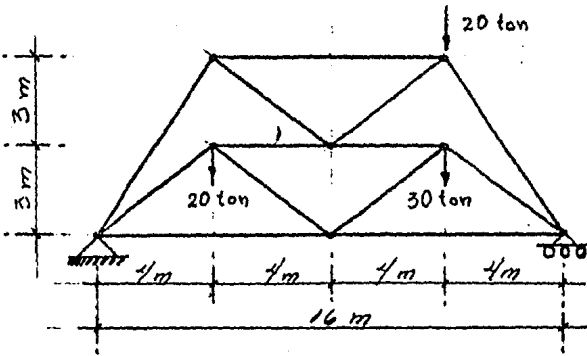
POURCAS PAIRFOKES

1	0.00000000
2	0.00000000
3	0.00000000
4	0.00000000
5	0.00000000
6	0.00000000
7	0.00000000
8	0.00000000
9	0.00000000
10	0.00000000
11	0.00000000
12	0.00000000
13	0.00000000
14	0.00000000
15	0.00000000
16	0.00000000
17	0.00000000
18	0.00000000
19	0.00000000
20	0.00000000
21	0.00000000
22	0.00000000
23	0.00000000
24	0.00000000
25	0.00000000
26	0.00000000
27	0.00000000
28	0.00000000
29	0.00000000
30	0.00000000
31	0.00000000
32	0.00000000
33	0.00000000
34	0.00000000
35	0.00000000
36	0.00000000
37	0.00000000
38	0.00000000
39	0.00000000
40	0.00000000
41	0.00000000
42	0.00000000
43	0.00000000
44	0.00000000
45	0.00000000
46	0.00000000
47	0.00000000
48	0.00000000
49	0.00000000
50	0.00000000
51	0.00000000
52	0.00000000
53	0.00000000
54	0.00000000
55	0.00000000
56	0.00000000
57	0.00000000
58	0.00000000
59	0.00000000
60	0.00000000
61	0.00000000
62	0.00000000
63	0.00000000
64	0.00000000
65	0.00000000
66	0.00000000
67	0.00000000
68	0.00000000
69	0.00000000
70	0.00000000
71	0.00000000
72	0.00000000
73	0.00000000
74	0.00000000
75	0.00000000
76	0.00000000
77	0.00000000
78	0.00000000
79	0.00000000
80	0.00000000
81	0.00000000
82	0.00000000
83	0.00000000
84	0.00000000
85	0.00000000
86	0.00000000
87	0.00000000
88	0.00000000
89	0.00000000
90	0.00000000
91	0.00000000
92	0.00000000
93	0.00000000
94	0.00000000
95	0.00000000
96	0.00000000
97	0.00000000
98	0.00000000
99	0.00000000
100	0.00000000

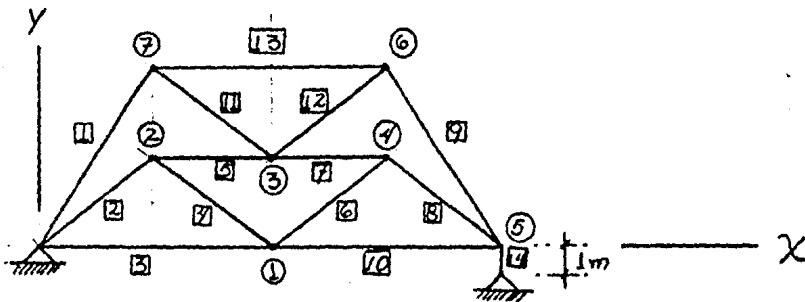
RESULTADOS :



### 4.3 EJEMPLO B



Dada la armadura que se muestra en la figura anterior, encontrar el desplazamiento que sufren los nudos de éste al ser solicitada por las fuerzas exteriores que se muestran, así como encontrar el valor de las fuerzas internas en todas y cada una de las barras,



Los nudos y las coordenadas de los extremos de la barra son las siguientes:

BARRA	NUDO A	NUDO B	NUDO A		NUDO B	
			CORXA	CORYA	CORXB	CORYB
1	0	7	0.00	0.00	4.00	6.00
2	0	2	0.00	0.00	4.00	3.00
3	0	1	0.00	0.00	8.00	0.00
4	1	2	8.00	0.00	4.00	3.00
5	2	3	4.00	3.00	8.00	3.00
6	1	4	8.00	0.00	12.00	3.00
7	3	4	8.00	3.00	12.00	3.00
8	5	4	16.00	0.00	12.00	3.00
9	5	6	16.00	0.00	12.00	6.00
10	1	5	8.00	0.00	16.00	0.00
11	3	7	8.00	3.00	4.00	6.00
12	3	6	8.00	3.00	12.00	6.00
13	7	6	4.00	6.00	12.00	6.00
14	0	5	16.00	-1.00	16.00	0.00

La rigidez de todas y cada una de las barras es la siguiente:

$$21 \times 10^6 (25 \times 10^{-4}) / 7.2111 = 7,280 \text{ Ton/m}$$

$$21 \times 10^6 (25 \times 10^{-4}) / 5.0000 = 10,500 \quad "$$

$$21 \times 10^6 (25 \times 10^{-4}) / 8.0000 = 6,562 \quad "$$

$$21 \times 10^6 (25 \times 10^{-4}) / 4.0000 = 13,125 \quad "$$

$$21 \times 10^6 (25 \times 10^{-4}) / 1.0000 = 52,500 \quad " \quad \text{Pero por ser apoyo } 1 \times 10^6$$

RIGIDEZ ( 1 ) = 7,280 Ton/m  
RIGIDEZ ( 2 ) = 10,500 "  
RIGIDEZ ( 3 ) = 6,562 "  
RIGIDEZ ( 4 ) = 10,500 "  
RIGIDEZ ( 5 ) = 13,125 "  
RIGIDEZ ( 6 ) = 10,500 "  
RIGIDEZ ( 7 ) = 13,125 "  
RIGIDEZ ( 8 ) = 10,500 "  
RIGIDEZ ( 9 ) = 7,280 "  
RIGIDEZ ( 10 ) = 6,562 "  
RIGIDEZ ( 11 ) = 10,500 "  
RIGIDEZ ( 12 ) = 10,500 "  
RIGIDEZ ( 13 ) = 6,562 "  
RIGIDEZ ( 14 ) =  $1 \times 10^8$  "

El vector de fuerzas es el siguiente:

$F_{1X} = 0$  Ton,  
 $F_{1Y} = 0$  "  
 $F_{2X} = 0$  "  
 $F_{2Y} = -20$  "  
 $F_{3X} = 0$  "  
 $F_{3Y} = 0$  "  
 $F_{4X} = 0$  "  
 $F_{4Y} = -30$  "

$$F_{5X} = 0 \text{ Ton.}$$

$$F_{5Y} = 0 \text{ "}$$

$$F_{6X} = 0 \text{ "}$$

$$F_{6Y} = -20 \text{ "}$$

$$F_{7X} = 0 \text{ "}$$

$$F_{7Y} = 0 \text{ "}$$

De modo que la codificación de datos es la siguiente:

1	3	10	13	20	25	30	31	40	45	50	55	60	65	70	75	80
0.01	1.00	0.07														
0.00	0.00	0.00	0.00	0.00	0.00	0.00	0.00	0.00	0.00	0.00	0.00	0.00	0.00	0.00	0.00	0.00
3	0	2	0	0	0	0	0	0	0	0	0	0	0	0	0	0
3	0	1	1	0	0	0	0	0	0	0	0	0	0	0	0	0
4	1	2	1	0	0	0	0	0	0	0	0	0	0	0	0	0
5	2	3	1	0	0	0	0	0	0	0	0	0	0	0	0	0
6	1	4	0	0	0	0	0	0	0	0	0	0	0	0	0	0
7	3	4	0	0	0	0	0	0	0	0	0	0	0	0	0	0
8	5	4	1	0	0	0	0	0	0	0	0	0	0	0	0	0
9	5	6	1	0	0	0	0	0	0	0	0	0	0	0	0	0
10	1	5	0	0	0	0	0	0	0	0	0	0	0	0	0	0
11	3	7	0	0	0	0	0	0	0	0	0	0	0	0	0	0
12	3	6	0	0	0	0	0	0	0	0	0	0	0	0	0	0
13	7	6	1	0	0	0	0	0	0	0	0	0	0	0	0	0
14	1	5	1	0	0	0	0	0	0	0	0	0	0	0	0	0
15	0	0	0	0	0	0	0	0	0	0	0	0	0	0	0	0
16	0	0	0	0	0	0	0	0	0	0	0	0	0	0	0	0
17	0	0	0	0	0	0	0	0	0	0	0	0	0	0	0	0
18	0	0	0	0	0	0	0	0	0	0	0	0	0	0	0	0
19	0	0	0	0	0	0	0	0	0	0	0	0	0	0	0	0
20	0	0	0	0	0	0	0	0	0	0	0	0	0	0	0	0
21	0	0	0	0	0	0	0	0	0	0	0	0	0	0	0	0
22	0	0	0	0	0	0	0	0	0	0	0	0	0	0	0	0
23	0	0	0	0	0	0	0	0	0	0	0	0	0	0	0	0
24	0	0	0	0	0	0	0	0	0	0	0	0	0	0	0	0
25	0	0	0	0	0	0	0	0	0	0	0	0	0	0	0	0
26	0	0	0	0	0	0	0	0	0	0	0	0	0	0	0	0
27	0	0	0	0	0	0	0	0	0	0	0	0	0	0	0	0
28	0	0	0	0	0	0	0	0	0	0	0	0	0	0	0	0
29	0	0	0	0	0	0	0	0	0	0	0	0	0	0	0	0
30	0	0	0	0	0	0	0	0	0	0	0	0	0	0	0	0

CONFIDENTIAL APPENDIX 14  
 CONFIDENTIAL APPENDIX 7

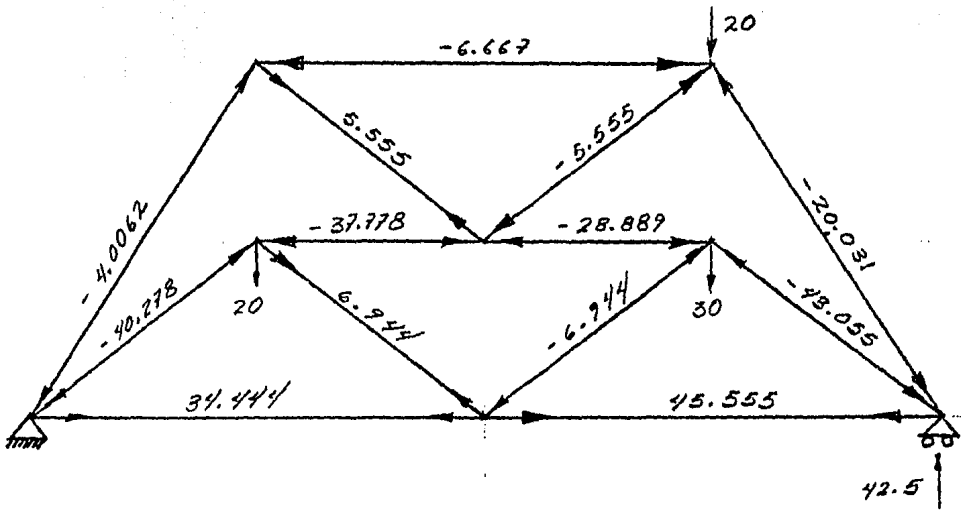
BARIA	CONFIDENTIAL A	CONFIDENTIAL B	CONFIDENTIAL A	CONFIDENTIAL B	CONFIDENTIAL A	CONFIDENTIAL B
1	0	7	0.00	0.00	4.00	0.00
2	0	2	0.00	0.00	4.00	3.00
4	0	1	0.00	0.00	8.00	0.00
5	1	2	0.00	0.00	4.00	3.00
5	2	3	4.00	3.00	8.00	3.00
6	4	5	8.00	0.00	12.00	3.00
7	4	4	8.00	3.00	12.00	3.00
8	5	4	10.00	0.00	12.00	3.00
9	5	0	10.00	0.00	12.00	8.00
10	1	0	0.00	0.00	10.00	0.00
11	4	7	8.00	3.00	4.00	8.00
12	3	0	0.00	3.00	12.00	0.00
13	7	0	4.00	6.00	12.00	6.00
14	0	5	10.00	-1.00	10.00	0.00

BARIA	CONFIDENTIAL A	CONFIDENTIAL B
1	0.7740E+00	0.1050E+00
2	0.1050E+00	0.1050E+00
4	0.1050E+00	0.1050E+00
5	0.1313E+00	0.1050E+00
6	0.1050E+00	0.1050E+00
7	0.1313E+00	0.1050E+00
8	0.1050E+00	0.1050E+00
9	0.1050E+00	0.1050E+00
10	0.1050E+00	0.1050E+00
11	0.1050E+00	0.1050E+00
12	0.1050E+00	0.1050E+00
13	0.1050E+00	0.1050E+00
14	0.1050E+00	0.1050E+00



1	10	0.00000000	
2	11	0.10000000	
3	12	0.10000000	
4	13	0.10000000	
5	14	0.10000000	
6	15	0.10000000	
7	16	0.10000000	
8	17	0.10000000	
9	18	0.10000000	
10	19	0.10000000	
11	20	0.10000000	
12	21	0.10000000	
13	22	0.10000000	
14	23	0.10000000	
15	24	0.10000000	
16	25	0.10000000	
17	26	0.10000000	
18	27	0.10000000	
19	28	0.10000000	
20	29	0.10000000	
21	30	0.10000000	
22	31	0.10000000	
23	32	0.10000000	
24	33	0.10000000	
25	34	0.10000000	
26	35	0.10000000	
27	36	0.10000000	
28	37	0.10000000	
29	38	0.10000000	
30	39	0.10000000	
31	40	0.10000000	
32	41	0.10000000	
33	42	0.10000000	
34	43	0.10000000	
35	44	0.10000000	
36	45	0.10000000	
37	46	0.10000000	
38	47	0.10000000	
39	48	0.10000000	
40	49	0.10000000	
41	50	0.10000000	
42	51	0.10000000	
43	52	0.10000000	
44	53	0.10000000	
45	54	0.10000000	
46	55	0.10000000	
47	56	0.10000000	
48	57	0.10000000	
49	58	0.10000000	
50	59	0.10000000	
51	60	0.10000000	
52	61	0.10000000	
53	62	0.10000000	
54	63	0.10000000	
55	64	0.10000000	
56	65	0.10000000	
57	66	0.10000000	
58	67	0.10000000	
59	68	0.10000000	
60	69	0.10000000	
61	70	0.10000000	
62	71	0.10000000	
63	72	0.10000000	
64	73	0.10000000	
65	74	0.10000000	
66	75	0.10000000	
67	76	0.10000000	
68	77	0.10000000	
69	78	0.10000000	
70	79	0.10000000	
71	80	0.10000000	
72	81	0.10000000	
73	82	0.10000000	
74	83	0.10000000	
75	84	0.10000000	
76	85	0.10000000	
77	86	0.10000000	
78	87	0.10000000	
79	88	0.10000000	
80	89	0.10000000	
81	90	0.10000000	
82	91	0.10000000	
83	92	0.10000000	
84	93	0.10000000	
85	94	0.10000000	
86	95	0.10000000	
87	96	0.10000000	
88	97	0.10000000	
89	98	0.10000000	
90	99	0.10000000	
91	100	0.10000000	

RESULTADOS :



## CAPITULO II

### PROGRAMA PARA MARCOS

## 1. METODO DE LAS RIGIDECES PARA LA SOLUCION DE MARCOS.

El método es en esencia similar al utilizado para armaduras, ya que en los dos métodos las incógnitas son los desplazamientos en los nudos; -- aunque en marcos además hay giro. En los dos métodos su primera etapa consiste en obtener la matriz de rigidez y después solucionar la ecuación característica del método.

$$\{F\} = [K] \{d\} \text{ donde .:}$$

$\{F\}$  = Vector de fuerzas externas

$[K]$  = Matriz de rigidez de la estructura

$\{d\}$  = Vector de desplazamientos (incógnitas)

Este método a grandes rasgos consiste en una vez dadas las características físicas y geométricas de cada barra obtener para ésta en primer lugar la matriz de rigidez acoplada, de acuerdo con un sistema de -- ejes coordenados local, cuyo eje "X" coincide con el eje del elemento y después mediante una formulación que explicaremos más adelante la -- transforma a otro sistema coordenado general o global, que abarca toda la estructura,

A continuación y mediante el ensamble de matrices que también se desarrolla adelante se relacionan entre sí todos y cada uno de los elementos para dar origen a la matriz de rigidez de la estructura.

Es pues, necesario para entender el método de las rigideces explicar los siguientes puntos:

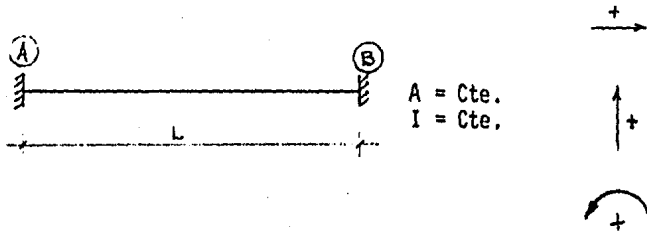
- a) Matriz de rigidez acoplada del elemento
- b) Ensamble de matrices
- c) Transformación de las acciones y desplazamientos del elemento (del sistema coordinado local al sistema coordinado global)
- d) Cargas equivalentes aplicadas en los nudos.
- e) Metodología

### 3, MATRIZ DE RIGIDEZ DEL ELEMENTO: (Matriz Acoplada)

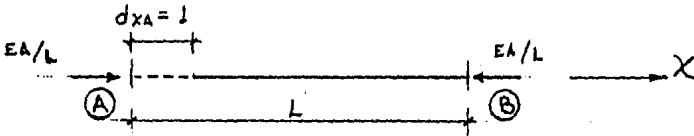
El desplazamiento generalizado de un nudo rígido de una estructura plana se describe en términos de una rotación y dos componentes ortogonales de la traslación. El análisis de una estructura por el método de rigidez, requiere que se estudie el comportamiento de la estructura restringida al aplicar individualmente una unidad de cada una de las componentes posibles, del desplazamiento de cada nudo no restringido de la estructura original. Por tanto, es importante conocer como responden los elementos estructurales a la aplicación individual, en los extremos del miembro de cada una de estas componentes posibles del desplazamiento. Es evidente la utilidad de este desarrollo en el análisis de la estructura restringida. La relación entre las componentes generalizadas del desplazamiento de los extremos y las acciones que se desarrollan en ellos se puede definir fácilmente en términos de las acciones y desplazamientos básicos de los extremos.

Las acciones que se desarrollan en los extremos de un elemento estructural típico puede expresarse mediante la satisfacción de las condiciones de equilibrio en términos de las tres acciones básicas (M, P, S), (momento, fuerza axial, fuerza cortante).

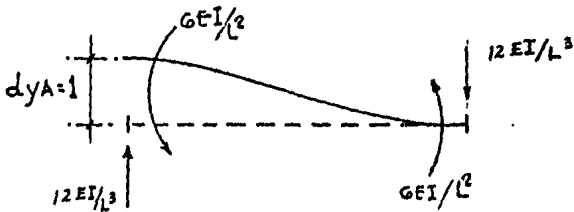
Aplicando lo anterior a un elemento de una estructura restringida obtendríamos la Matriz de Rigidez del Elemento:



1<sup>a</sup> Columna; aplicamos un desplazamiento unitario  $dx_A = 1$

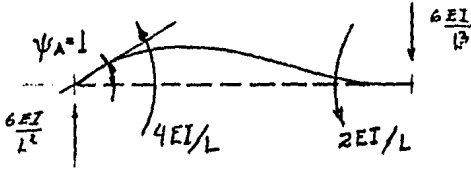


2<sup>a</sup> Columna; aplicamos un desplazamiento unitario  $dy_A = 1$

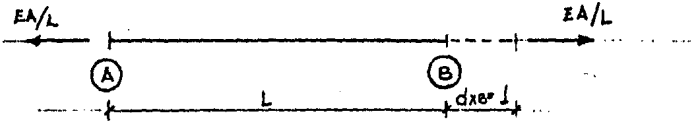


3ª Columna; aplicamos un giro unitario

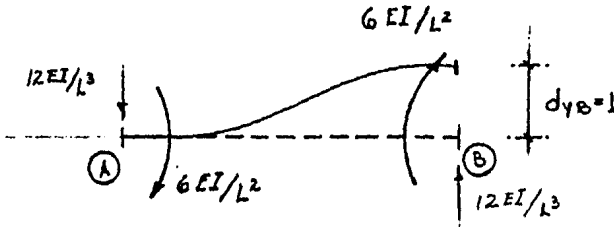
$$\psi_A = 1$$



4ª Columna; aplicamos un desplazamiento unitario  $dx_B = 1$

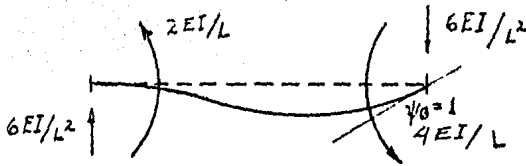


5ª Columna; aplicamos un desplazamiento unitario  $dy_B = 1$





6ª Columna; aplicamos un giro unitario  $\psi_B = 1$



Matricialmente nos queda:

	dxA=1	dyA=1	ψA=1	dxB=1	dyB=1	ψB=1
dxA	EA/L	0	0	-EA/L	0	0
dyA	0	12EI/L <sup>3</sup>	6EI/L <sup>2</sup>	0	-12EI/L <sup>3</sup>	6EI/L <sup>2</sup>
ψA	0	6EI/L <sup>2</sup>	4EI/L	0	-6EI/L <sup>3</sup>	2EI/L
dxB	-EA/L	0	0	EA/L	0	0
dyB	0	-12EI/L <sup>3</sup>	-6EI/L <sup>2</sup>	0	12EI/L <sup>3</sup>	-6EI/L <sup>2</sup>
ψB	0	6EI/L <sup>2</sup>	2EI/L	0	-6EI/L <sup>2</sup>	4EI/L

Como se puede observar esta matriz se puede dividir en cuatro submatrices las cuales son: [KAA], [KAB], [KBA] y [KBB], por lo tanto nos queda:

$$\begin{bmatrix} [KAA] & [KAB] \\ [KBA] & [KBB] \end{bmatrix}$$

siendo:

$$[K_{AA}] \begin{bmatrix} EA/L & 0 & 0 \\ 0 & 12EI/L^3 & 6EI/L^2 \\ 0 & 6EI/L^2 & 4EI/L \end{bmatrix}$$

$$[K_{AB}] \begin{bmatrix} -EA/L & 0 & 0 \\ 0 & -12EI/L^3 & 6EI/L^2 \\ 0 & -6EI/L^2 & 2EI/L \end{bmatrix}$$

$$[K_{BA}] \begin{bmatrix} -EA/L & 0 & 0 \\ 0 & -12EI/L^3 & -6EI/L^2 \\ 0 & 6EI/L^2 & 2EI/L \end{bmatrix}$$

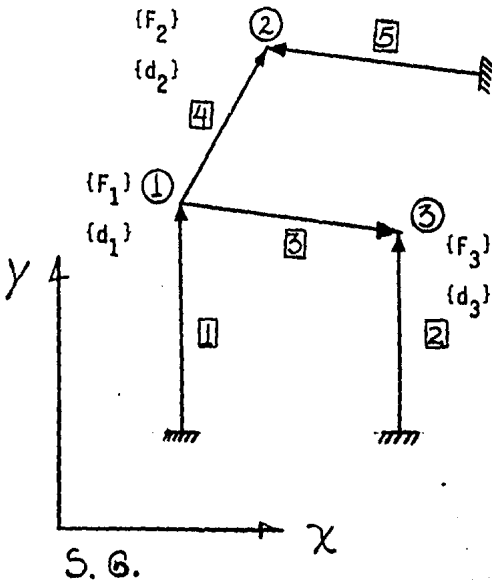
$$[K_{BB}] \begin{bmatrix} EA/L & 0 & 0 \\ 0 & 12EI/L^3 & -6EI/L^2 \\ 0 & -6EI/L^2 & 4EI/L \end{bmatrix}$$

Lo cual significa que cada matriz  $[K_{ij}]$  contiene el valor de las acciones que se generan en el nudo  $i$  al aplicar un desplazamiento o giro unitario en el nudo  $j$ .

### 3. ENSAMBLE DE LA MATRIZ DE RIGIDEZ

El algoritmo que veremos a continuación se llama ensamble de la matriz de rigidez o aplicación de la regla de la suma. La obtención de la matriz  $[K]$ , matriz de rigidez de la estructura es para el sistema global de ejes coordenados.

Ejemplo Topológico..



$$\{F\} = [K] \{d\}$$

$$\{F_1\} \quad \{d_1\}$$

$$\{F_2\} = [K] \{d_2\}$$

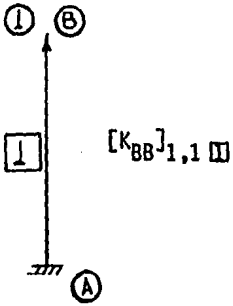
$$\{F_3\} \quad \{d_3\}$$

$\{F_i\}$  = Vector de fuerzas externas en el nudo (i) sist. global.

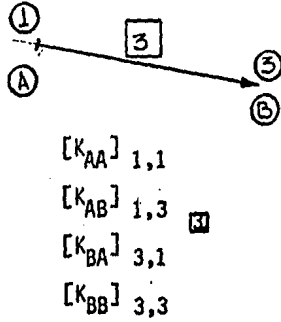
$\{d_i\}$  = Vector de desplazamientos en el nudo (i) sist. global.

$[K]$  = Matriz de rigidez de la estructura de acuerdo a S.G.

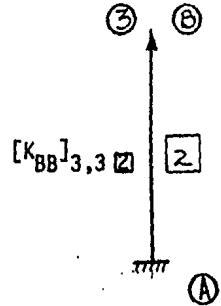
Para la barra "1"



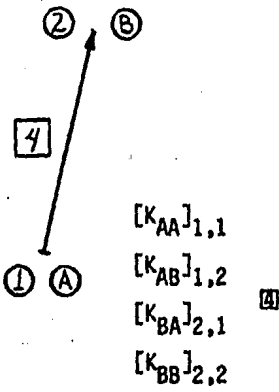
Para la barra "3"



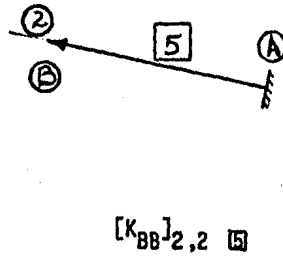
Para la barra "2"



Para la barra "4"



Para la barra "5"



Y ensamblando o sumando cada matriz de acuerdo a sus subindices nos queda el siguiente arreglo.

$[K_{AA}]_{i, j}$  Se suma al renglón  $i$ ; columna  $j$

PARA NUESTRO EJEMPLO.

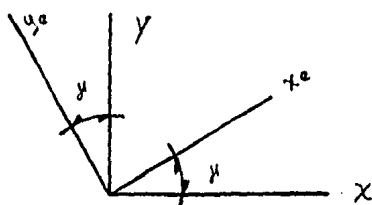
$$\begin{array}{c}
 \textcircled{1} \\
 \textcircled{2} \\
 \textcircled{3}
 \end{array}
 \left[ \begin{array}{ccc}
 \textcircled{1} & \textcircled{2} & \textcircled{3} \\
 [K_{BB}]_1 + [K_{AA}]_3 & [K_{AB}]_4 & [K_{AB}]_3 \\
 + [K_{AA}]_4 & & \\
 [K_{BA}] & [K_{BB}]_4 + [K_{BB}]_5 & 0 \\
 [K_{BA}]_3 & 0 & [K_{BB}]_2 + [K_{BB}]_3
 \end{array} \right]$$

Como cada matriz  $[K_{i,j}]$  es de  $3 \times 3$  nos queda un arreglo de  $3n \times 3n$ , siendo "n" el número de nudos. Cabe recalcar que todas y cada una de las matrices  $[K_{i,j}]_m$  se obtiene respecto al sistema global de ejes coordenados, y como en un principio estas matrices se obtienen de acuerdo a un sistema de ejes coordenados locales donde el eje "x" ...

coincide con el eje de la barra en estudio, daremos a continuación una metodología para transformar los términos de esta matriz obtenidos para un sistema de ejes locales, a un sistema de ejes coordenados globales.

#### 4. TRANSFORMACION DE LAS ACCIONES Y DESPLAZAMIENTOS DE LOS EXTREMOS.

Durante el análisis de una estructura es necesario definir las acciones y desplazamientos de los extremos de sus elementos en términos - de sus componentes según un sistema ortogonal de coordenadas más general, que se denomina "sistema de referencia"; y estas componentes - deben relacionarse con las definidas de acuerdo con los ejes locales.



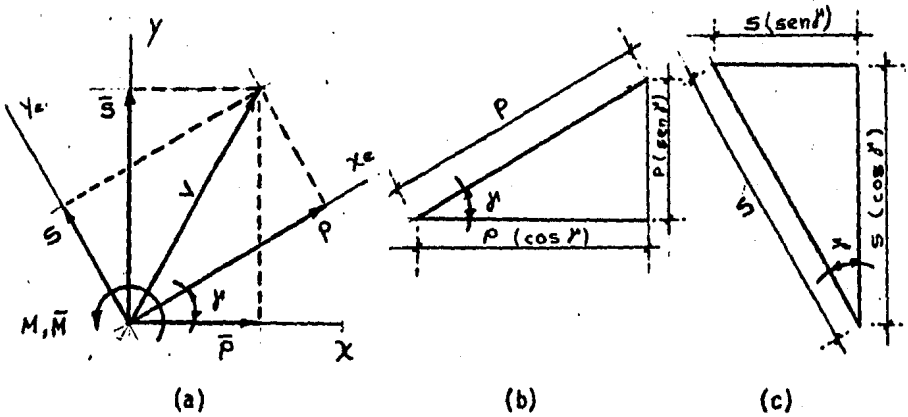
Ejes locales ( $X_e, Y_e$ )

Ejes de referencia ( $X, Y$ )

Para la discusión considerese los dos sistemas de ejes representados en la figura de arriba. Los ejes  $X_e$  y  $Y_e$  constituyen el sistema local para un elemento típico y los ejes  $X$ - $Y$  son el sistema general de ejes ortogonales, es decir, el sistema de referencia. Se supone que el eje local  $X_e$  forma el ángulo  $\gamma$  con el eje de referencia  $X$ ; el ángulo  $\gamma$  se mide en el sentido antihorario a partir del eje  $X$ .

En la figura (a), hoja 76, se muestra referido al sistema de ejes - locales  $X_e$ ,  $Y_e$  un sistema típico de acciones, es decir, un momento  $M$ , una fuerza axial  $P$  y una fuerza cortante  $S$ , que pueden desarrollarse

en el extremo de un elemento. Las dos fuerzas pueden componerse en un sólo vector  $V$  como se indica en la figura, este vector a su vez, puede descomponerse según un segundo sistema de coordenadas, éste puede ser el sistema de referencia  $X - Y$ . Las componentes de la fuerza  $V$  respecto a los ejes del sistema de referencia se identifican como  $\bar{P}$  y  $\bar{S}$  en la figura. Es obvio que el momento  $M$  es independiente del sistema de coordenadas. La fuerza axial  $P$ , en la dirección  $X_e$ , puede descomponerse respecto a los ejes  $X - Y$  en la forma ilustrada en la figura (b), la fuerza cortante  $S$ , que actúa en la dirección  $Y_e$ , también puede descomponerse respecto a los ejes de referencia  $X - Y$  en la forma en que se indica en la figura (c). Sumando las componentes correspondientes es posible expresar las acciones definidas respecto a los ejes de referencia,  $X - Y$ , en términos de las componentes de la acción en el sistema local del elemento:





$$\bar{P} = P (\cos \gamma) - S (\text{sen} \gamma)$$

$$\bar{S} = P (\text{sen} \gamma) + S (\cos \gamma)$$

y como se definió anteriormente

$$\bar{M} = M$$

Matricialmente las ecuaciones se expresan como:

$$\begin{Bmatrix} \bar{P} \\ \bar{S} \\ \bar{M} \end{Bmatrix} = \begin{bmatrix} \cos \gamma & -\text{sen} \gamma & 0 \\ \text{sen} \gamma & \cos \gamma & 0 \\ 0 & 0 & 1 \end{bmatrix} \begin{Bmatrix} P \\ S \\ M \end{Bmatrix} \quad (1)$$

$$\{F\} = [T_e]^T \{f_e\}$$

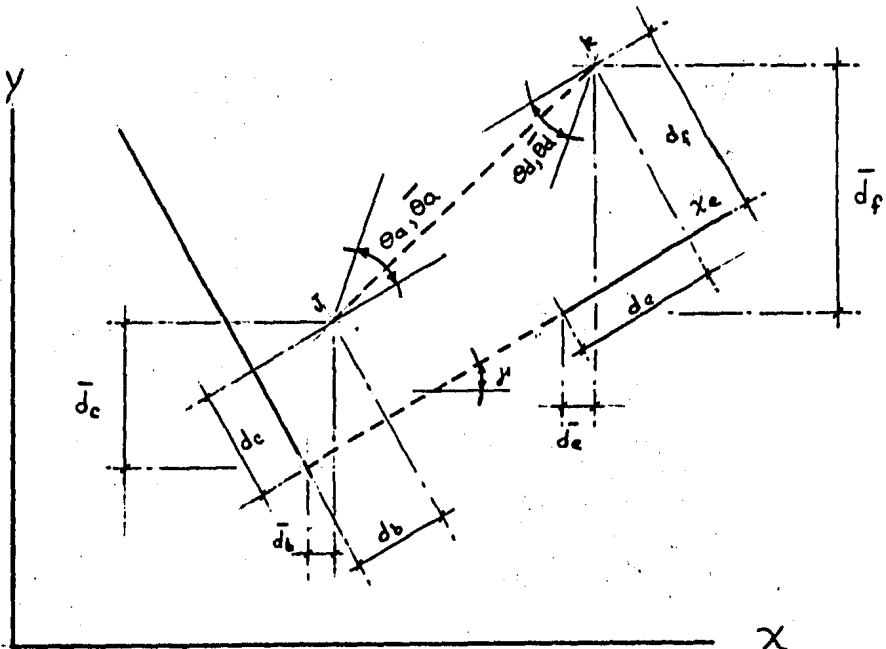
En forma semejante, las acciones definidas respecto a los ejes locales  $X_e - Y_e$ , pueden calcularse en término de las acciones definidas respecto a los ejes del sistema de referencia  $X - Y$ , mediante la relación:

$$\begin{Bmatrix} P \\ S \\ M \end{Bmatrix} = \begin{bmatrix} \cos \gamma & \text{sen} \gamma & 0 \\ -\text{sen} \gamma & \cos \gamma & 0 \\ 0 & 0 & 1 \end{bmatrix} \begin{Bmatrix} \bar{P} \\ \bar{S} \\ \bar{M} \end{Bmatrix} \quad (2)$$

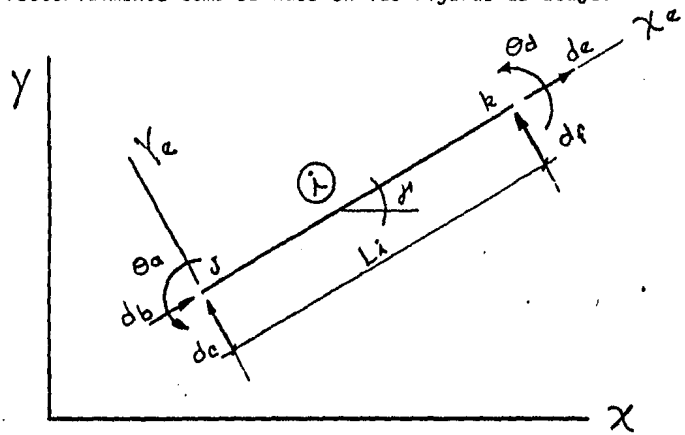
$$\{f_e\} = [T_e] \{F\}$$

Observe que la matriz que cambia el sistema de coordenadas en las ecuaciones anteriores es simplemente la traspuesta de la matriz correspondiente a la ecuación (1).

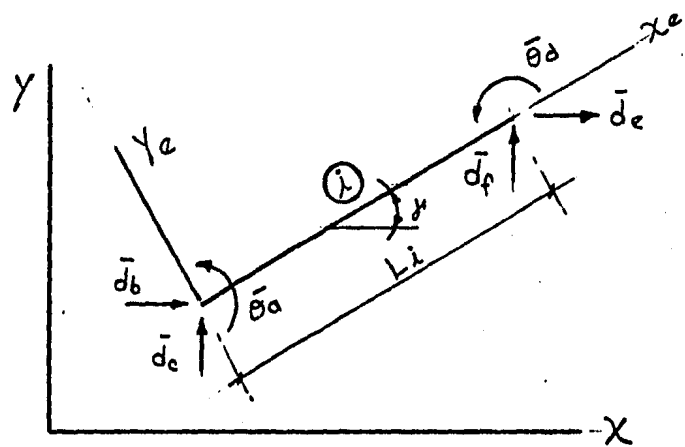
Las componentes generalizadas del desplazamiento de los extremos del elemento también pueden describirse respecto a los ejes de referencia tanto como a los ejes del sistema local en la figura de abajo se identifican las componentes del desplazamiento de los extremos respecto a los ejes del sistema local y del sistema de referencia.



Esta transformación puede parecer más obvia cuando los desplazamientos se expresan vectorialmente como se hace en las figuras de abajo.



SISTEMA LOCAL



SISTEMA GLOBAL

$$\begin{Bmatrix} d\bar{c} \\ d\bar{b} \\ \theta\bar{a} \end{Bmatrix} = \begin{bmatrix} \cos & -\text{sen} & 0 \\ \text{sen} & \cos & 0 \\ 0 & 0 & 1 \end{bmatrix} \begin{Bmatrix} dc \\ db \\ \theta a \end{Bmatrix}$$

$$\delta \{d\bar{e}\}_i = [T_e]_i^T \{de\}_i$$

La relación entre estas componentes del desplazamiento también puede expresarse como

$$\{de\}_i = [T_e]_i \{d\bar{e}\}_i$$

## 5. CARGAS EQUIVALENTES APLICADAS EN LOS NUDOS.

Debido a que las cargas se aplican generalmente en la zona intermedia de los miembros y no pueden satisfacer directamente el requisito, de ser cargas aplicadas en los nudos, para que el método matricial funcione, existe un método que permite resolver el problema que origina una carga distribuida, así como el correspondiente a una carga concentrada intermedia, que consiste en reemplazarla carga por un sistema estáticamente equivalente, de cargas aplicados en los nudos. Estas cargas equivalentes estáticamente deben seleccionarse en tal forma que el desplazamiento resultante en los nudos de la estructura sea igual al desplazamiento que experimentan bajo la acción de la carga real. El desplazamiento que otros puntos de la estructura experimentan al actuar el sistema equivalente de cargas aplicadas en los nudos, no debe ser necesariamente igual al desplazamiento producido por la carga real distribuida.

En términos de las acciones de empotramiento asociadas con una carga intermedia específica, puede definirse un sistema de cargas aplicadas en los nudos, que es equivalente estáticamente a la carga mencionada.

Este análisis puede ser considerado como la superposición de:

(1) el análisis de la estructura suponiendo que todos sus nudos están restringidos (esta se denomina la estructura restringida) y que la solicitan las cargas aplicadas; y (2) el análisis de la estructura original bajo la acción del sistema equivalente de cargas aplicadas en los nudos. Si todos los nudos de la estructura están restringidos, - es decir, fijos o empotrados, las acciones restrictivas que se desarrollan en los extremos de los elementos por la acción de la carga aplicada se denominan acciones de empotramiento. Estas acciones mantienen en los extremos la condición de desplazamiento nulo y con la carga aplicada definen el equilibrio estático del elemento. Conocidas las acciones de empotramiento para los diversos elementos que componen la estructura, las reacciones de los apoyos, de la estructura restringida, se calculan superponiendo las acciones que corresponden a cada nudo intermedio. Esto constituye el análisis de la estructura restringida.

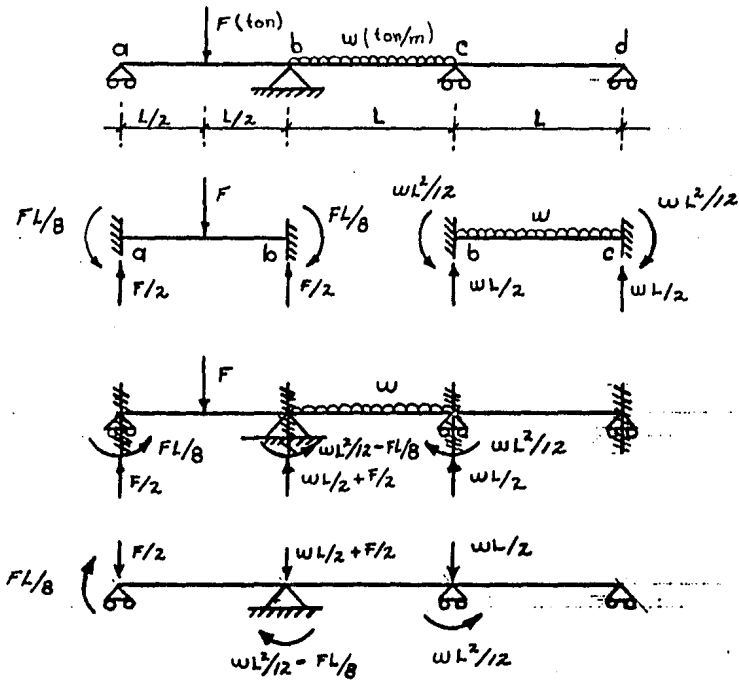
Si se invierte la dirección de las reacciones de los apoyos de la estructura restringida, se define un sistema de acciones que es equivalente estáticamente a las cargas aplicadas a los miembros. Si se reemplazan las cargas originales por este sistema equivalente de cargas aplicadas en los nudos, se puede utilizar el método de rigideces que considera a los elementos en el análisis de la estructura original.

La solución final, es la suma de las dos soluciones descritas anteriormente, la que corresponde a los elementos calculados al analizar la estructura original sometida a la acción de las cargas equivalentes aplicadas en los nudos, y las acciones de empotramiento.

Frecuentemente se requiere analizar una estructura bajo la influencia de una perturbación distinta a las fuerzas aplicadas, por ejemplo, - temperatura, pretensado o errores de fabricación. Si la perturbación actúa sobre todo un elemento o en algún punto intermedio, esta puede escribirse en términos de un sistema equivalente de cargas aplicadas en los nudos lo que facilita la utilización del método de Rigideces - que considera a los elementos. Como en el caso anterior el sistema - equivalente de cargas aplicadas en los nudos será igual a las acciones de empotramiento, con sentido invertido, correspondientes a la perturbación aplicada al elemento.

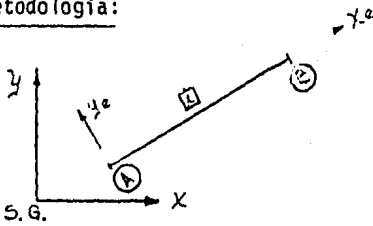
Por tanto cualquier perturbación cuyo punto de aplicación sea distinto de los extremos de un elemento, puede remplazarse mediante un sistema equivalente de cargas aplicadas en los nudos, que es igual a las acciones de empotramiento correspondientes pero con sentido invertido.

Ejemplo ilustrativo:





6. Metodología:



$$EI = \text{cte}$$

$$EA = \text{cte}$$

Dadas las características físicas y geométricas de la barra  $i$  que se muestra en la figura de arriba, el primer punto del método consiste en obtener la matriz acoplada de esta como se explicó anteriormente, de acuerdo al sistema local de ejes coordenados cuyo eje  $x_e$  coincide con el eje de la barra, de modo que tenemos.

$$[K_e] = \begin{bmatrix} [K_{AA}]_e & [K_{AB}]_e \\ [K_{BA}]_e & [K_{BB}]_e \end{bmatrix}$$

Por otro lado también se explicó en transformación de las acciones y desplazamientos de los extremos las siguientes relaciones.

$$(S.G.) \left\{ \begin{array}{l} \{F\} = [Te]^T \{fe\} \dots (1) \\ \{d\} = [Te]^T \{de\} \dots (2) \end{array} \right\} (S.L.)$$

$$(S.L.) \left\{ \begin{array}{l} \{fe\} = [Te] \{F\} \dots (3) \\ \{de\} = [Te] \{d\} \dots (4) \end{array} \right\} (S.G.)$$

Además por ley de Hooke, tenemos:

$$\{fe\} = [Ke] \{de\} \quad (S.L.)$$

$$\{F\} = [K] \{d\} \quad (S.G)$$

Multiplicamos la primera ecuación por  $[Te]^T$

$$[Te]^T \{fe\} = [Te]^T [Ke] \{de\} \quad \dots \quad (5)$$

Sustituimos (2) y (3) en (5)

$$F = [Te]^T [Ke] [Te] \{d\}$$

Donde asignaremos:

$$[K] = [Te]^T [Ke] [Te]$$

$$(S.G) \quad (S.L.)$$

Esta ecuación es valida para cualquier pareja de indices, por lo tanto:

$$[K_{AA}] = [Te]^T [K_{AA}]_e [Te]$$

$$[K_{AB}] = [Te]^T [K_{AB}]_e [Te]$$

$$[K_{BA}] = [Te]^T [K_{BA}]_e [Te]$$

$$[K_{BB}] = [Te]^T [K_{BB}]_e [Te]$$

Desarrollando lo anterior tenemos:

$$[Te]^T [K_{AA}]e [Te]$$

$$\begin{bmatrix} \cos\theta & -\operatorname{sen}\theta & 0 \\ \operatorname{sen}\theta & \cos\theta & 0 \\ 0 & 0 & 1 \end{bmatrix} \begin{bmatrix} EA/L & 0 & 0 \\ 0 & 12EI/L^3 & 6EI/L^2 \\ 0 & 6EI/L^2 & 4EI/L \end{bmatrix} \begin{bmatrix} \cos\theta & \operatorname{sen}\theta & 0 \\ -\operatorname{sen}\theta & \cos\theta & 0 \\ 0 & 0 & 1 \end{bmatrix}$$

$$\begin{bmatrix} \frac{EA}{L} \cos^2\theta + \frac{12EI}{L^3} \operatorname{sen}^2\theta & \frac{EA}{L} \cos\theta \operatorname{sen}\theta - \frac{12EI}{L^3} \operatorname{sen}\theta \cos\theta & -\frac{6EI}{L^2} \operatorname{sen}\theta \\ \frac{EA}{L} \operatorname{sen}\theta \cos\theta - \frac{12EI}{L^3} \cos\theta \operatorname{sen}\theta & \frac{EA}{L} \operatorname{sen}^2\theta + \frac{12EI}{L^3} \cos^2\theta & \frac{6EI}{L^2} \cos\theta \\ -\frac{6EI}{L^2} \operatorname{sen}\theta & \frac{6EI}{L^2} \cos\theta & \frac{4EI}{L} \end{bmatrix}$$

Para  $[K_{AB}]$  GLOBAL

$$\begin{bmatrix} \cos\theta & -\operatorname{sen}\theta & 0 \\ \operatorname{sen}\theta & \cos\theta & 0 \\ 0 & 0 & 1 \end{bmatrix} \begin{bmatrix} -\frac{EA}{L} & 0 & 0 \\ 0 & -\frac{12EI}{L^3} & \frac{6EI}{L^2} \\ 0 & -\frac{6EI}{L^2} & \frac{2EI}{L} \end{bmatrix} \begin{bmatrix} \cos\theta & \operatorname{sen}\theta & 0 \\ -\operatorname{sen}\theta & \cos\theta & 0 \\ 0 & 0 & 1 \end{bmatrix}$$

$$\begin{bmatrix}
 -\frac{EA}{L} \cos^2 \theta - \frac{12EI}{L^3} \sin^2 \theta & -\frac{EA}{L} \cos \theta \operatorname{sen} \theta + \frac{12EI}{L^3} \operatorname{sen} \theta \cos \theta & -\frac{6EI}{L^2} \operatorname{sen} \theta \\
 -\frac{EA}{L} \operatorname{sen} \theta \cos \theta + \frac{12EI}{L^3} \cos \theta \operatorname{sen} \theta & -\frac{EA}{L} \operatorname{sen}^2 \theta + \frac{12EI}{L^3} \cos^2 \theta & \frac{6EI}{L^2} \cos \theta \\
 \frac{6EI}{L^2} \operatorname{sen} \theta & -\frac{6EI}{L^2} \cos \theta & \frac{2EI}{L}
 \end{bmatrix}$$

Para  $[K_{BA}]$  GLOBAL

$$\begin{bmatrix}
 \cos \theta & -\operatorname{sen} \theta & 0 \\
 \operatorname{sen} \theta & \cos \theta & 0 \\
 0 & 0 & 1
 \end{bmatrix}$$

$$\begin{bmatrix}
 -\frac{EA}{L} & 0 & 0 \\
 0 & -\frac{12EI}{L^3} & -\frac{6EI}{L^2} \\
 0 & \frac{6EI}{L^2} & \frac{2EI}{L}
 \end{bmatrix}$$

$$\begin{bmatrix}
 \cos \theta & \operatorname{sen} \theta & 0 \\
 -\operatorname{sen} \theta & \cos \theta & 0 \\
 0 & 0 & 1
 \end{bmatrix}$$

$$\begin{bmatrix}
 -\frac{EA}{L} \cos^2 \theta - \frac{12EI}{L^3} \sin^2 \theta & -\frac{EA}{L} \operatorname{sen} \theta \cos \theta + \frac{12EI}{L^3} \operatorname{sen} \theta \cos \theta & \frac{6EI}{L^2} \operatorname{sen} \theta \\
 -\frac{EA}{L} \operatorname{sen} \theta \cos \theta + \frac{12EI}{L^3} \cos \theta \operatorname{sen} \theta & -\frac{EA}{L} \operatorname{sen}^2 \theta - \frac{12EI}{L^3} \cos^2 \theta & -\frac{6EI}{L^2} \cos \theta \\
 -\frac{6EI}{L^2} \operatorname{sen} \theta & \frac{6EI}{L^2} \cos \theta & \frac{2EI}{L}
 \end{bmatrix}$$

Para  $[K_{BB}]$  GLOBAL

$$\begin{bmatrix} \cos\theta & -\operatorname{sen}\theta & 0 \\ \operatorname{sen}\theta & \cos\theta & 0 \\ 0 & 0 & 1 \end{bmatrix} \begin{bmatrix} \frac{EA}{L} & 0 & 0 \\ 0 & \frac{12EI}{L^3} - \frac{6EI}{L^2} & \\ 0 & -\frac{6EI}{L^2} & \frac{4EI}{L} \end{bmatrix} \begin{bmatrix} \cos\theta & \operatorname{sen}\theta & 0 \\ -\operatorname{sen}\theta & \cos\theta & 0 \\ 0 & 0 & 1 \end{bmatrix}$$

$$\begin{bmatrix} \frac{EA}{L} \cos^2\theta + \frac{12EI}{L^3} \operatorname{sen}^2\theta & \frac{EA}{L} \cos\theta \operatorname{sen}\theta - \frac{12EI}{L^3} \operatorname{sen}\theta \cos\theta & -\frac{6EI}{L^2} \operatorname{sen}\theta \\ \frac{EA}{L} \operatorname{sen}\theta \cos\theta - \frac{12EI}{L^3} \cos\theta \operatorname{sen}\theta & \frac{EA}{L} \operatorname{sen}^2\theta + \frac{12EI}{L^3} \cos^2\theta & -\frac{6EI}{L^2} \cos\theta \\ +\frac{6EI}{L^2} \operatorname{sen}\theta & -\frac{6EI}{L^2} \cos\theta & \frac{4EI}{L} \end{bmatrix}$$

A continuación y mediante el ensamble de matrices, se suman las matrices acopladas que se obtuvieron de acuerdo al sistema global de ejes - coordenados, para todas y cada una de las barras y así obtener la matriz de rigidez de la estructura para con ella resolver la ecuación - característica del método.

$$\begin{array}{ccccc} \{F\} & = & [K] & \{d\} \\ \text{(S.G.)} & & \text{(S.G.)} & \text{(S.G.)} \end{array}$$

Luego para obtener el vector de desplazamientos para cada barra de acuerdo al sistema local de ejes coordenados utilizamos la siguiente ecuación:

$$\{de\} = [Te] \{d\}$$

Una vez obtenido el vector de desplazamientos encontramos el vector de fuerzas para cada barra de acuerdo al mismo sistema local de ejes coordenados de acuerdo a la siguiente ecuación:

$$\{fe\} = [Ke] \{de\}$$

Para comprobar la solución, la suma de fuerzas en cada uno de los nudos (fuerza axial, cortante y momento flexionante) de acuerdo al sistema global de ejes coordenados deberá ser igual a cero entonces primero obtenemos el vector de fuerzas, para el sistema global

$$\{F\} = [Te]^T \{fe\}$$

Y luego sumamos en cada nudo las fuerzas correspondientes.

$$\Sigma\{Fx\} = 0$$

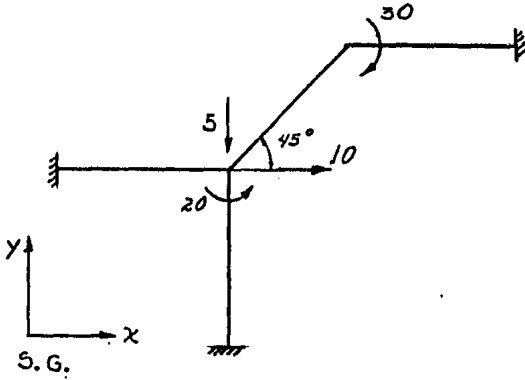
$$(S.G.) \Sigma\{Fy\} = 0 \quad \text{para el nudo } i$$

$$\Sigma\{M\} = 0$$

Lo anterior sólo es válido para cuando las fuerzas exteriores están aplicadas en los nudos, pero cuando se tienen cargas intermedias, - se deberá transformar estas cargas por cargas equivalentes aplicadas en los nudos se les cambia sentido y se resuelve la estructura. A la solución, se deben sumar las cargas equivalentes aplicadas en los nudos con sus sentidos originales.

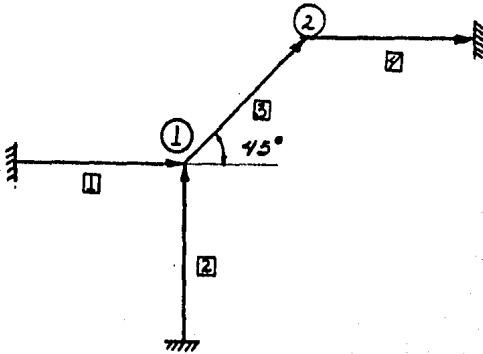
Para entender mejor lo anterior desarrollaremos un ejemplo completo y luego lo solucionaremos por medio del programa.

Ejemplo ilustrativo:



- $L = 3 \text{ m}$
- $E = \text{cte}$
- $I = \text{cte}$
- $A = 50 I$

En primer lugar se numeran todas y cada una de las barras al igual que todos y cada uno de los nudos encerrando estos en un cuadro o círculo respectivamente, así como se les asigna un sentido a todas y cada una de las barras por lo tanto nos queda de la siguiente manera.





Además le asignamos la letra A al inicio de la barra y la letra B al final. Luego entonces por ensamble de matrices, sumaremos las matrices acopladas de cada barra de acuerdo a la interrelación que hay entre nudos y barras.

Nudos /Nudo

$$\begin{array}{c} \textcircled{1} \\ \textcircled{2} \end{array} \left[ \begin{array}{cc} \textcircled{1} & \textcircled{2} \\ [K_{BB}]_1 + [K_{AA}]_3 & [K_{AB}]_3 \\ [K_{BA}]_3 & [K_{BB}]_3 + [K_{AA}]_4 \end{array} \right]$$

Todo lo anterior para el S.G., por lo tanto las matrices acopladas que corresponden a este sistema son las siguientes.

$$[K_{BB}]_1 = \begin{bmatrix} 16.67 & 0 & 0 \\ 0 & 0.444 & -0.667 \\ 0 & -0.667 & 1.333 \end{bmatrix}$$

$$[K_{BB}]_2 = \begin{bmatrix} 0.444 & 0 & 0.667 \\ 0 & 16.67 & 0 \\ 0.667 & 0 & 1.333 \end{bmatrix}$$

$$[K_{AA}]_3 = \begin{bmatrix} 8.556 & 8.111 & -0.471 \\ 8.111 & 8.556 & 0.471 \\ -0.471 & 0.471 & 1.333 \end{bmatrix}$$

$$[K_{BB}]_3 = \begin{bmatrix} 8.556 & 8.111 & 0.471 \\ 8.111 & 8.556 & -0.471 \\ 0.471 & -0.471 & 1.333 \end{bmatrix}$$

$$[K_{AB}]_3 = \begin{bmatrix} 8.556 & -8.111 & 0.471 \\ -8.8111 & -8.556 & -0.471 \\ 0.471 & -0.471 & 0.667 \end{bmatrix}$$

$$[K_{BA}]_3 = \begin{bmatrix} 8.556 & -8.111 & -0.471 \\ -8.111 & -8.556 & 0.471 \\ -0.471 & 0.471 & 0.667 \end{bmatrix}$$

Y haciendo la correspondiente suma tenemos:

1.667	0.000	0.000	-8.556	-8.111	-0.471
0.444	0.000	0.667			
<u>8.556</u>	<u>8.111</u>	<u>-0.471</u>			
25.667	8.111	0.196			
0.000	0.444	-0.667	-8.111	-8.556	0.471
0.000	16.667	0.000			
<u>8.111</u>	<u>8.556</u>	<u>0.471</u>			
8.111	25.667	-0.196			
0.000	-0.667	1.333	0.471	-0.471	0.667
0.667	0.000	1.333			
<u>-0.471</u>	<u>0.471</u>	<u>1.333</u>			
0.196	-0.196	4.000			
-8.556	-8.111	0.471	16.670	0.000	0.000
			<u>8.556</u>	<u>8.111</u>	<u>0.471</u>
			25.222	8.111	0.471
-8.111	-8.556	-0.471	0.000	0.444	0.667
			<u>8.111</u>	<u>8.556</u>	<u>-0.471</u>
			8.111	9.000	0.196
-0.471	0.471	0.667	0.000	0.667	1.333
			<u>0.471</u>	<u>-0.471</u>	<u>1.333</u>
			0.471	0.196	2.667

De modo que el sistema de ecuaciones para el (S.G.) es el siguiente:

$$\{F\} = [K] \{d\}$$

$$\begin{Bmatrix} 10 \\ -5 \\ 20 \\ 0 \\ 0 \\ -30 \end{Bmatrix} = \begin{bmatrix} 25.667 & 8.111 & 0.196 & -8.556 & -8.111 & -0.471 \\ 8.111 & 25.666 & -0.196 & -8.111 & -8.556 & 0.471 \\ 0.196 & -0.196 & 4.000 & 0.471 & -0.471 & 0.667 \\ 8.556 & -8.111 & -0.471 & 25.222 & 8.111 & 0.471 \\ -8.111 & -8.556 & -0.471 & 8.111 & 9.000 & 0.196 \\ -0.471 & 0.471 & 0.667 & 0.471 & 0.196 & 2.667 \end{bmatrix} \begin{Bmatrix} d_{1x} \\ d_{1y} \\ M_1 \\ d_{2x} \\ d_{2y} \\ M_2 \end{Bmatrix}$$

Cuya solución para (S.G.) es la siguiente.

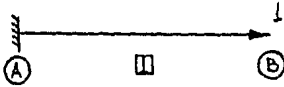
$$\left. \begin{array}{l} d_{1x} = 0.4072 \\ d_{1y} = 0.4629 \\ M_1 = 7.4066 \end{array} \right\} \{d\}_1 \quad \text{Nudo 1}$$

$$\left. \begin{array}{l} d_{2x} = 0.1144 \\ d_{2y} = 1.5924 \\ M_2 = 13.2088 \end{array} \right\} \{d\}_2 \quad \text{Nudo 2}$$

Luego entonces los elementos mecánicos para cada barra de acuerdo al (S.L.) son los siguientes:

Para la barra **1** y de transformación de desplazamientos tenemos:

$$(de) = [Te] (d)$$



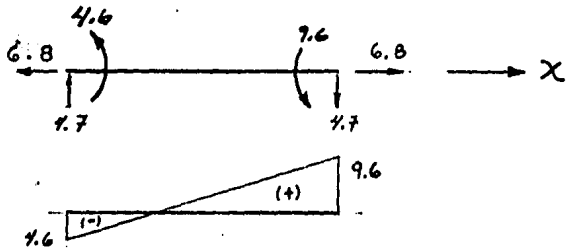
$$[Te] \quad (d)_0$$
$$\begin{bmatrix} 1 & 0 & 0 \\ 0 & 1 & 0 \\ 0 & 0 & 1 \end{bmatrix} \begin{Bmatrix} 0 \\ 0 \\ 0 \end{Bmatrix} = \begin{Bmatrix} 0 \\ 0 \\ 0 \end{Bmatrix}$$

$$[T] \quad (d)_1$$
$$\begin{bmatrix} 1 & 0 & 0 \\ 0 & 1 & 0 \\ 0 & 0 & 1 \end{bmatrix} \begin{Bmatrix} 0.4072 \\ 0.4629 \\ 7.4066 \end{Bmatrix} = \begin{Bmatrix} 0.4072 \\ 0.4629 \\ 7.4066 \end{Bmatrix}$$

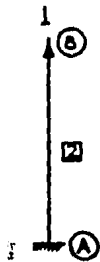
Luego entonces los elementos mecánicos serán:

$$(fe)_1 = [Ke]_1 (de)_1$$

$$\begin{bmatrix}
 16.670 & 0 & 0 & -16.670 & 0 & 0 \\
 0 & 0.444 & 0.667 & 0 & -0.444 & 0.667 \\
 0 & 0.667 & 1.333 & 0 & -0.667 & 0.667 \\
 -16.670 & 0 & 0 & 16.670 & 0 & 0 \\
 0 & -0.444 & -0.667 & 0 & 0.444 & -0.667 \\
 0 & 0.667 & 0.667 & 0 & -0.667 & 1.333
 \end{bmatrix}
 \begin{Bmatrix}
 0 \\
 0 \\
 0 \\
 0.4072 \\
 0.4629 \\
 7.4066
 \end{Bmatrix}
 =
 \begin{Bmatrix}
 -6.8 \\
 4.7 \\
 4.6 \\
 6.8 \\
 -4.7 \\
 9.6
 \end{Bmatrix}$$

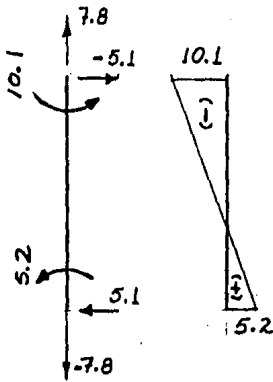


Para la barra **2** haciendo lo mismo



$$(de)_2 = [Te] \{d\}$$

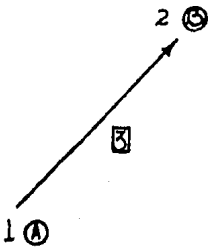
$$[Te] = \begin{bmatrix}
 0 & 1 & 0 \\
 -1 & 0 & 0 \\
 0 & 0 & 1
 \end{bmatrix}
 (de)_2 = \begin{Bmatrix}
 0 \\
 0 \\
 0 \\
 0.4699 \\
 -0.4072 \\
 7.4060
 \end{Bmatrix}$$



$$de : \{fe\} = [Ke] \{de\}$$

$$\{fe\} = \begin{Bmatrix} -7.8 \\ 5.1 \\ 5.2 \\ 7.8 \\ -5.1 \\ 10.1 \end{Bmatrix}$$

Para la barra 3



$$\{de\}_3 = [Te] \{d\}$$

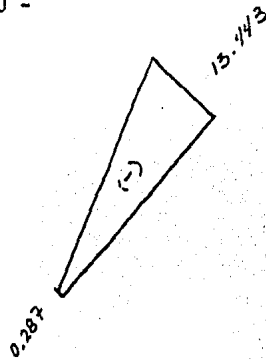
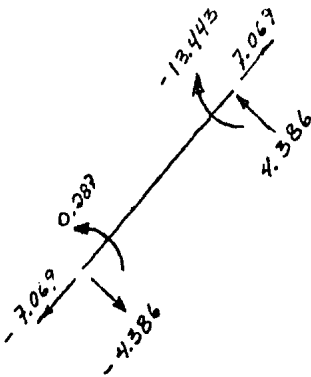
$$[Te] = \begin{bmatrix} 0.7071 & 0.7071 & 0 \\ -0.7071 & 0.7071 & 0 \\ 0 & 0 & 1 \end{bmatrix}$$

$$\{d\} = \begin{Bmatrix} 0.4072 \\ 0.4629 \\ 7.4066 \\ 0.1144 \\ 1.5924 \\ -13.2088 \end{Bmatrix}$$

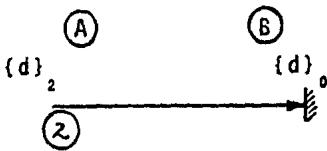
$$\{de\} = \begin{Bmatrix} 0.6602 \\ 0.0443 \\ 7.4066 \\ 1.0451 \\ 1.2069 \\ -13.2088 \end{Bmatrix}$$

$$de : \{fe\} = [Ke] \{de\}$$

$$fe = \begin{Bmatrix} -7.0690 \\ -4.3863 \\ 0.2873 \\ 7.0690 \\ 4.3863 \\ -13.4426 \end{Bmatrix}$$



Para la barra 4



$$\{T_e\} = \begin{bmatrix} 0 & 1 & 0 \\ 1 & 0 & 0 \\ 0 & 0 & 1 \end{bmatrix}$$

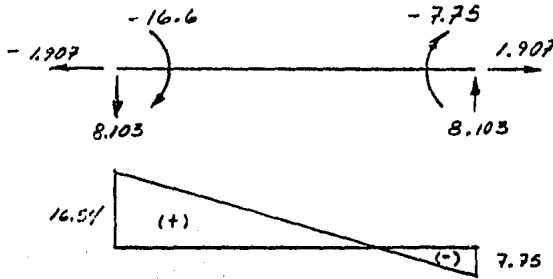
$$\{d_e\} = [T] \{d\}$$

$$\{d_e\} = \begin{Bmatrix} 0.1144 \\ 1.5924 \\ -13.2088 \\ 0 \\ 0 \\ 0 \end{Bmatrix}$$

$$\{f_e\} = [K_e] \{d_e\}$$

$$\{f_e\} = \begin{Bmatrix} -1.9 \\ -8.1 \\ -16.6 \\ 1.9 \\ 8.1 \\ -7.75 \end{Bmatrix}$$





Comprobación.

$$\left. \begin{array}{l} \Sigma F_x = 0 \\ \text{(S.G.) } \Sigma F_y = 0 \\ \Sigma M = 0 \end{array} \right\} \text{ Para cada nudo}$$

Para la barra **1** tenemos el siguiente vector de fuerzas.

$$\{F\} = [Te] \{fe\}$$

$$\{Te\} = \begin{bmatrix} 1 & 0 & 0 \\ 0 & 1 & 0 \\ 0 & 0 & 1 \end{bmatrix} \begin{Bmatrix} 6.8 \\ -4.7 \\ 9.6 \end{Bmatrix} = \begin{Bmatrix} 6.8 \\ -4.7 \\ 9.6 \end{Bmatrix}$$

Para la barra **2**

$$[Te] \{fe\} = \{F\}_1$$

$$\begin{bmatrix} 0 & -1 & 0 \\ 1 & 0 & 0 \\ 0 & 0 & 1 \end{bmatrix} \begin{Bmatrix} 7.8 \\ -5.1 \\ 10.1 \end{Bmatrix} = \begin{Bmatrix} 5.1 \\ 7.8 \\ 10.1 \end{Bmatrix}$$

Para la barra **3**

$$[Te] \{fe\}_1 = \{F\}_1$$

$$\begin{bmatrix} 0.7071 & -0.7071 & 0 \\ +0.7071 & 0.7071 & 0 \\ 0 & 0 & 1 \end{bmatrix} \begin{Bmatrix} -6.4146 \\ -4.3863 \\ 0.2873 \end{Bmatrix} = \begin{Bmatrix} -1.4342 \\ -7.6373 \\ 0.2873 \end{Bmatrix}$$

$$[Te] \{fe\}_2 = \{F\}_2$$

$$\begin{bmatrix} 0.7071 & -0.7071 & 0 \\ +0.7071 & 0.7071 & 0 \\ 0 & 0 & 1 \end{bmatrix} \begin{Bmatrix} 7.1 \\ 4.4 \\ -13.4485 \end{Bmatrix} = \begin{Bmatrix} 1.9070 \\ 8.1000 \\ -13.4485 \end{Bmatrix}$$

Para la barra **4**

$$[Te] \{fe\}_2 = \{F\}_2$$

$$\begin{bmatrix} 1 & 0 & 0 \\ 0 & 1 & 0 \\ 0 & 0 & 1 \end{bmatrix} \begin{Bmatrix} 1.9070 \\ -8.10 \\ -16.55 \end{Bmatrix} = \begin{Bmatrix} -1.9070 \\ -8.1000 \\ -16.5515 \end{Bmatrix}$$

Sumando vectores para el nudo **1**

$$\begin{Bmatrix} 6.8 \\ -4.7 \\ 9.6 \end{Bmatrix} + \begin{Bmatrix} 5.1 \\ 7.8 \\ 10.1 \end{Bmatrix} + \begin{Bmatrix} -1.4342 \\ -7.6373 \\ 0.2873 \end{Bmatrix} = \begin{Bmatrix} 10.4658 \\ -4.5373 \\ 19.9873 \end{Bmatrix} = \begin{Bmatrix} 10 \\ -5 \\ 20 \end{Bmatrix}$$

Sumando vectores para el nudo (2)

$$\begin{Bmatrix} 1.9070 \\ 8.1000 \\ -13.4484 \end{Bmatrix} + \begin{Bmatrix} -1.9070 \\ -8.1000 \\ -16.5515 \end{Bmatrix} = \begin{Bmatrix} 0 \\ 0 \\ -30 \end{Bmatrix}$$

## 7. Manual de uso.

Aspectos generales:

El programa trabaja para marcos en el plano cuyas características deben ser las siguientes:

- Sus apoyos deben de ser completos, es decir, todos sus desplazamientos están restringidos.
- La estructura en general debe carecer de uniones o articulaciones a lo largo de sus elementos o en las uniones entre estos, es decir, en los nudos.
- El área, el momento de inercia, y el módulo de elasticidad - deben ser constantes a lo largo del elemento, pudiendo variar entre los diferentes miembros de la estructura.
- La carga puede estar aplicada en los nudos de la estructura o a lo largo del elemento, a este último se transforman mediante el procedimiento que se explicó anteriormente, por cargas equivalentes aplicadas en los nudos de la estructura.

Codificación de datos:

Para la utilización del programa se utilizan los siguientes -  
formatos de lectura:

1er. Renglón                    Dos campos de cuatro dígitos cada uno, para  
la lectura del número de elementos y del nú-  
mero de nudos de la estructura 0000,0000.

2o. Renglón.                    Dos campos de tres dígitos cada uno para la  
lectura del valor del nudo "A" y del nudo -  
"B" respectivamente, un campo real de seis  
dígitos para la lectura del ángulo de la ba-  
rra con la horizontal debiendo llevar dos -  
decimales:  $\pm$ II.dd. Dos campos exponencia--  
les de once dígitos cada uno para la lectu-  
ra del módulo de elasticidad y el momento -  
de inercia, de los cuales dos dígitos son -  
para el entero, uno para el punto decimal, -  
cuatro para dos decimales, uno para la le-  
tra E, uno para el signo del exponente y --  
dos para el exponente, estos es: -----  
II.dddd E<sup>+</sup>ee. Y por último dos campos de -  
diez dígitos para la lectura del área y de  
la longitud, debiendo llevar cuatro decima-  
les. Como aclaración importante el punto -  
decimal ocupa el lugar de un dígito, esto -  
es: IIIII.dddd.

Siguiente Renglón            Ocho campos de diez dígitos para la lectura  
de las fuerzas aplicadas en los nudos, de-  
biendo llevar cuatro decimales: IIIII.dddd,  
Estos deben llevar el siguiente orden.

↓  
hasta  
 $\frac{N_n}{8}$  = número de nu-  
dos.

1°. Se debe empezar por el nudo de menor denominación, y seguir en orden ascendente.

1°= n, 2°= n+1, 3°= n+2, etc.

2°. Se debe poner en primer lugar el valor correspondiente a la fuerza "x",  $F_x$ , luego a la fuerza "y"  $F_y$ , y luego el valor del momento M del primer nudo y así consecutivamente para el siguiente nudo.

#### Generación de datos:

Para la generación de datos se requiere lo siguiente:

- Número de todos y cada uno de los elementos de las estructuras así como los nudos de ésta; a los apoyos de la estructura se les asigna el número cero.
- Se les asigna una dirección arbitraria a la barra designando como "A" el inicio de la barra y como "B" el final.

De ésta se obtienen los datos necesarios para la codificación valor del nudo "A", nudo "B", ángulo de inclinación con la horizontal  $\theta$ , Módulo de Elasticidad E, momento de inercia I, área de la sección transversal de la barra, y su longitud, y por último, las fuerzas aplicadas en los nudos de la estructura, deben estar proyectadas en dos direcciones ortogonales y un momento.

8. PROGRAMA PARA LA SOLUCIÓN EN EL PLANO DE MARCOS CONSIDERANDO EN ÉSTOS FLEXIÓN Y FUERZA AXIAL.



```

0001 C12345678901234567890
0002 CERRILLAS, JA, DULCIFICION DE BARRAS DE ALUMINIO
0003 DIMENSIONES (100,100),RIG(100),C(100,100),PHER(100)
0004 *S(100,100),K(100),G(100),E(100),P(100)
0005 REAL LONPAR,LOCA,LCU,K,K1
0006 CCALCULO DE LA MATRIZ DE COHERENCIA
0007 OPEN(UNIT=5,FILE='EJEMP.DAT',STATUS='OLD')
0008 READ (*,100)JCLE,NDDU
0009 1000 FORMAT (1,14)
0010 WRITE (5,2000)NDDU,NDDU
0011 2000 FORMAT (/,'JA','NUMERO DE BARRAS =',14,/,10A,'NUMERO DE NOD
0012 *US =',14)
0013 FINNDDU
0014 *NDDU*2
0015 DO 1,141,FIN
0016 DO 1,141,5
0017 1 A(1,1)=0.0
0018 *K(1,1)=0.0
0019 2001 FORMAT (//,25A,'NDDU A',25A,'NDDU B')
0020 WRITE (5,2002)
0021 2002 FORMAT (/,5X,'BARRA',5X,'NDDU A',JA,'NDDU B',5A,'CUBIENDE
0022 *A',JA,'CUBIENDE A',5X,'CUBIENDE A',JA,'CUBIENDE A
0023 * I')
0024 40 READ (5,1001)NPAR,NDDUA,NDDUB,CURAA,CURIA,CUMAB,CUMIB
0025 1001 FORMAT (114,4F8.2)
0026 *K(1,1)=0.2001NPAR,NDDUA,NDDUB,CURAA,CURIA,CUMAB,CUMIB
0027 2003 FORMAT (//,5A,14,7A,14,5A,14,4(7A,4F8.2))
0028 LCA=CUMAB-CURAA
0029 LCB=CUMIB-CURIA
0030 LCP=PAR*(LCA**2.0+LCB**2.0)
0031 IF (LCA.EQ.0)GO TO 5
0032 U=LCA/LONPAR
0033 GU=10/10
0034 5 U1=0.0
0035 10 IF (LCB.EQ.0)GO TO 15
0036 U2=LCB/LONPAR
0037 GU=10/20
0038 15 U2=0.0
0039 20 IF (NDDUA.EQ.0)GO TO 25
0040 I=NDDUA+(NDDUA-1)
0041 J=NDDUA+NDDUA
0042 A(NPAR,1)=1.0
0043 A(NPAR,J)=1.0
0044 25 IF (NDDUB.EQ.0)GO TO 30
0045 I=NDDUB+(NDDUB-1)
0046 J=NDDUB+NDDUB
0047 A(NPAR,1)=U1
0048 A(NPAR,J)=U2
0049 30 FINNDDU=1
0050 IF (FIN.EQ.0)GO TO 35
0051 GU=10/40
0052 CONTENCION DE LA MATRIZ DE RIGIDEZ K
0053 35 WRITE (6,2011)
0054 2011 FORMAT (A,/,7A,'BARRA',10A,'RIGIDEZ')
0055 READ (5,1002)RIG(1),141,WRLE

```







```

7 0106 204 SUM=0.0
8 0107 DO 111, L=1, 1
9 0108 DO 112, L=1, 1
10 0109 112 SURSUM*(S(L,1)*K(1,L))
11 0110 IF (S(L,1).EQ.0) GO TO 201
12 0111 K(1,1)=F(1)-SUM/S(1,1)
13 0112 GO TO 205
14 0113 204 K(1,1)=0.0
15 0114 205 SUM=0.0
16 0115 111 CONTINUE
17 0116 IF (S(L,1).EQ.0) GO TO 206
18 0117 H(1)=K(1,1)/S(L,1)
19 0118 GO TO 201
20 0119 200 H(L)=0.0
21 0120 201 L=L+1
22 0121 17 SUR=0.0
23 0122 DO 113, L=1, 10
24 0123 113 SURSUM*(L,1)*H(L)
25 0124 IF (S(L,1).EQ.0) GO TO 208
26 0125 H(L)=H(L)-SUR/S(L,1)
27 0126 GO TO 209
28 0127 208 H(L)=0.0
29 0128 209 L=L+1
30 0129 16 H(L)=0.0 GO TO 16
31 0130 GO TO 17
32 0131 2012 FJRAI (77, 31A, 'AUGO A', 58A, 'AUGO B')
33 0132 WRITE (6, 2011)
34 0133 2011 FJRAI (77, 5A, 'MARIA', 5A, 'EZA, NURMAL', 5A, 'EZA CORTANIE', 5A, 'MUM,
35 0134 'EFLAIONA', 5A, 'EZA, KURNAN', 5A, 'EZA, CORTANIE', 5A, 'MUM, EFLAION
36 0135 'A', 5A)
37 0136 CONSTRUCCION DE LOS DESPLAZAMIENTOS Y DE LOS ELEMENTOS MECANICOS DINERICA LOCAL
38 0137 DO 114, L=1, 64
39 0138 U=DA(L,3)
40 0139 IF (U.EQ.0) GO TO 15
41 0140 L=U+1
42 0141 IF (DA(L,1).EQ.0) GO TO 19
43 0142 J=DA(L,1)-1)*3+1
44 0143 K=1
45 0144 DO 115, K=1, 3
46 0145 G(L,K)=0.0
47 0146 DO 116, L=1, 3
48 0147 G(L,K)=1*(U,0)*G(L,K)+U(L,K)
49 0148 116 J=J+1
50 0149 U=U+1
51 0150 115 K=K+1
52 0151 GO TO 20
53 0152 16 IF (DA(L,1).EQ.0) GO TO 21
54 0153 J=(DA(L,1)-1)*3+1
55 0154 DO 117, K=1, 3
56 0155 G(L,K)=0.0
57 0156 117 J=J+1
58 0157 GO TO 22
59 0158 19 DO 118, K=1, 3
60 0159 118 G(L,K)=0.0

```



ARCUSBNAIN

30-JAN-1985 14:40:11  
30-JAN-1985 14:33:13

ARC-11 PUNCH 13.304  
DIBANLCPA11110CL200200100110005200119

```

0270 110 PUNCH(10,110,111,111,111)
0271 114 AR1E (0,2010)1,(F110),021,0)
0278 2010 PUNCH(177,0A,13,5A,F11.5,5A,F13.5,5A,F16.5,7A,F11.5,5A,F13.5,5A,F
0279 116.5)
0280 AR1E (0,2010)
0281 2014 PUNCH(177,22A,'NDDU A','NIA','NDDU N')
0282 AR1E (0,2015)
0283 2015 PUNCH(177,5A,'DARNA',5X,'DESPL',A',5A,'DESPL',Y',5A,'DIRU',10A,'D
0284 'ARND',A',5A,'DESPL',1',5A,'DIRU')
0285 11=1
0286 00 301,121,HELE
0287 11=(1-1)*0+1
0288 301 AR1E (0,2013)1,(D110),0211,11*5)
0289 2013 PUNCH(177,0A,13,5A,E11.5,5A,E11.4,3X,E11.4,0A,E11.4,5A,
0290 *E11.4,2X,F11.4)
0291 CALL EXIT
0292 END

```

PROGRAM SECTIONS

NAME	BYTES	ATTRIBUTES
0 SCLDL	3447	PIC CUN HEL BCL SHR EAE ND NDK1 DUNG
1 SCLATA	575	PIC CUN HEL BCL SHR NDEAE ND NDK1 DUNG
2 SCLCAL	8572	PIC CUN HEL BCL NUSHR NDEAE ND ART DUNG
TOTAL SPACE ALLOCATED	89734	

ENTRY POINTS

ADDRESS	TYPE	NAME
0-00000000		ARCUSBNAIN

VARIABLES

ADDRESS	TYPE	NAME	ADDRESS	TYPE	NAME	ADDRESS	TYPE	NAME	ADDRESS	TYPE	NAME
2-000141E4	K*4	AREA	2-000140E0	K*4	EE	2-000140C0	K*4	FIN	2-000140F4	1*4	I
2-000141E0	1*4	J1	2-000140D8	K*4	I1	2-000140D0	1*4	J	2-000140C8	1*4	J1
2-000140F8	1*4	A	2-000140D4	K*4	A1	2-000140C4	K*4	N2	2-000140D4	1*4	A3
2-000140D4	K*4	N4	2-000140D0	1*4	L	2-000140C0	K*4	DUNG	2-000140E4	1*4	A
2-000140D0	1*4	N	2-000140D8	1*4	N1	2-000140E0	1*4	N2	2-000140C0	1*4	K*4 C
2-000140C4	1*4	GROUP	2-000140D4	1*4	GROUP	2-000140E8	1*4	GROUP	2-000140C0	K*4	U
2-000140D8	K*4	V	2-000140E8	K*4	M	2-000140E4	K*4	SUM			



```

0001  SUBROUTINE M111(A,K2,P1,K4,K5)
0002  REAL K(3,3),K1,K2,K3,A*
0003  DO 1,I=1,3
0004  DO 1,J=1,3
0005  1 K(1,J)=0.0
0006  K(1,1)=A1
0007  K(2,2)=A2
0008  K(2,3)=A3
0009  K(3,4)=A3
0010  K(3,3)=A4
0011  RETURN
0012  END
    
```

PROGRAM SECTIONS

NAME	BYTES	ATTRIBUTES
0 SCODE	96	PIC COM REL LCC SHR EAE RD RUNRI DUND
2 BLOCAL	28	PIC COM REL LCC NUSHR NURAE RD MRI DUND
TOTAL SPACE ALLOCATED	122	

ENTRY POINTS

ADDRESS	TYPE	NAME
0-00000000		KIG1

VARIABLES

ADDRESS	TYPE	NAME	ADDRESS	TYPE	NAME	ADDRESS	TYPE	NAME	ADDRESS	TYPE	NAME
2-00000000	I*4	I	2-00000004	I*4	J	AP-00000004H	R*4	K1	AP-00000008H	R*4	K2
AP-0000000Ch	R*4	FJ	AP-00000010h	R*4	K4						

ARRAYS

ADDRESS	TYPE	NAME	BYTES	DIMENSIONS
AP-00000014h	R*4	K5	36	(3, 3)

LABELS

ADDRESS	LABEL
0-0000001h	1

```

0001 SUBROUTINE RIGZ(K1,K2,K3,K4)
0002 READ R(3,3),K1,K2,K3,K4
0003 DO 1,J=1,3
0004 DO 1,I=1,3
0005   I R(1,I)=0,0
0006   K(1,1)=K1
0007   K(1,2)=K2
0008   K(2,2)=K3
0009   K(3,1)=K4
0010   K(3,3)=K4
0011 RETURN
0012 END
    
```

PROGRAM SECTIONS

NAME	BYTES	ATTRIBUTES
0 SCODE	94	PIC CUN REL LCH ORG EAF NO RUMRI DUNG
2 BLUCAL	28	PIC CUN REL LCH NUNAK NULAK NO NRI DUNG
TOTAL SPACE ALLOCATED	122	

ENTRY POINTS

ADDRESS	TYPE	NAME
0-00000000		RIGZ

VARIABLES

ADDRESS	TYPE	NAME	ADDRESS	TYPE	NAME	ADDRESS	TYPE	NAME	ADDRESS	TYPE	NAME
2-00000000	R*4	I	2-00000004	R*4	J	AP-00000008	R*4	K1	AP-0000000C	R*4	K2
AP-0000000C	R*4	K3	AP-00000010	R*4	K4						

ARRAYS

ADDRESS	TYPE	NAME	BYTES	DIMENSIONS
AP-00000014	R*4	K5	36	(3, 3)

LABELS

ADDRESS	LABEL
0-00000016	I



```

0001 SUBROUTINE RIG(0),R7,R1,R2,R3,R4)
0002 REAL R8(3,3),R1,R2,R3,R4
0003 DIMENSION U(3,141592653/100)
0004 A=U(0)
0005 B=COS(U)
0006 R8(1,1)=R1*(B**2)+R2*(A**2)
0007 R8(1,2)=R1*A*B-A**2*B
0008 R8(1,3)=A**3*A
0009 R8(2,1)=R8(1,2)
0010 R8(2,2)=R1*(A**2)+R2*(B**2)
0011 R8(2,3)=R1*A*B
0012 R8(3,1)=R8(1,3)
0013 R8(3,2)=R8(2,3)
0014 R8(3,3)=R4
0015 U=U(0)/3.141592654
0016 RETURN
0017 END
  
```

PROGRAM SECTIONS

NAME	BYTES	ATTRIBUTES
0 SCODE	217	PIC CUN REL LCB SHR EAE NO NUMR NUMS
2 LOCAL	28	PIC CUN REL LCB NUMR NUMEAE NO PRL NUMS
TOTAL SPACE ALLOCATED	265	

ENTRY POINTS

ADDRESS	TYPE	NAME
0-00000000		RIG3

VARIABLES

ADDRESS	TYPE	NAME	ADDRESS	TYPE	NAME	ADDRESS	TYPE	NAME	ADDRESS	TYPE	NAME
2-00000000	R*4	A	2-00000004	R*1	B	AP-00000004	R*4	R1	AP-00000008	R*4	R2
AP-0000000C	R*4	R3	AP-00000010	R*4	R4	AP-00000014	R*4	U			

ARRAYS

ADDRESS	TYPE	NAME	BYTES	DIMENSIONS
AP-00000018	R*4	R8	36	(3, 3)

1  
2  
3 RIGS

30-JAN-1985 19:10:11

00000000000000000000

00000000000000000000

30-JAN-1985 19:12:11

00000000000000000000

FUNCTIONS AND SUBROUTINES REFERENCED

7  
8 TYPE NAME

TYPE NAME

10 R04 MISCUS

R04 MISCIN

9  
10  
11  
12  
13  
14  
15  
16  
17  
18  
19  
20  
21  
22  
23  
24  
25  
26  
27  
28  
29  
30  
31  
32  
33  
34  
35  
36  
37  
38  
39  
40  
41  
42  
43  
44  
45  
46  
47  
48  
49  
50  
51  
52  
53  
54  
55  
56  
57  
58  
59  
60  
61  
62  
63

7  
8  
9  
10  
11  
12  
13  
14  
15  
16  
17  
18  
19  
20  
21  
22  
23  
24  
25  
26  
27  
28  
29  
30  
31  
32  
33  
34  
35  
36  
37  
38  
39  
40  
41  
42  
43  
44  
45  
46  
47  
48  
49  
50  
51  
52  
53  
54  
55  
56  
57  
58  
59  
60  
61  
62  
63

```

0001 SUBROUTINE F1(U,I)
0002 DIMENSION F(3,3)
0003 DO 1,3 I=1,3
0004 DO 1,3 J=1,3
0005 F(I,J)=0.0
0006 F(I,J)=0.141592654/180
0007 F(I,J)=COS(U)
0008 F(I,J)=SIN(U)
0009 F(I,J)=T(I,J)
0010 F(I,J)=T(I,J)
0011 F(I,J)=0
0012 F(I,J)=0.141592654
0013 RETURN
0014 END
  
```

PROGRAM SECTIONS

NAME	BYTES	ATTRIBUTES
0 SCODE	155	PIC CUN REL LCL DNR EAE NO DNR1 DNR2
2 SLOCAL	28	PIC CUN REL LCL DNR1 DNR2 MD DNR1 DNR2
TOTAL SPACE ALLOCATED	183	

ENTRY POINTS

ADDRESS	TYPE	NAME
0-00000000	I	F1

VARIABLES

ADDRESS	TYPE	NAME	ADDRESS	TYPE	NAME	ADDRESS	TYPE	NAME
2-00000000	I*4	I	2-00000004	I*4	J	AF-00000004	R*4	U

ARRAYS

ADDRESS	TYPE	NAME	BYTES	DIMENSIONS
AF-00000004	R*4	I	16	(3, 3)

T1

30-JAN-1985 19140111  
30-JAN-1985 19132111

VAX-11 FORTRAN V3.0-02 PAGE 13  
DISK:CCCF111K06200,AND1001PARC05,FUN719

LABELS

ADDRESS LABEL

0-0000010 1

FUNCTIONS AND SUBROUTINES REFERENCED

TYPE NAME

TYPE NAME

R04 MINSCOS

R04 4THS610

30-JAN-1985 19:30:11  
30-JAN-1985 19:32:11

VAA-11 PUNIPAN 13.0-04  
DISKCEGAP1111NSCZ00,00011-01 NARC00,000119

PAGE 14

```
0001      SUBROUTINE ESCLD(L2,L1,DL)
0002      DIMENSION DL(62)
0003      DIMENSION J1(6)
0004      I1=I-146+1
0005      DO 1,J=1,6
0006      DL(I)ESD1(J)
0007      1 I=I+1
0008      RETURN
0009      END
```

#### PROGRAM SECTIONS

NAME	BYTES	ATTRIBUTES
0 SCODE	78	PIC CUM REL LCB SHR EAE RD NUMR1 LONG
2 SCICAL	68	PIC CUM REL LCB HUSHR HUPAE RD ART LONG
TOTAL SPACE ALLOCATED	146	

#### ENTRY POINTS

ADDRESS	TYPE	NAME
0-00000000		ESC

#### VARIABLES

ADDRESS	TYPE	NAME	ADDRESS	TYPE	NAME	ADDRESS	TYPE	NAME	ADDRESS	TYPE	NAME
AP-00000000	B*	I	Z-00000000	B*	I1	Z-00000004	B*	J	AP-00000008	B*	I2

#### ARRAYS

ADDRESS	TYPE	NAME	BYTES	DIMENSIONS
AP-00000000	B*	D1	24	(6)
AP-00000010	B*	D2	**	(*)

#### LABELS

ADDRESS	LABEL
0-00000046	1

ESC

30-JAN-1985 17:40:11  
30-JAN-1985 17:42:11

VAX-11 FORTRAN V3.0-02  
DISK6CCEK1111NOU200.DATA VAX11RAC00.FOR719

PROG 19

COMMAND QUALIFIERS

FORTRAN /NOOPTIMIZE/NO MARCH

/CHECK=(NOBUBBLE,OVERFLOW,NOUNDERFLOW)

/DEBUG=(NOSYMBOLS,TRACEBACK)

/STANDARD=(NOBINARY,NOSOURCE,FOR7)

/SHOW=(NOPREPROCESSOR,NOINCLUDE,MAP)

/FT /NOG\_FLOATING /14 /NOOPTIMIZE /MARCHING /NO\_MARCHING /NO\_MACHINE\_CODE /NO\_MACHINE\_CODE

COMPILATION STATISTICS

RUN TIME: 13.98 SECONDS

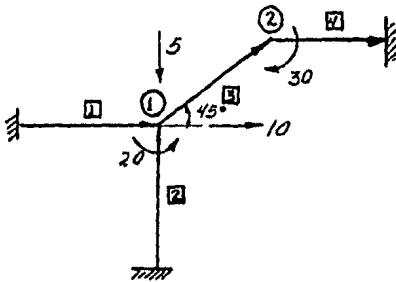
ELAPSED TIME: 40.82 SECONDS

PAGE FAULTS: 2495

DYNAMIC MEMORY: 353 PAGES

Para su mejor entendimiento utilizaremos el ejemplo anterior:

### 8.1 EJEMPLO A



$$L = 3 \text{ mt.}$$

$$E = \text{cte.}$$

$$I = \text{cte.}$$

$$A = 50 I$$

Como se puede observar se tiene cuatro barras y dos nudos y se les designó la dirección que se muestra para cada barra, de modo que la generación de los datos es la siguiente:

Barra	Nudo A	Nudo B	Ang. de Incl.	Modulo Elast.	Moment. Inercia	Area	Longt.
1	0	1	0	cte.	cte.	50.00	3.00
2	0	1	90	cte.	cte.	50.00	3.00
3	1	2	45	cte.	cte.	50.00	3.00
4	2	0	0	cte.	cte.	50.00	3.00

Las fuerzas son las siguientes:

	$F_x = 10.0 \text{ ton.}$		$F_x = 0.0$
Nudo 1	$F_y = -5.0 \text{ ton.}$	Nudo 2	$F_y = 0.00$
	$M = 20.0 \text{ ton-m}$		$M = -30.00 \text{ ton-m}$

De manera que la codificación de los datos es la siguiente:





NUMERO DE BARRAS= 4  
 NUMERO DE NUDOS= 2

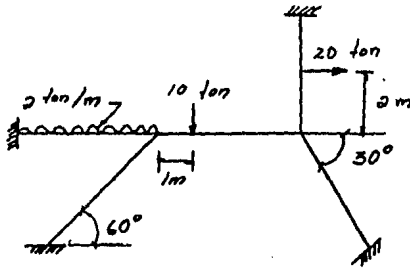
BARRA	NUDO A	NUDO B	ANG. DE INCLINACION	MOD. DE ELAST.	MOM. DE INERCIA	AREA	LONGITUD
1	0	1	0.00	0.1000E+01	0.1000E+01	50.0000	3.0000
2	0	1	90.00	0.1000E+01	0.1000E+01	50.0000	3.0000
3	1	2	45.00	0.1000E+01	0.1000E+01	50.0000	3.0000
4	2	0	0.00	0.1000E+01	0.1000E+01	50.0000	3.0000
10.0000	FUERZAS EXTERIORES		0.0000	0.0000	-30.0000		
	-5.0000	20.0000					

BARRA	NUDO A			NUDO B		
	FZA. NORMAL	FZA. CORTANTE	MOM. FLEXIONANTE	FZA. NORMAL	FZA. CORTANTE	MOM. FLEXIONANTE
1	-6.78043	4.72817	4.82381	6.78043	-4.72817	7.56071
2	-7.82726	5.11771	5.20812	7.82726	-5.11771	10.14502
3	-7.06911	-4.38473	0.29427	7.06911	4.38473	-13.44840
4	-1.89814	-8.09908	-16.55154	1.89814	8.09908	-7.74571

BARRA	NUDO A			NUDO B		
	DESPL. X	DESPL. Y	GIRO	DESPL. X	DESPL. Y	GIRO
1	0.0000	0.0000	0.0000	0.4068	0.4696	7.4054
2	0.0000	0.0000	0.0000	0.4696	-0.4068	7.4054
3	0.6198	0.0444	7.4054	1.0439	1.2050	-13.2087
4	-0.1139	1.5902	-13.2087	0.0000	0.0000	0.0000

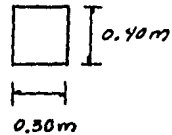
### 8.2 EJEMPLO B

Dada la estructura que se muestra en la figura, encontrar la fuerza normal, fuerza cortante y momento flexionante, para cada elemento de ésta, así como los desplazamientos que sufre la estructura en sus nudos.

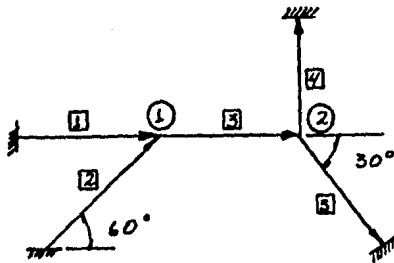


$$L = 4.0 \text{ m}$$

$$E = 1.4 \times 10^6 \text{ ton/m}^2$$



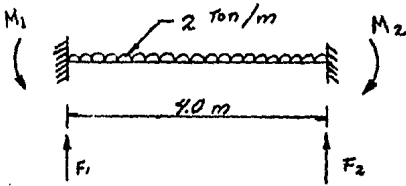
Como primer paso numeramos todos y cada uno de los elementos de la estructura, así como los nudos de ésta, y además le -- asignamos un sentido a cada barra como se muestra en la siguiente figura.



Como se tiene cargas aplicadas a lo largo de los elementos - se transformará primero a cargas aplicadas en los nudos, se resolverá la estructura, y al resultado se le sumará las - fuerzas de emprotamiento de la estructura restringida para - así obtener el resultado final.

Transformación de cargas intermedias a cargas aplicadas en - los nudos. Los momentos y fuerzas de emprotamiento se obtendrán de las tablas que se anexan:

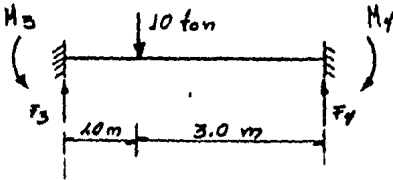
Para la Barra 1



$$M_1 = M_2 = \frac{w l^2}{12} = \frac{2(4)^2}{12} = 2.67 \text{ ton-m}$$

$$F_1 = F_2 = \frac{w l}{2} = \frac{2(4)}{2} = 4 \text{ ton.}$$

Para la barra 3



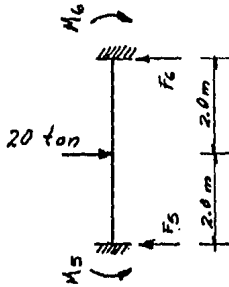
$$M_3 = \frac{P a b^2}{l^2} = \frac{10 (1) (3)^2}{(4)^2} = 5.63 \text{ ton-m}$$

$$M_4 = \frac{P a^2 b}{l^2} = \frac{10 (1)^2 (3)}{(4)^2} = 1.88 \text{ ton-m}$$

$$F_3 = P \left( \frac{b}{l} \right)^2 \left( 1 + 2 \frac{a}{l} \right) = 10 \left( \frac{3}{4} \right)^2 \left( 1 + 2 \frac{1}{4} \right) = 8.44 \text{ ton}$$

$$F_4 = P \left( \frac{a}{l} \right)^2 \left( 1 + 2 \frac{b}{l} \right) = 10 \left( \frac{1}{4} \right)^2 \left( 1 + 2 \frac{3}{4} \right) = 1.56 \text{ ton}$$

Para la barra 4

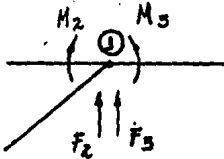


$$M_5 = M_6 = \frac{Pl}{8} = \frac{20(4)}{8} = 10 \text{ ton-m}$$

$$F_5 = F_6 = \frac{P}{2} = \frac{20}{2} = 10 \text{ ton.}$$

Las fuerzas de empotramiento serán las que resulten de sumar vectorialmente las fuerzas en cada nudo.

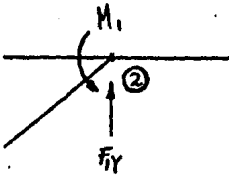
Para el nudo (1)



$$M_1 = -2.67 + 5.63 = 2.96 \text{ ton-m}$$

$$F_{1y} = 4 + 8.44 = 12.44 \text{ ton.}$$

Fuerzas de empotramiento

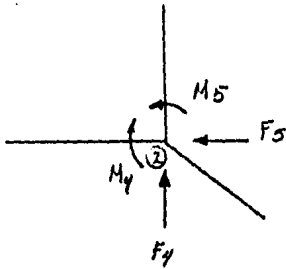


$$F_x = 0.00 \text{ ton.}$$

$$F_y = 12.44 \text{ ton.}$$

$$M = 2.96 \text{ ton-m}$$

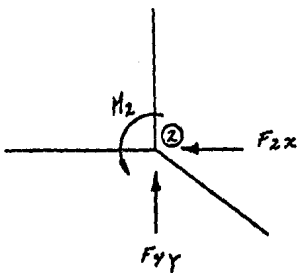
Para el nudo ②



$$M_2 = 10 - 1.88 = 8.12 \text{ ton-m}$$

$$F_{2x} = 10 \text{ ton.}$$

$$F_{2y} = 1.56 \text{ ton.}$$



Fuerzas de empotramiento.

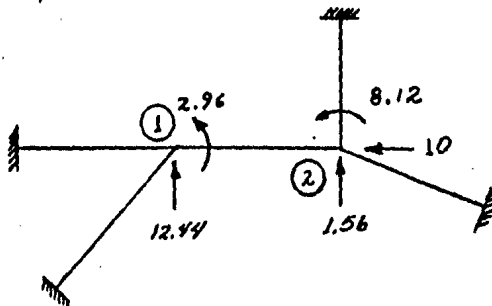
$$F_x = 10 \text{ ton.}$$

$$F_y = 1.56 \text{ ton.}$$

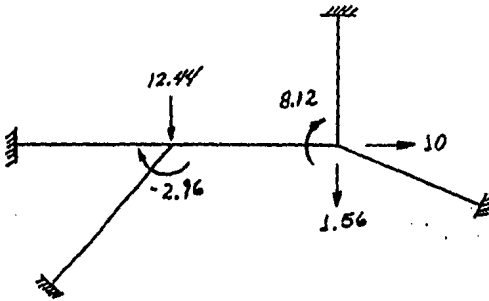
$$M = 8.12 \text{ ton-m}$$

...

De tal manera que la estructura quedará sujeta a las siguientes fuerzas de empotramiento.



Por lo que la estructura deberá resolverse con estas fuerzas pero con sentido contrario.



$$\begin{aligned}
 Fx_1 &= 0.00 \text{ ton.} \\
 Fy_1 &= -12.44 \text{ ton.} \\
 M_1 &= -2.96 \text{ ton-m} \\
 Fx_2 &= 10.00 \text{ ton.} \\
 Fy_2 &= -1.56 \text{ ton.} \\
 M_2 &= -8.12 \text{ ton-m}
 \end{aligned}$$

Y la generación de datos es la siguiente:

Barra	Nudo A	Nudo B	Ang.de Incl.	Modulo Elast.	Moment Inercia	Area	Longt.
1	0.00	1.00	0.00	$1.4 \times 10^6$	$16 \times 10^{-4}$	0.12	4.0
2	0.00	1.00	60.00	$1.4 \times 10^6$	$16 \times 10^{-4}$	0.12	4.0
3	1.00	2.00	0.00	$1.4 \times 10^6$	$16 \times 10^{-4}$	0.12	4.0
4	2.00	0.00	90.00	$1.4 \times 10^6$	$16 \times 10^{-4}$	0.12	4.0
5	2.00	0.00	-30.00	$1.4 \times 10^6$	$16 \times 10^{-4}$	0.12	4.0

Y la codificación de los datos es la siguiente:

1	5	10	15	20	25	30	35	40	45	50	55	60	65	70	75	80
0.005.000.2																
0.00.00.1.000.0	0.000.0	1.000.0	0.700.0	0.700.0	1.600.0	0.200.0	0.00.000.0	1.300.0	0.00.4.00.00							
0.1.6.0.0.0	0.1.1.1.1	0.7.0.1.6	0.2.0.1.2	0.1.2	4.0.0											
1.2.0.0.0.0	0.1.1.1	0.7.0.1.6	0.2.0.1.2	0.1.2	4.0.0											
2.0.9.0.0.0	0.1.1.1	0.7.0.1.6	0.2.0.1.2	0.1.2	4.0.0											
12.0.3.0.0.0	0.1.1.1	0.7.0.1.6	0.2.0.1.2	0.1.2	4.0.0											
0.0000.000.0	1.12.1.1.0.0	2.7.0.0.0.0	1.0.0.0.0.0	1.5.0.0	8.12.0.0											

NUMERO DE BARRAS= 5  
 NUMERO DE VIGAS= 7

BARRA	NUDO A	NUDO B	ANG. DE INCLINACION	MOD. DE ZERRA	MOM. DE INERCIA	AREA	LONGITUD
1	0	1	0,00	0,1400E+01	0,1000E-02	0,1200	4,0000
2	0	1	60,00	0,1400E+01	0,1000E-02	0,1200	4,0000
3	1	2	0,00	0,1400E+01	0,1000E-02	0,1200	4,0000
4	2	0	90,00	0,1400E+01	0,1000E-02	0,1200	4,0000
5	2	0	330,00	0,1400E+01	0,1000E-02	0,1200	4,0000

FUERZAS EXTERNAS  
 0,0000 -12,4400 -2,9000 10,0000 -1,5000 -0,1200

BARRA	NUDO A			NUDO B		
	FZA. NORMAL	FZA. CORTANTE	MOM. FLEXIONANTE	FZA. NORMAL	FZA. CORTANTE	MOM. FLEXIONANTE
1	-8,6007	-0,05855	0,05444	8,6007	0,05855	-0,28062
2	12,8101	-0,08292	0,00570	-12,8101	0,08292	-0,33730
3	-2,14814	-1,30400	-2,33402	2,14814	1,30400	-0,20197
4	1,00415	-1,01635	-2,03820	-1,00415	1,01635	-0,42719
5	8,37030	-0,03716	-2,27983	-8,37030	0,03716	-0,00082

BARRA	NUDO A			NUDO B		
	DESPL. X	DESPL. Y	GIRO	DESPL. X	DESPL. Y	GIRO
1	0,0000E+00	0,0000E+00	0,0000E+00	0,2002E-03	-0,4732E-03	-0,3003E-03
2	0,0000E+00	0,0000E+00	0,0000E+00	-0,3007E-03	-0,4152E-03	-0,3003E-03
3	0,2002E-03	-0,4732E-03	-0,3003E-03	0,2002E-03	0,4000E-04	-0,1001E-02
4	0,4008E-04	-0,2574E-03	-0,1001E-02	0,0000E+00	0,0000E+00	0,0000E+00



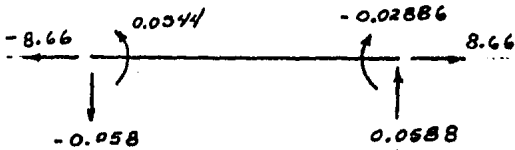
[Faint, illegible text covering the majority of the page, possibly bleed-through from the reverse side.]

1  
2  
3  
4  
5  
6  
7  
8  
9  
10  
11  
12  
13  
14  
15  
16  
17  
18  
19  
20  
21  
22  
23  
24  
25  
26  
27  
28  
29  
30  
31  
32  
33  
34  
35  
36  
37  
38  
39  
40  
41  
42  
43  
44  
45  
46  
47  
48  
49  
50  
51  
52  
53  
54  
55  
56  
57  
58  
59  
60  
61  
62  
63  
64  
65  
66  
67  
68  
69  
70  
71  
72  
73  
74  
75  
76  
77  
78  
79  
80  
81  
82  
83  
84  
85  
86  
87  
88  
89  
90  
91  
92  
93  
94  
95  
96  
97  
98  
99  
100

1  
2  
3  
4  
5  
6  
7  
8  
9  
10  
11  
12  
13  
14  
15  
16  
17  
18  
19  
20  
21  
22  
23  
24  
25  
26  
27  
28  
29  
30  
31  
32  
33  
34  
35  
36  
37  
38  
39  
40  
41  
42  
43  
44  
45  
46  
47  
48  
49  
50  
51  
52  
53  
54  
55  
56  
57  
58  
59  
60  
61  
62  
63  
64  
65  
66  
67  
68  
69  
70  
71  
72  
73  
74  
75  
76  
77  
78  
79  
80  
81  
82  
83  
84  
85  
86  
87  
88  
89  
90  
91  
92  
93  
94  
95  
96  
97  
98  
99  
100

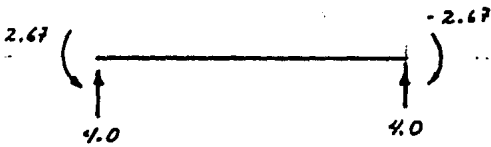
De los datos de la corrida del programa, tenemos, para la primera barra los siguientes elementos mecánicos.

Barra 1



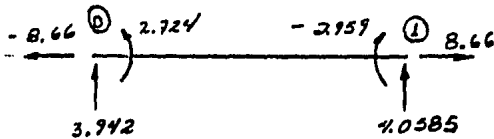
Resultados de la corrida

+

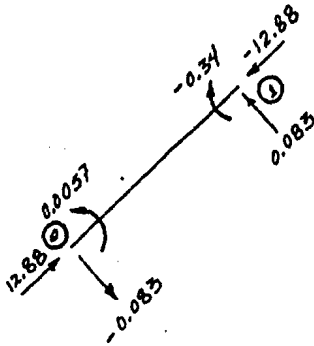


Resultados de empotramiento

=

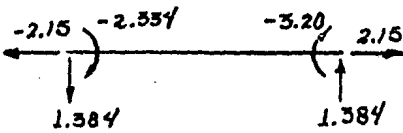


Para la barra 2



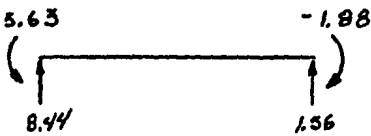
Resultado de la corrida

Para la Barra 3



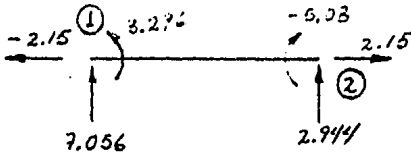
Resultado de la corrida

+

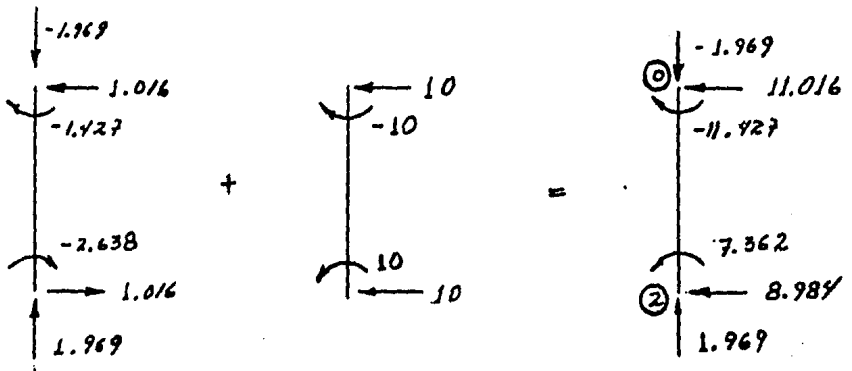


Fuerzas de empotramiento

=



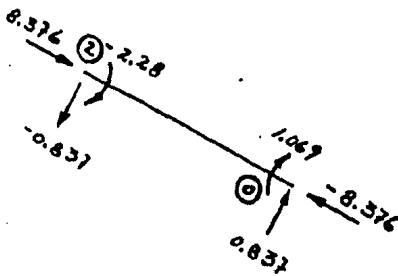
Para la Barra 4



Resultados de la corrida

Fuerzas de empotramiento

Para la barra 5



Resultados de la corrida

Sumando fuerzas en el nudo ①

$$\begin{aligned}\Sigma F_x &= 8.66 - 12.88 \cos 60^\circ - 0.083 \cos 30^\circ - 2.15 \\ &= 0.00188\end{aligned}$$

$$\begin{aligned}\Sigma F_y &= 4.0585 - 12.88 \sin 60^\circ + 0.083 \sin 30^\circ + 7.056 \\ &= 0.00159\end{aligned}$$

$$\Sigma M = -2.959 - 0.34 + 3.296 = 0.003$$

Sumando fuerzas en el nudo ②

$$\begin{aligned}\Sigma F_x &= 2.15 - 8.984 + 8.376 \cos 30^\circ - 0.837 \cos 60^\circ \\ &= 0.0013\end{aligned}$$

$$\begin{aligned}\Sigma F_y &= 2.944 + 1.969 - 8.376 \sin 30^\circ - 0.837 \sin 60^\circ \\ &= 0.00013\end{aligned}$$

$$\begin{aligned}\Sigma M &= 7.362 - 5.08 - 2.28 \\ &= 0.002\end{aligned}$$

A P E N D I C E

### NOMENCLATURA

a, b, c, m, n,	Distancias parciales dentro de la longitud de una viga o marco.
da, db, dc, dx	Deflexión total de una viga o marco en el lugar donde indica el subíndice.
E	Módulo de elasticidad 2,038,990 K/cm <sup>2</sup> para el acero.
f	Peralte de una armadura o marco.
h	Altura de columnas para armaduras o marcos.
Ha-Hb, etc.	Reacción horizontal en apoyos de marcos.
Iab, Ibc, Icd	Momento de inercia de la pieza indicada por el subíndice.
L	Longitud de una viga o armadura entre apoyos.
Ma-Mb-Mc	Momento flexionante actuando en el lugar indicado por el subíndice.
N	Cantidad de fuerzas aplicadas a una viga.
P	Carga concentrada.
Ra, Rb, Rc	Reacción en vigas según el apoyo indicado por el subíndice.
Va, Vv, Vc	Reacción vertical en apoyos de marcos.
W	Carga total, distribuida uniformemente.
w	Carga unitaria distribuida uniformemente.
$\alpha, \mu$	Angulo que forma la cubierta de un techo con la horizontal.
A; B, D, F, G, I, K, N, S, T, $\phi, \psi$	Constantes para cálculo de marcos rígidos. Definidas en cada caso y usadas para simplificar las fórmulas.

6.1. FORMULAS Y DIAGRAMAS PARA VIGAS

		VIGA EMPOTRADA EN UN EXTREMO; LIBRE EN EL OTRO	
CARGA	MOMENTO		
		$M_x = \frac{Wx^2}{2a}$ $M_{max} = \frac{Wa}{2}$	$M_{max} = W\left(a + \frac{b}{2}\right)$
		$R_A = W$	$R_A = W$
		$d_c = \frac{Wa^3}{6EI}$ $d_{max} = \frac{Wa^3}{6EI} \left(1 + \frac{3b}{a}\right)$	$d_{max} = \frac{W(8a^3 + 10ab^2 + 12b^3 + 3b^3)}{24EI}$
CARGA	MOMENTO		
		$M_{max} = W\left(a + \frac{b}{2}\right)$	$M_x = \frac{Wx^2}{3a}$
		$R_A = W$	$R_A = W$
		$d_{max} = \frac{W}{24EI} \cdot (3a^3 + 10a^2b + 12ab^2 + 3b^3 + 2abc + 4b^2c)$	$d_c = \frac{Wa^3}{15EI}$ $d_{max} = \frac{W}{15EI} \left(1 + \frac{5b}{a}\right)$



VIGAS EMPOTRADAS EN UN EXTREMO, LIBRE EN EL OTRO

CARGA	MOMENTO	CORTE	DEFLEXION	CARGA	MOMENTO	CORTE	DEFLEXION
	$M_x = \frac{Wx}{3} \left( \frac{x}{a} - 2\frac{x}{a} + 2 \right)$ $M_A = \frac{2Wab}{3}$	$R_A = W$	$d_C = \frac{11Wb^3}{60EI}$ $d_{max} = \frac{11Wb^3}{60EI} \left( 1 + \frac{15a}{11b} \right)$		$M_{max} = W(a + \frac{2b}{3})$	$R_A = W$	$d_{max} = \frac{W(20a^3 + 50ab^2 + 40b^3 + 11b^3)}{60EI}$
	$M_x = P \cdot x$ $M_{max} = P \cdot b$	$R_A = P$	$d_C = \frac{Pb^3}{3EI}$ $d_{max} = \frac{Pb^3}{3EI} \left( 1 + \frac{3a}{2b} \right)$		$M_{max} = M_x = M_C$	<p>NO HAY CORTE</p>	$d_C = \frac{M_C^3}{2EI}$ $d_{max} = \frac{M_C^3}{2EI} \left( 1 + \frac{3a}{2b} \right)$

Para momentos negativos a las manecillas del reloj, la deflexión es hacia arriba.

VIGAS CON APOYOS SIMPLES

	VIGAS CON APOYOS SIMPLES		
CARGA			
MOMENTO	 $M_x = \frac{Wx}{2} \left(1 - \frac{x}{L}\right)$ $M_{max} = \frac{WL^2}{8}$	 $M_{max} = \frac{WL^2}{8}$	 $M_x = \frac{Wx}{3} \left(1 - \frac{x^2}{L^2}\right)$ $M_{max} = 0.120WL^2$ si $x_1 = 0.5774L$
CORTE	 $R_A = R_B = \frac{W}{2}$	 $R_A = R_B = \frac{W}{2}$	 $R_A = W/3$ $R_B = 2W/3$
DEFLECCION	 $d_{max} = \frac{5}{384} \frac{WL^2}{EI}$	 $d_{max} = \frac{Wb(3L^2 - 2b^2)}{96EI}$	 $d_{max} = \frac{0.01304WL^2}{EI}$ si $x = 0.5193L$
CARGA			
MOMENTO	 $M_{max} = \frac{W}{L} \left(\frac{x^2}{2} - cx\right)$ si $x_1 = c + \frac{a^2}{2L}$	 $M_{max} = \frac{W}{L} \left(x - \frac{x^2}{L}\right)$ si $x_1 = a + \frac{a^2}{2L}$	 $M_{max} = \frac{W}{L} \left(L - \frac{L}{3}\right)$
CORTE	 $R_A = \frac{W}{L} \left(\frac{b}{2} + c\right)$ $R_B = \frac{W}{L} \left(\frac{b}{2} + a\right)$	 $R_A = W \left(1 - \frac{x}{2L}\right)$ $R_B = \frac{Wx}{2L}$	 $R_A = R_B = W/2$
DEFLECCION	 si $a = c$ $d_{max} = \frac{W}{384EI} (cL^2 - 4Lb^2 + b^3)$	 si $x \leq 0$ $d = \frac{Wc^2}{240EI} [m^2 2n(2-n)^2 a^2 + n^2 (2-n)^2 m]$ si $x > 0$ $d = \frac{Wc^2}{240EI} [2m^2 - 6m^2 + m(4+n^2) - n^2]$ donde $m = x/L$ y $n = a/L$	 $d_{max} = \frac{W}{4800EI} (0.2470L^2 - 0.6L - 4d)$

VIGAS CON APOYOS SIMPLES

	VIGAS CON APOYOS SIMPLES		
CARGA			
MOMENTO	 $M_x = Wx \left( \frac{1}{2} - \frac{2x^2}{3L} \right)$ $M_{max.} = WL/6$	 $M_{max.} = \frac{W_0 a}{6}$	 $M_{max.} = \frac{2W_0 a}{3} \left( 1 - \frac{2m}{3} \right)^{3/2}$ si $x = a \sqrt{1 - \frac{2m}{3}}$
CORTE	 $R_A = R_B = \frac{W}{2}$	 $R_A = R_B = W/2$	 $R_A = W \left( 1 - \frac{2m}{3} \right)$ $R_B = \frac{2Wm}{3}$
DEFLEXION	 $\delta_{max.} = \frac{WL^3}{60EI}$	 $\delta_{max.} = \frac{W_0}{240EI} (16a^3 + 20ab + 5b^3)$	 —
CARGA			
MOMENTO	 $M_x = Wx \left( \frac{1}{2} - \frac{x}{L} + \frac{2x^2}{3L} \right)$ $M_{max.} = WL/2$	 $M_{max.} = \frac{W_0 a}{3}$	 $M_{max.} = \frac{W_0}{3} \left( -m + \frac{2m}{3} \sqrt{\frac{m}{3}} \right)$ si $x = a \left( 1 - \sqrt{\frac{m}{3}} \right)$
CORTE	 $R_A = R_B = \frac{W}{2}$	 $R_A = R_B = W/2$	 $R_A = W \left( 1 - \frac{m}{3} \right)$ $R_B = \frac{Wm}{3}$
DEFLEXION	 $\delta_{max.} = \frac{3WL^3}{320EI}$	 $\delta_{max.} = \frac{W_0}{120EI} (16a^3 + 20ab + 5b^3)$	 —

VIGAS CON APOYOS SIMPLES

	CARGA	MOMENTO	CORTE	DEFLEXION
		$M_{max} = \frac{PL}{4}$	$R_A = R_B = \frac{P}{2}$	$\delta_{max} = \frac{P L^3}{384 E I}$
		$M_{max} = Pa$	$R_A = R_B = P$	$\delta_{max} = \frac{PL^3}{6EI} \left[ \frac{3a}{4L} - \left(\frac{a}{L}\right)^3 \right]$
		$M_{max} = \frac{PL}{3}$	$R_A = R_B = P$	$\delta_{max} = \frac{23PL^3}{640EI}$
		$M_{max} = \frac{Pab}{L}$	$R_A = \frac{Pb}{L} \quad R_B = \frac{Pa}{L}$	<p> <math>\delta_{max}</math> siempre ocurre dentro                      0.8774 L del centro de la viga.                      Si <math>b &gt; a</math>,                 </p> $\delta_{centro} = \frac{PL^3}{40EI} \left[ \frac{1}{L} - 4 \left( \frac{a}{L} \right)^3 \right]$ <p>Este valor no tiene menos de 97.5% del valor máximo.</p>
		$M_C = \frac{Pa(b+c)}{L}$ $M_D = \frac{Pc(b+2a)}{L}$	$R_A = \frac{P(b+c)}{L}$ $R_B = \frac{P(b+2a)}{L}$	<p>Para la deflexión central, tómese los valores de las deflexiones para cada P en particular, aplicando la fórmula del diagrama izquierdo.</p>
		$M_C = M_D = \frac{3PL}{8}$ $M_D = \frac{PL}{2}$	$R_A = R_B = \frac{3P}{2}$	$\delta_{max} = \frac{10PL^3}{384EI}$

VIGAS CON APOYOS SIMPLES

**CARGA**

**MOMENTO**

$$M_C = M_E = \frac{PL}{4} \quad M_D = \frac{3PL}{12}$$

**CORTE**

$$R_A = R_B = \frac{3P}{2}$$

**DEFLECCION**

$$\delta_{max} = \frac{3PL^2}{1296EI}$$

**CARGA**

**MOMENTO**

$$M_C = M_E = \frac{2PL}{5} \quad M_D = M_F = \frac{3PL}{5}$$

**CORTE**

$$R_A = R_B = 2P$$

**DEFLECCION**

$$\delta_{max} = \frac{63PL^2}{10000EI}$$

**CARGA**

**MOMENTO**

Si  $n$  es impar  $M_{max} = \frac{(n-1)PL}{8n}$

Si  $n$  es par  $M_{max} = n \cdot PL/8$

**CORTE**

$$R_A = R_B = (n-1)P/2$$

**DEFLECCION**

Si  $n$  es impar  $\delta_{max} = \frac{PL^2}{192EI} \left[ n - \frac{1}{n} \right] \left[ 3 - \frac{1}{2} \left( 1 - \frac{1}{n^2} \right) \right]$

Si  $n$  es par  $\delta_{max} = \frac{PL^2}{192EI} \cdot n \left[ 3 - \frac{1}{2} \left( 1 + \frac{4}{n^2} \right) \right]$

**CARGA**

**MOMENTO**

$$M_C = M_E = \frac{PL}{4} \quad M_D = M_F = \frac{PL}{2}$$

**CORTE**

$$R_A = R_B = 2P$$

**DEFLECCION**

$$\delta_{max} = \frac{41PL^2}{788EI}$$

**CARGA TOTAL = W**

**MOMENTO**

La reacción en los apoyos =  $W/2$  y la fuerza de corte máxima ocurre en los extremos de la viga =  $\frac{W(L-1)}{2n} = AW$

El valor del momento de flexión máxima =  $CWL$

El valor de la deflexión en el centro del claro =  $K \frac{WL^3}{EI}$

Valor de n	A	C	K
2	0.2500	0.1250	0.0105
3	0.3333	0.1111	0.0118
4	0.3750	0.1250	0.0124
5	0.4000	0.1200	0.0126
6	0.4167	0.1200	0.0127
7	0.4286	0.1224	0.0128
8	0.4375	0.1250	0.0128
9	0.4444	0.1236	0.0129
10	0.4500	0.1250	0.0129

VIGAS CON APOYOS SIMPLES

CARGA  
MOMENTO  
CORTE  
DEFLEXION  
CARGA  
MOMENTO  
CORTE  
DEFLEXION

$M_{CA} = M \cdot a/L$     $M_{CB} = M \cdot b/L$

$R_A = R_B = M/L$

Cuando  $a > b$ .

$\delta_C = \frac{M \cdot a \cdot b}{3EI} \left( \frac{2}{L} - \frac{1}{L} \right)$

En momentos como los mostrados del rot, las deflexiones son positivas.

$2 M_A = M_B$   
 $2 M_A > M_B$   
 $3 M_A > -M_B$

( $M_B$  sentido contrario)  
 Diagrama de corte si  $M_A \neq M_B$

$R_A = R_B = \frac{M_A - M_B}{L}$

$M_A = M_B$   
 $\delta_{max} = -\frac{M L^2}{8EI}$

Parábola de 2º grado

$M_x = \frac{Wx}{2} (m^2 - 2mx + m)$   
 $M_{max} = \frac{8Wx^2}{3L}$

$R_A = R_B = W/2$

$\delta_{max} = \frac{6 \cdot W L^3}{384EI}$

Completamento de parábola

Carga total = W

$M_x = \frac{Wx}{2} (m - 3m^2 + 4m^3 - 2m^4)$   
 $M_{max} = \frac{Wx}{18}$

$R_A = R_B = W/2$

$\delta_{max} = \frac{2 \cdot 8W L^3}{384EI}$

VIGAS CON APOYOS SIMPLES

	CARGA	MOMENTO
CARGA		
MOMENTO	$M_A = M_B = -\frac{NL^2}{2}$ $M_D = \frac{NL^2}{8} + N_A$	$M_A = M_B = -\frac{wN^2}{2}$
CORTE	$R_A = R_B = w\left(\frac{L}{2}\right)$	$R_A = R_B = wN$
DEFLEXION	$e_C = e_E = -\frac{wL^2 N}{24EI} (1 - 6n^2 + 3n^4)$ $e_D = -\frac{wL^2}{384EI} (5 - 24n^2)$ <p style="text-align: center;">Donde <math>n = N/L</math></p>	$e_C = e_E = -\frac{wLN^2}{8EI} \left(2 + \frac{L}{N}\right)$ $e_D = -\frac{wL^2 N^2}{HEI}$
CARGA		
MOMENTO	$M_A = -\frac{wN^2}{2}$	<p style="text-align: center;">La deflexión máxima ocurre en el punto D</p> $M_A = -\frac{wN^2}{2}$
CORTE	$R_A = \frac{w(N+L)^2}{2L}$ $R_B = \frac{w(L+N)(L-N)}{2L}$ <p style="text-align: center;"><math>n = x/L</math> <math>n = N/L</math></p>	$R_A = \frac{wN(2L+N)}{2L}$ $R_B = \frac{wN^2}{2L}$
DEFLEXION	$e_C = -\frac{wL^2 N}{24EI} (3n^2 + 4n - 1)$ $e_x = -\frac{wL^2}{24EI} [n^2 - 2n^3(1-n) + n(1-2n^2)]$ $e_D = -\frac{wL^2}{24EI} (2n^2 - 1)$	$e_C = -\frac{wLN^2}{24EI} (4 + 3N)$ $e_D = -\frac{0.012wL^2 N^2}{EI}$ $e_E = -\frac{wLN^2}{12EI}$

VIGAS EMPOTRADAS EN AMBOS EXTREMOS

	CARGA	MOMENTO	CORTE	DEFLECCION
		$M_A = M_B = -\frac{WL^2}{12}$ $M_C = \frac{WL^2}{24}$	$R_A = R_B = W/2$	$\delta_{max} = \frac{WL^3}{384EI}$
		$M_A = M_B = -\frac{W\delta}{12L}(3L-2\delta)$	$R_A = R_B = W/2$	$\delta_{max} = \frac{W\delta^2}{48ET}(L-\delta)$
		$M_x = -\frac{WL}{30}\left(\frac{10x^3}{L^3} - \frac{9x}{L} + 2\right)$ $+M_{max} = WL/23.3 \text{ si } x = 0.55L$ $M_A = -WL/15 \quad M_B = -WL/10$	$R_A = 0.3W \quad R_B = 0.7W$	$\delta_{max} = \frac{WL^3}{382ET}$ <p>si <math>x_1 = 0.525L</math></p>
		$M_A = -\frac{W}{12L^2}\delta [c^2(4L-3c) - c^3(4L-3c)]$ $M_B = -\frac{W}{12L^2}\delta [c^2(4L-3c) - a^3(4L-3a)]$	$R_A = \frac{W}{L} \frac{M_A - M_B}{L} \quad R_B = \frac{W}{L} \frac{M_B - M_A}{L}$	<p>si <math>a=c</math>, <math>\delta_{max} = \frac{W}{384ET}(L^2 + 2La^2 + 4La^3 - 8a^4)</math></p>
		$M_A = -\frac{WL}{12}m(3m^2 - 8m + 6)$ $M_B = -\frac{WL}{12}m^2(4 - 3m) + M_{max}$ $M_{max} = \frac{WL}{12}m^2\left(-\frac{3}{2}m^2 + 6m - 6\right) + \frac{W}{2}(m^2 - 2m + 2)$	$R_A = \frac{W(m^2 - 2m + 2)}{2} \quad R_B = \frac{W(m^2(2-m))}{2m}$	<p>si <math>a = L/2</math>, <math>x_1 = 0.445L</math></p> $\delta_{max} = \frac{W}{384ET}$ $\delta_c = \frac{WL^3}{384ET}$
		$M_A = M_B = -\frac{W}{48L}(3L^2 + 9aL - 4a^2)$	$R_A = R_B = W/2$	$\delta_{max} = \frac{W}{1920ET}(7L^2 + 8aL + 4a^2L - 16a^3)$



VIGAS EMPOTRADAS EN AMOSÉ EXTREMOS

	CARGA	MOMENTO	CORTE	DEFLEXION
		$M_A = M_B = -\frac{3WL}{48}$ $M_C = WL/16$	$R_A = R_B = W/2$	$d_{max.} = \frac{1.4WL^3}{384EI}$
		$M_A = M_B = -\frac{W^2}{12L}(2l-a)$	$R_A = R_B = W/2$	$d_{max.} = \frac{Wl^2}{480EI}(5L-4a)$
		$M_A = -\frac{W^2}{30L^2}(3a^2+10DL)$ $M_B = -\frac{W^2}{30L^2}(5L-3a)$ <p>En AC: <math>M_x = R_B \cdot x + M_B - \frac{2W(x-b)^2}{60b}</math>                  En CB: <math>M_x = R_B \cdot x + M_B</math></p>	$R_A = \frac{W}{10L}(10L^2-5La+2a^2)$ $R_B = \frac{W^2}{10L^2}(5L-2a)$	
		$M_A = M_B = -\frac{Wl}{16}$ $M_C = Wl/10$	$R_A = R_B = W/2$	$d_{max.} = \frac{0.81W^2}{384EI}$
		$M_A = M_B = -\frac{W^2}{12L}(4L-3a)$	$R_A = R_B = W/2$	$d_{max.} = \frac{Wl^2}{480EI}(15L-15a)$
		$M_A = -\frac{W^2}{15L}(10L^2-15La+6a^2)$ $M_B = -\frac{W^2}{10L^2}(5L-4a)$	$R_A = \frac{W}{10L}(10L^2-15La+6a^2)$ $R_B = \frac{W^2}{10L^2}(15L-8a)$	

VIGAS EMPOTRADAS EN AMBOS EXTREMOS

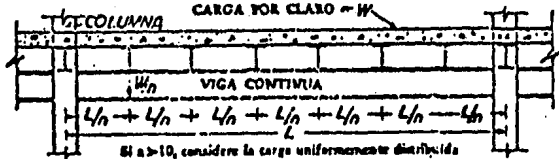
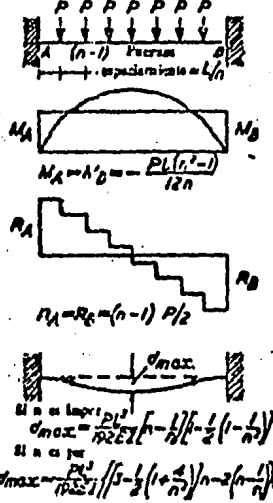
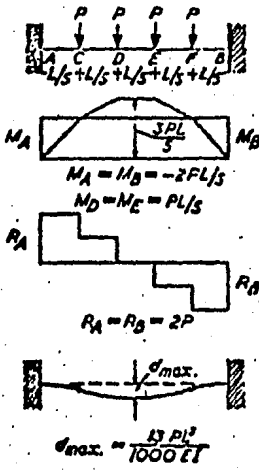
	CARGA	MOMENTO	CORTE	DEFLEXION
		$-M_A = -M_B = M_C = PL/8$	$R_A = R_B = P/2$	$d_{max.} = \frac{PL^3}{192EI}$
		$M_A = -\frac{Pab^2}{L^2}$ $M_B = -\frac{Pa^2b}{L^2}$ $M_C = \frac{2Pa^2b^2}{L^2}$	$R_A = P \left( \frac{b}{L} \right) \left( 1 + 2 \frac{a}{L} \right)$ $R_B = P \left( \frac{a}{L} \right) \left( 1 + 2 \frac{b}{L} \right)$	$d_C = \frac{Pa^2b^3}{3ETL^2}$ $d_{max.} = \frac{2Pa^2b^3}{3ET(3L-2a)^2} \quad \text{cu} \quad x = \frac{L^2}{3L-2a}$
		$M_A = M_B = -2PL/9$ $M_C = M_D = PL/9$	$R_A = R_B = P$	$d_{max.} = \frac{3PL^3}{648ET}$
		$M_A = M_B = -\frac{Pa(L-a)}{L}$ $M_C = M_D = Pa/2$	$R_A = R_B = P$	$d_{max.} = \frac{PL^3}{6ET} \left( \frac{5a^2}{4L} \left( \frac{a}{L} \right) \right)$
		$M_A = M_B = -3PL/16$ $M_C = M_D = PL/16$	$R_A = R_B = P$	$d_{max.} = \frac{PL^3}{192ET}$
		$M_A = M_B = -3PL/16$ $M_D = 3PL/16$	$R_A = R_B = 3P/2$	$d_{max.} = \frac{PL^3}{96ET}$

VIGAS EMPOTRADAS EN AMBOS EXTREMOS

	CARGA	MOMENTO	CORTE	DEFLEXION
CAIDA		$M_A = M_B = -\frac{19PL}{72}$ $M_D = \frac{11PL}{72}$	$R_A = R_B = \frac{3P}{2}$	$\delta_{max} = \frac{41PL^3}{384EI}$
		$M_A = M_B = -\frac{WL^2}{10}$	$R_A = R_B = \frac{W}{2}$	$\delta_{max} = \frac{1.3 WL^3}{384EI}$
		$M_A = M_B = -\frac{WL^2}{20}$	$R_A = R_B = \frac{W}{2}$	$\delta_{max} = \frac{0.4 WL^3}{384EI}$
CAIDA		$M_A = M_B = -\frac{11PL}{32}$ $M_D = M_E = \frac{5PL}{32}$	$R_A = R_B = 2P$	$\delta_{max} = \frac{PL^3}{96EI}$
		$M_A = M_B = -\frac{A_0 L}{2}$ <p>Donde <math>A_0</math> es el área del diagrama de momentos <math>W</math></p>	$R_A = R_B = \frac{W}{2}$	$\delta_{max} \text{ en } C = \frac{A_0 x - A_1 x^2}{2EI}$ <p>Donde <math>A_1</math> es el área del diagrama de momentos</p>
		$M_{AC} = M_C = \frac{W}{2} \left( \frac{3a-L}{2} \right) / 2 = -\frac{M_C}{2} \left( \frac{3b-L}{2} \right)$ $\text{si } 9L = 4M_{AC} = -M_C(1-m)^2 - 3m^2 a^2$	$R_A = R_B = \text{Desarrollo del Diag. de momento}$ $= \frac{M_{AC} + M_{CA}}{2} = \frac{M_{CB} + M_{BC}}{2}$	$\delta = \frac{M_C \cdot L^3 \cdot m^2 (1-m)^2 (1-2m)}{2EI}$ <p>En momentos contra las manecillas del reloj. (Inclinaciones son positivas)</p>

VIGAS EMPOTRADAS EN AMBOS EXTREMOS

CARGA  
MOMENTO  
CORTE  
DEFLECCION



Si  $n > 10$ , considere la carga uniformemente distribuida.  
 La carga en los ejes centrales, está soportada directamente por los apoyos.  
 Las vigas continuas se apoyan horizontalmente en cada apoyo.  
 La reacción en los apoyos para todo el claro =  $W/2$  pero la máxima fuerza de corte en cualquier claro de vigas continuas =  $\frac{W(n-1)}{2n} = AW$   
 El valor del momento de flexión en cada apoyo =  $BWL$   
 El valor del momento máximo positivo para todos los claros =  $CWL$   
 El valor de la deflexión máxima para todos los claros =  $0.0016 \frac{W^3 L^3}{EI}$

Valor de n	A	B	C
2	0.2500	0.0675	0.0625
3	0.3333	0.0741	0.0370
4	0.3750	0.0781	0.0469
5	0.4000	0.0800	0.0490
6	0.4167	0.0811	0.0499
7	0.4286	0.0816	0.0508
8	0.4375	0.0820	0.0510
9	0.4444	0.0823	0.0513
10	0.4500	0.0825	0.0515

VIGAS EMPOTRADAS EN UN EXTREMO Y APOYO SIMPLE EN EL OTRO

	CARGA	MOMENTO	CORTE	DEFLEXION
		$M_A = -\frac{WL}{8}$ $M_C = -\frac{9WL}{128}$	$R_A = \frac{3W}{8}$ $R_B = \frac{3W}{8}$	$d = \frac{WL^3}{48EI} (m - 3m^2 + 2m^3)$ $d_{max} = \frac{WL^3}{135EI}$
		$M_A = -\frac{Wb}{8}(2-n)^2$ <p>donde <math>a/L = n</math></p> $+M_{max} = \frac{Wb}{8} L \left[ \frac{(c-n)^2(4-n)}{16} + 4-n(4-n) \right]$	$R_A = \frac{W}{8} (6-n^2(4-n))$ $R_B = \frac{Wb}{8} (4-n)$	$d_C = \frac{Wb^3}{48EI} (6 - 12n + 7n^2 - n^3)$
		<p>Si <math>m = a/L</math>, <math>\therefore</math> Entre B y D</p> $M_x = \frac{W}{8a} L \left[ -2x^2 + xa(4-3m+2m^2) \right]$ $+M_{max} \text{ para } x = \frac{a}{2} (4-3m+2m^2)$ $M_A = -\frac{W}{8L} (3L-2a)$	$R_A = \frac{W}{8L} (2L^2 + 3aL - 4a^2)$ $R_B = \frac{W}{8L} (2L^2 - 3aL + 4a^2)$	
		$M_A = -\frac{Wb}{8}(2-n^2)$ $M_C = \frac{Wb}{8}(6n-n^2-4)$	$R_A = \frac{W}{8}(6-n^2)$ $R_B = \frac{W}{8}(n^2-6n+8)$	$d = \frac{WL^3}{48EI} \left[ \frac{1}{2} (n^2-6)n^2 + (3n^2-6n+8)m^2 \right]$ <p>para <math>x &lt; a</math>, <math>d = \frac{WL^3}{48EI} \left[ \frac{1}{2} (n^2-6)n^2 + (3n^2-6n+8)m^2 \right]</math></p> <p>para <math>x &gt; a</math>, <math>d = \frac{WL^3}{48EI} \left[ \frac{1}{2} (n^2-6)n^2 + (3n^2-6n+8)m^2 \right]</math></p>
		$M_A = -\frac{W}{8L^2} (a^2 - c^2) (2L^2 - cL - a^2)$	$R_A = r_A + \frac{MA}{L}$ $R_B = r_B - \frac{MA}{L}$ <p>Cuando <math>r_A</math> y <math>r_B</math> son las reacciones de una viga simplemente apoyada (<math>M_A</math> será considerado positivo)</p>	$d_{max} = \frac{0.0047WL^3}{EI}$ <p>Cuando <math>x = 0.447L</math></p>

VIGAS EMPOTRADAS EN UN EXTREMO Y APOYO SIMPLE EN EL OTRO

	CARGA	MOMENTO	CORTE	DEFLEXION
		$M_x = -\frac{W}{60}(20m^2 - 27m + 7)$ $M_A = -\frac{7W}{60} + M_{max} = 0.0046WL$ <p>[ Para <math>x = 0.67L</math> ]</p>	$V_x = \frac{W}{20}(9 - 20m^2)$ $R_A = \frac{2W}{20} \quad R_B = \frac{11W}{20}$	$d_{max} = \frac{0.0061WL^3}{EI}$ <p>Cuando <math>x = 0.598L</math></p>
		<p>Entre C y A</p> $M_x = R_B x - \frac{W}{30}(x-b)^2$ $M_A = -\frac{1}{60}(3a^2 - 15al + 20l^2)$ <p>+ M<sub>max</sub> en <math>x = b + \frac{a}{2} \sqrt{1 - \frac{3l}{2a}}</math></p>	$R_B = \frac{W}{20L}(3L - a)$ $R_A = W - R_B$	$R_A = \frac{WB}{3L}(3L^2 - b^2)$ $R_B = \frac{W}{3L}(b^2 + 3al^2)$
		$M_A = -\frac{3W}{32}$ $+ M_{max} = 0.0454WL$ <p>[ Para <math>x = 0.283L</math> ]</p>	$R_A = \frac{17W}{32} \quad R_B = \frac{15W}{32}$	$d_{max} = \frac{0.0017WL^3}{EI}$ <p>Cuando <math>x = 0.404L</math></p>
		<p>Entre A y C</p> $M_x = R_B x + M_A - \frac{W}{3}(x-a)^2$ $M_C = R_B a + M_A - \frac{W}{3}a^2$ <p>Entre C y B</p> $M_x = R_B(x-a) - \frac{W}{3}(x-a)^2$	$R_B = \frac{14a^2}{20L}(15L - 4a)$ $R_A = W - R_B$	$R_B = \frac{W}{20b^2}L^2(11L - 15c) + a^2(3L - a)$ $R_A = W - R_B$

VIGAS EMPOTRADAS EN UN EXTREMO Y APOYO SIMPLE EN EL OTRO

CARGA	MOMENTO	CORTE	DEFLEXION
<p><math>W = w(L+a)</math></p> <p><math>M_B = -\frac{w^2}{2} \left[ \frac{L^3}{3} - \frac{L^2 a}{2} + \frac{L a^2}{2} - \frac{a^3}{3} \right]</math></p> <p><math>M_A = -\frac{w}{6} (L^2 - 2a^2)</math></p> <p><math>+M_{max} = \frac{w}{12} (3a^2 - 2aL + L^2)</math></p> <p>where <math>x/L = \frac{5}{8} - \frac{3a}{L}</math></p> <p><math>R_A = wL \left( \frac{2}{3} - \frac{3a}{L} \right)</math></p> <p><math>R_B = wL \left( \frac{3a}{L} + \frac{1}{3} \right)</math></p> <p><math>\delta_D = \frac{wL^4}{48EI} \left[ \frac{5}{8} (4a^2 + 6aL + L^2) - 3a \right]</math></p> <p><math>\delta_x = \frac{wL^4}{48EI} \left[ \frac{5}{8} n^4 (4a^2 + 6aL + L^2) - 3n^3 \right]</math></p> <p><math>\delta_{max} = \frac{wL^4}{48EI} \left[ \frac{5}{8} (4a^2 + 6aL + L^2) - 3a \right]</math></p>	<p><math>M_B = -2M_A = -\frac{Pb^2}{2}</math></p> <p><math>R_A = -\frac{3Pb}{2}</math></p> <p><math>R_B = P \left( 1 + \frac{3b}{L} \right)</math></p> <p><math>\delta_D = \frac{PL^3}{24EI} \left[ \frac{5}{8} (a^2 + 6aL + L^2) + 3a \right]</math></p> <p><math>\delta_{max} = \frac{PL^3}{24EI}</math></p>	<p><math>M_B = -2M_A = -\frac{Wb^2}{2}</math></p> <p><math>R_A = -\frac{3Wb}{2}</math></p> <p><math>R_B = W \left( 1 + \frac{3b}{L} \right)</math></p> <p><math>\delta_D = \frac{WL^3}{48EI} \left[ \frac{5}{8} (a^2 + 6aL + L^2) + 6a \right]</math></p> <p><math>\delta_{max} = -\frac{WL^3}{32EI}</math></p>	
<p><math>M_B = -2M_A = -\frac{Wb^2}{2}</math></p> <p><math>R_A = -\frac{3Wb}{2}</math></p> <p><math>R_B = W \left( 1 + \frac{3b}{L} \right)</math></p> <p><math>\delta_D = \frac{WL^3}{48EI} \left[ \frac{5}{8} (a^2 + 6aL + L^2) + 6a \right]</math></p> <p><math>\delta_{max} = -\frac{WL^3}{32EI}</math></p>	<p><math>M_B = -2M_A = -\frac{Wb^2}{2}</math></p> <p><math>R_A = -\frac{3Wb}{2}</math></p> <p><math>R_B = W \left( 1 + \frac{3b}{L} \right)</math></p> <p><math>\delta_D = \frac{WL^3}{48EI} \left[ \frac{5}{8} (a^2 + 6aL + L^2) + 6a \right]</math></p> <p><math>\delta_{max} = -\frac{WL^3}{32EI}</math></p>	<p><math>M_B = -2M_A = -\frac{Wb^2}{2}</math></p> <p><math>R_A = -\frac{3Wb}{2}</math></p> <p><math>R_B = W \left( 1 + \frac{3b}{L} \right)</math></p> <p><math>\delta_D = \frac{WL^3}{48EI} \left[ \frac{5}{8} (a^2 + 6aL + L^2) + 6a \right]</math></p> <p><math>\delta_{max} = -\frac{WL^3}{32EI}</math></p>	
<p><math>M_B = -2M_A = -Pb</math></p> <p><math>R_A = -\frac{3Pb}{2}</math></p> <p><math>R_B = P \left( 1 + \frac{3b}{L} \right)</math></p> <p><math>\delta_D = \frac{PL^3}{24EI} (a^2 + 6aL + 3a + 3L)</math></p> <p><math>\delta_{max} = \frac{PL^3}{24EI}</math></p>	<p><math>M_B = -2M_A = -M</math></p> <p><math>R_A = -R_B = -\frac{3M}{2L}</math></p> <p><math>\delta_D = \frac{ML^3}{24EI} \left[ L(a+b) + a \left( 2 + \frac{4b}{L} \right) \right]</math></p> <p><math>\delta_{max} = -\frac{ML^3}{24EI}</math></p>	<p><math>M_B = -2M_A = -\frac{WL^2}{32}</math></p> <p><math>+M_{max} = 0.0248 \cdot WL</math></p> <p><math>R_A = -\frac{21W}{32}</math>    <math>R_B = \frac{11W}{32}</math></p> <p><math>\delta_{max} = 0.00727 \frac{WL^3}{EI}</math></p>	

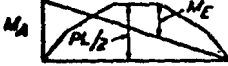
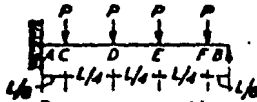
VIGAS EMPOTRADAS EN UN EXTREMO Y APOYO SIMPLE EN EL OTRO

	CAJGA	MOMENTO	CORTE	DEFLEXION
	<p><math>n = q/L \quad q = 2/a</math></p>	<p><math>M_A = -\frac{W_0}{6L}(4L-3a)</math></p> <p>para <math>x &lt; a</math>  <math>M_x = \frac{q}{2L}(9n^2x^2 - 12nx + 12x^2 - 4xq')</math>  <math>+ M_{max}</math> ocurre en <math>q = \sqrt{\frac{3n^2}{2}} - n + 1</math></p>	<p><math>R_A = \frac{W}{8L}(4L^2 + 4aL - 3a^2)</math>  <math>R_B = W - R_A</math></p>	<p><math>R_A = \frac{W}{8L}(4L^2 + 4aL - 3a^2)</math>  <math>R_B = W - R_A</math></p>
		<p><math>M_A = -\frac{PL}{3}</math>  <math>M_C = \frac{PL}{9} \quad M_D = \frac{2PL}{9}</math></p>	<p><math>R_A = -\frac{4P}{3} \quad R_B = \frac{2P}{3}</math></p> <p><math>\delta_{max} = 0.0152 \frac{PL^3}{EI}</math></p>	<p><math>\delta_{max} = 0.0152 \frac{PL^3}{EI}</math></p>
		<p><math>M_A = -\frac{15PL}{32}</math>  <math>M_D = \frac{17PL}{64} \quad M_E = \frac{33PL}{128}</math></p>	<p><math>R_A = -\frac{83P}{32} \quad R_B = \frac{33P}{32}</math></p> <p><math>\delta_{max} = 0.0209 \frac{PL^3}{EI}</math></p>	<p><math>\delta_{max} = 0.0209 \frac{PL^3}{EI}</math></p>
		<p><math>M_A = -\frac{W}{32L}(5L^2 + 4aL - 4a^2)</math></p>	<p><math>R_A = -\frac{W}{32L}(21L^2 + 4aL - 4a^2)</math>  <math>R_B = W - R_A</math></p>	<p><math>R_A = -\frac{W}{32L}(21L^2 + 4aL - 4a^2)</math>  <math>R_B = W - R_A</math></p>
		<p><math>M_A = -\frac{19PL}{48}</math>  <math>M_D = \frac{21PL}{96} \quad M_E = \frac{53PL}{288}</math></p>	<p><math>R_A = -\frac{81P}{48} \quad R_B = \frac{53P}{48}</math></p> <p><math>\delta_{max} = 0.0169 \frac{PL^3}{EI}</math></p>	<p><math>\delta_{max} = 0.0169 \frac{PL^3}{EI}</math></p>
		<p><math>M_A = -\frac{10PL}{5}</math>  <math>M_C = -\frac{9PL}{25}</math></p>	<p><math>R_A = -\frac{11P}{5} \quad R_B = \frac{7P}{5}</math></p> <p><math>\delta_{max} = 0.0265 \frac{PL^3}{EI}</math></p>	<p><math>\delta_{max} = 0.0265 \frac{PL^3}{EI}</math></p>



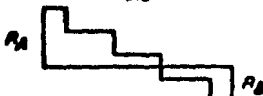
VIGA EMPOTRADA EN UN EXTREMO Y APOYO SIMPLE EN EL OTRO

CARGA

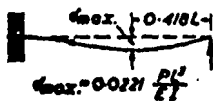


$$M_A = -\frac{3PL}{64}$$

$$M_E = \frac{31PL}{512}$$



$$R_A = \frac{31P}{64} \quad R_B = \frac{25P}{64}$$



MOMENTO

CORTE

DEFLEXION



$$M_A = -\frac{PL(n-1)}{6n}$$



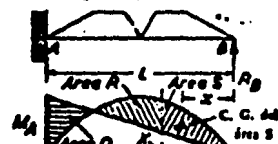
$$R_A = \frac{P}{6n}(3n^2 - 4n + 1)$$

$$R_B = \frac{P}{6n}(3n^2 - 4n + 1)$$

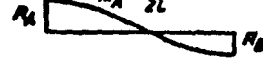
Cuando n es grande  $\delta_{max} = \frac{PL^2}{163ET}$

CARGA

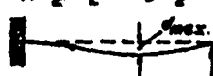
Para cualquier carga W simétrica



$M_A = \frac{W}{2L} \left( \frac{3A_1}{2} + \frac{3A_2}{2} \right)$



$$R_A = \frac{W}{2} + \frac{M_A}{L} \quad R_B = \frac{W}{2} - \frac{M_A}{L}$$

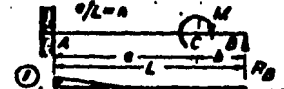


$\delta_{max}$  ocurre en el punto correspondiente a X sobre el diagrama de momentos flexionantes al área B será igual al área Q  
 $\delta_{max} = \frac{W}{2L} \frac{A_1 X}{EI}$

MOMENTO

CORTE

DEFLEXION



①  $a=L$   $M_A = -M/2$   $M_{CB} = 0$

②  $a > 0.423L$   $M_{CA} = 0$

③  $a < 0.423L$   $M_{CB} = 0$

④  $a < 0.423L$   $M_{CA} = 0$

⑤  $a < 0.423L$   $M_{CB} = 0$

$$M_A = \frac{M}{2}(2 - 6a + 3a^2)$$

$$M_{CA} = \frac{M}{2}(2 - 6a + 9a^2 - 3a^3)$$

$$M_{CB} = \frac{3M}{2}(2 - 3a + a^2)$$

$$R_A = \frac{M}{L}$$

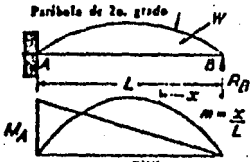
$$-R_A = R_B = \frac{M + M_A}{L}$$

En el caso 1  $R = 3M/2L$

En el caso 3  $R = M/L$

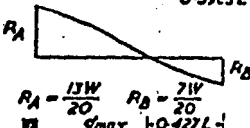
VIGA EMPOTRADA EN UN EXTREMO Y APOYO SIMPLE EN EL OTRO

CARGA



$M_A = -\frac{3WL}{20}$   
 $M_x = \frac{Wx}{20} (10m^2 - 20m^2 + 7m)$   
 $+M_{max} = 0.0888WL$ , para  $x = 0.3925L$

MOMENTO

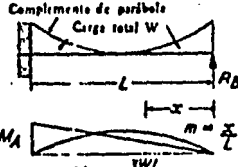


$R_A = \frac{13W}{20}$     $R_B = \frac{7W}{20}$   
 $x_{max} = 0.427L$

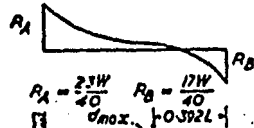
CORTE

DEFLEXION

$d_{max} = 0.00674 \frac{WL^3}{EI}$



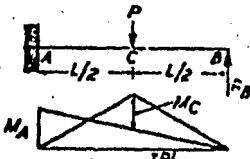
$M_A = -\frac{3WL}{40}$   
 $M_x = \frac{Wx}{40} (-40m^2 + 80m^2 - 60m^2 + 17m)$   
 $+M_{max} = 0.0399WL$ , para  $x = 0.2343L$



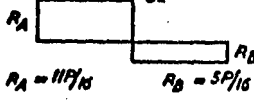
$R_A = \frac{23W}{40}$     $R_B = \frac{17W}{40}$   
 $x_{max} = 0.392L$

$d_{max} = 0.00278 \frac{WL^3}{EI}$

CARGA



$M_A = -\frac{3PL}{16}$   
 $M_C = \frac{3P^2}{32}$



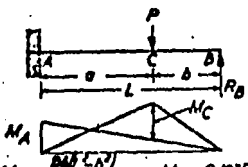
$R_A = 11P/16$     $R_B = 5P/16$

MOMENTO

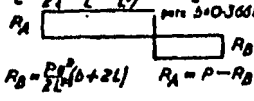
CORTE

DEFLEXION

$d_{max} = 0.447L$   
 $d_C = \frac{7PL^3}{160EI}$   
 $d_{max} = 0.00912 \frac{PL^3}{EI}$



$M_A = -\frac{PbL^2}{2L}$     $max. M_A = -0.193PL$  para  $b = 0.577L$   
 $M_C = \frac{Pb^2}{2} (\frac{2b}{L} + \frac{1}{2})$     $max. M_C = 0.174PL$  para  $b = 0.365L$



$R_B = \frac{P}{L}(b+2L)$     $R_A = P - R_B$

$d_C = \frac{Pa^2b^2}{12EI}(4L-a)$

**B I B L I O G R A F I A:**

**DAMY RIOS JULIO. Ing.**

Apuntes de Aplicación de las Computadoras al Análisis Estructural.

**BEAUFAIT, FRED W.**

Análisis Estructural  
Ed. Prentice Hall Internacional.

**FADDEEVA, V.N.**

Computational Methods of Linear Algebra.  
Dover Publications, Inc.

**SOCIEDAD MEXICANA DE INGENIERIA ESTRUCTURAL A.C.**

Ayudas de Diseño 1983.

**CHUKIA, WANG.**

Introducción al Análisis Estructural con Métodos Matriciales.